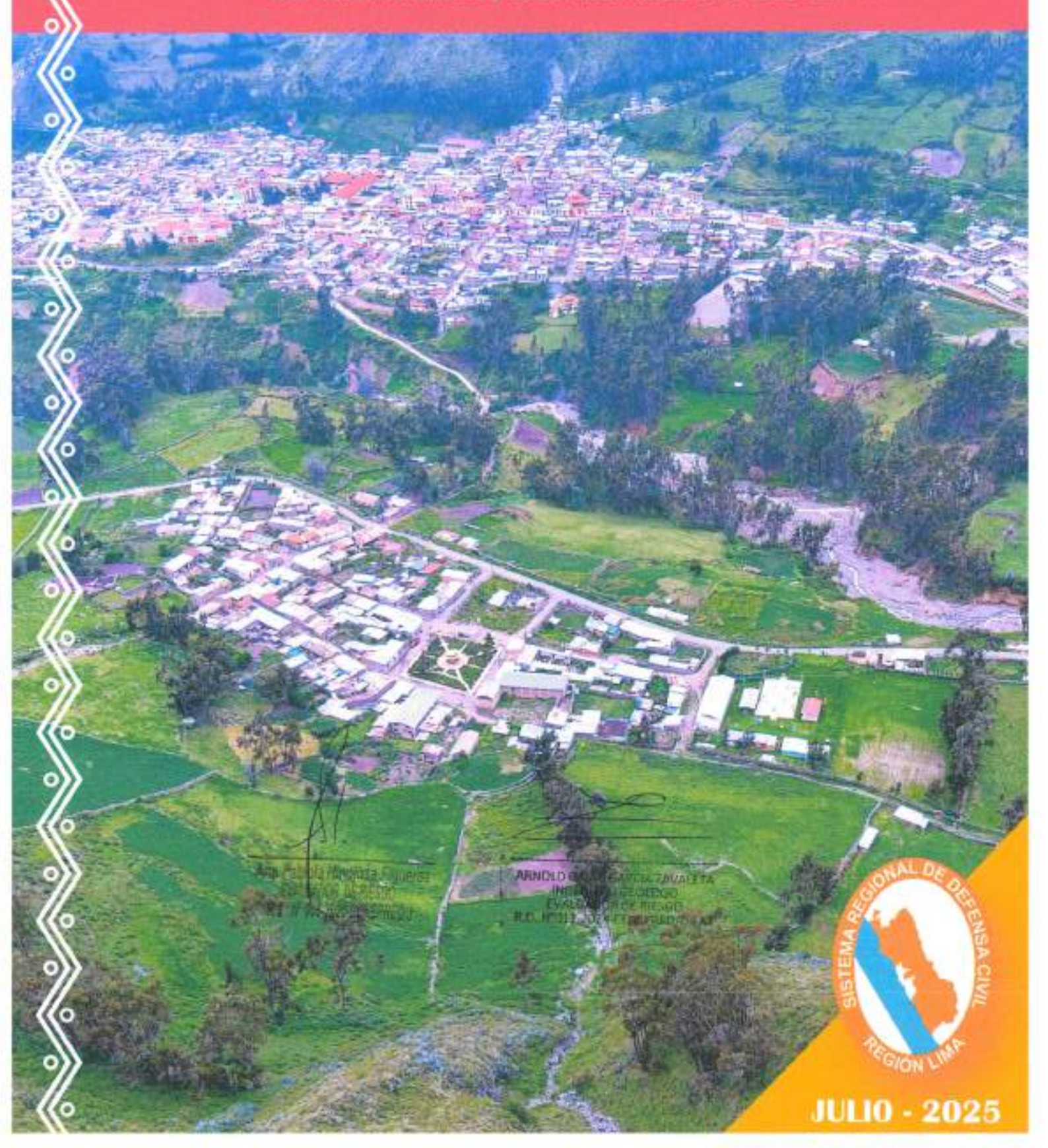


INFORME DE EVALUACIÓN DE RIESGO POR MOVIMIENTOS DE MASA DEL TIPO REPTACIÓN DE SUELOS EN EL CENTRO POBLADO ASTOBAMBA, DISTRITO DE CAJATAMBO, PROVINCIA DE CAJATAMBO, DEPARTAMENTO DE LIMA.





GOBIERNO REGIONAL DE LIMA

DRA. ROSA GLORIA VÁSQUEZ CUADRADO

Gobernadora Regional de Lima

ING. JANSSEN ESTEWAR GUERRERO PERALTA

Jefe de la Oficina Regional de Defensa Civil y Defensa Nacional (e)

ELABORACIÓN DE INFORME TÉCNICO

EQUIPO TÉCNICO:

Arq. Fabiola Hinojosa Figueroa – CAP 15615 Evaluadora de Riesgo con R.J. N° 008-2020 CENEPRED-J

Ing. Geol. Arnold David García Zavaleta – CIP 221412 Evaluador de Riesgo con R.D. N° 011-2024-CENEPRED/DIFAT

Ing. Civil, Carlos Alfredo Principe Camarena - CIP 219555

Bach, de Ingeniería Geográfica, Antonio Jesús Limas Cerna

PARTICIPACIÓN:

Municipalidad Provincial de Cajatambo

Centro Poblado Astobamba

Arg. Fabiola Hinojosa Figueroa ENALUADOR DE RESGO R.J. Nº 008-2020-CENEPRED/J

ARNOLD DAVID GARCIA ZAVALETA INGENIERO GEOLOGO EVALUADOR DE MESGO R.D. N°011-2074-CENEPRED/OFAT



INDICE

PRESE	NTA	CION	6
INTRO	ouco	ión	7
CAPITL	JLO I	- ASPECTOS GENERALES	8
1.1.	OB	JETIVO GENERAL	8
1.2.	OB	JETIVOS ESPECÍFICOS	8
1.3.	FIN	VALIDAD	8
1.4.	JU	STIFICACIÓN	8
1.5.	AN	TECEDENTES	9
1.6.	MA	RCO NORMATIVO	10
CAPITU	JLO I	I - CARACTERÍSTICAS GENERALES	11
2.1.	Ub	icación geográfica	
2.2.	Ва	se topográfica	11
2.3.	Via	as de acceso	14
2.4.	CA	RACTERISTICAS SOCIOECONÓMICAS	16
2.4	1.1.	Total de personas por vivienda	
2.4	1.2.	Grupo etario	18
2.4	1.3.	Nivel educativo	19
2.4	.4.	Tipo de seguro	20
2.4	1.5,	Discapacidad	
2.4	.6.	Ingreso familiar promedio mensual	22
2.4	1,7,	Capacitación en temas de riesgo de desastres	23
2.4	1.8.	Charlas de capacitación en temática ambiental	24
2.4	1.9.	Manejo de desperdicios	25
2.4	1.10.	Disposición final de los residuos sólidos	28
2.4	1.11.	Acceso a servicios públicos	27
2.4	1.12.	Régimen de tenencia	28
2.4	1.13.	Cimentación	29
2.4	1.14.	Material de construcción	
2.4	1.15.	Número de pisos	32
2.4	1.16.	Estado de conservación	



2.4	.17.	Propiedad expuesta	35
2.5.		RACTERISTICAS FÍSICAS	
2.5	.1.	GEOLOGÍA	37
2.5	.2.	GEOMORFOLOGÍA	41
2.5	.3.	PENDIENTE	44
2.5	4.	USO DE SUELO	46
2.5	.5.	CONDICIONES CLIMATOLÓGICAS	48
CAPITU	LOI	II - DETERMINACIÓN DEL PELIGRO	56
3.1.	ME	TODOLOGÍA	56
3.2.	RE	COPILACIÓN Y ANÁLISIS DE INFORMACIÓN	58
3.3.		ENTIFICACIÓN DEL PELIGRO	
3.4.	CA	RACTERIZACIÓN DEL PELIGRO	64
3.5.	SU	SCEPTIBILIDAD DEL TERRITORIO	67
3.5	1	FACTOR DESENCADENANTE	67
3.5	.2.	FACTORES CONDICIONANTES	
3.6.	PA	RÁMETRO DE EVALUACIÓN	79
3.7.	AN	ÁLISIS DE ELEMENTOS EXPUESTOS	82
3.8	.1. E	LEMENTOS EXPUESTOS SUSCEPTIBLES A NIVEL SOCIAL	82
3.8.	DE	FINICIÓN DEL ESCENARIO DE PELIGRO	84
3.9.	NI	/ELES DE PELIGRO	85
3.10.	ES	TRATIFICACIÓN DEL NIVEL DE PELIGRO	85
CAPITU	LOI	V – ANÁLISIS DE LA VULNERABILIDAD	88
4.1.	ME	TODOLOGÍA	88
4.2.	AN	IÁLISIS DE LAS DIMENSIONES SOCIAL, ECONÓMICA Y AMBIENTAL	89
4.2	1.	ANÁLISIS DE LA DIMENSIÓN SOCIAL	90
4.2	.2.	ANÁLISIS DE LA DIMENSIÓN ECONÓMICA	104
4.2	.3.	ANÁLISIS DE LA DIMENSIÓN AMBIENTAL	115
4.3.		VELES DE VULNERABILIDAD	
4.4.	ES	TRATIFICACIÓN DE LA VULNERABILIDAD	125
CAPITU		/ - CÁLCULO DE RIESGO	
5.1.	ME	TODOLOGÍA	128
		TERMINACIÓN DE LOS NIVELES DE RIESGO	
5.2.1.	. NI	VELES DEL RIESGO	129



5.2.2.	MATRIZ DEL RIESGO	129
5.2.3.	ESTRATIFICACIÓN DEL RIESGO	130
5.3.	CALCULO DE POSIBLES PERDIDAS	134
5.4.	MEDIDAS DE PREVENCIÓN Y REDUCCIÓN DE RIESGOS DE DESASTRES	135
5.4.	DE ORDEN ESTRUCTURAL	135
5.4.	2. DE ORDEN NO ESTRUCTURAL	137
CAPITU	LO VI – CONTROL DEL RIESGO	138
6.1.	DE LA EVALUACIÓN DE LAS MEDIDAS	138
6.1.	ACEPTABILIDAD / TOLERABILIDAD	138
CONCLU	USIONES	141
BIBLIO	9RAFIA	142
ANEXOS	S	151

Arg. Fabiolal Hinojosa Figueroa EVALUADOR DE RIESGO R.J. Nº 808-2020-CENEPREDIJ

ARNOLD DAVID GARCIA ZAVALETA RVGENIERD GEÖLÖĞÜ EVALUADOR DE RIESGO R.D. N°D11-2024-CENEPRED/OFAT



PRESENTACIÓN

El artículo 1 de la Constitución Política del Perú establece como prioridad la defensa de la persona humana y el respeto de su dignidad son el fin supremo de la sociedad y del Estado.

El numeral 11.3 del artículo 11° del Reglamento de la Ley N° 29664 del Sistema Nacional de Gestión del Riesgo de Desastres-SINAGERD, aprobado con Decreto Supremo N° 048-2011-PCM, establece que los gobiernos regionales y locales son los encargados de: Identificar el nivel de riesgo existente en sus áreas de jurisdicción y, asimismo, establecer un plan de gestión correctiva del riesgo en el cual se instituyan medidas de carácter permanente en el contexto del desarrollo e inversión.

Los artículos 14° y 16° de la Ley N° 29664 del SINAGERD, señalan que los gobiernos regionales y gobiernos locales, al igual que las entidades públicas, ejecutan e implementan los procesos de la Gestión del Riesgo de Desastres dentro de sus respectivos ámbitos de competencia. Asimismo, el numeral 11.1 del artículo 11° del Reglamento de la Ley N° 29664, establece que los gobiernos regionales y gobiernos locales incorporan en sus procesos de planificación, de ordenamiento territorial, de gestión ambiental y de inversión pública, la gestión del riesgo de desastres.

El literal a) del numeral 6.2, del artículo 6° de la mencionada Ley N° 29664 del SINAGERD, define al proceso de estimación del riesgo de desastres, como aquel que comprende las acciones y procedimientos que se realizan para generar el conocimiento de los petigros, para analizar la vulnerabilidad y establecer los niveles de riesgo que permitan la toma de decisiones en la gestión del riesgo de desastres.

El objetivo 3 de la Política Nacional de Gestión del Riesgo de Desastres busca incorporar e implementar la gestión del riesgo de Desastres a través de la planificación del desarrollo y la priorización de los recursos físicos y financieros.

La Presidencia del Consejo de Ministros-PCM, mediante Resolución Ministerial N° 334-2012-PCM del 26 de diciembre de 2012, aprueba los "Lineamientos Técnicos del Proceso de Estimación del Riesgo de Desastres", que establece los procedimientos técnicos y administrativos para la generación del conocimiento de los peligros, análisis de la vulnerabilidad y establecer los niveles de riesgos, viabilizando la toma de decisiones en la gestión del riesgo de desastres, así como de los entes competentes para la ejecución de los informes y/o estudios de evaluación de riesgos a nivel de gobiernos regionales y locales. Dichos lineamientos son de cumplimiento obligatorio para las instituciones de los tres niveles de gobierno miembros del SINAGERD.

En el presente informe se aplica la metodología del "Manual para la evaluación de riesgos originados por Fenómenos Naturales", 2da Versión, el cual permite: analizar parámetros de evaluación y susceptibilidad (factores condicionantes y desencadenantes) de los fenómenos o peligros; analizar la vulnerabilidad de elementos expuestos al fenómeno en función a la fragilidad y resiliencia y determinar y zonificar los níveles de riesgos y la formulación de medidas de control vinculadas a la prevención y/o reducción de riesgos en las áreas geográficas objetos de evaluación.

Arq. Fabiola/Hinojosa Figueroa EVALUADOR DE RIESGO R.J. Nº 669-2020-CENEPREDU

ARNOLD DAVID GARCIA ZAVALETA INGENIERO GEOLOGO EVALUADOR DE RIESGO R.D. N°011-2024-CENIÇPRED/DIFAT



INTRODUCCIÓN

La ocurrencia de los desastres es uno de los factores de mayor destrucción debido a la ausencia de medidas y acciones de reducción del riesgo que puedan garantizar las condiciones de estabilidad física en nuestro hábitat frente a la materialización del peligro y como consecuencia nos permita reducir los daños a la población, sus medios de vida y su entomo.

El Perú tiene una larga historia de acontecimientos que condicionaron la vida de los pobladores de su territorio; debido a desastres que han ocurrido, ocurren y seguirán ocurriendo producto de los fenómenos naturales. Uno de estos fenómenos que trataremos en el presente estudio es relacionado al peligro producido por geodinâmica externa como es el movimiento en masa.

Para el desarrollo del presente informe se realizaron las coordinaciones con los funcionarios de la Municipalidad Provincial de Cajatambo y la población del área de estudio para el reconocimiento de campo, así como para el levantamiento de la información secundaria se dispuso de las fichas socioeconómicas, e información existente de trabajos anteriores realizados por el INGEMMET. El Modelo Digital del Terreno se obtuvo mediante el sobrevuelo con dron, conocido técnicamente como vehículo aéreo no tripulado (UAV).

En el presente informe semi cuantitativo de evaluación de riesgos, se caracteriza el fenómeno de movimientos en masa del tipo reptación de suelos, tomando como referencia la metodología establecida por el CENEPRED.

En el capítulo I del informe, se desarrolla el objetivo general y los específicos, la finalidad, justificación, antecedentes y el marco normativo.

En el capítulo II del informe, se describe las características generales del ámbito de estudio, como ubicación geográfica, límites, vías de acceso, características físicas, sociales, económicas, entre otros.

En el capítulo III se desarrolla la determinación del nivel de peligro, en el cual se identifica su área de influencia en función a sus factores condicionantes y desencadenante para la definición de sus niveles, representándose en el mapa de peligro.

En el capítulo IV se desarrolla el análisis de la vulnerabilidad social económico y ambiental en sus tres dimensiones. Cada dimensión se evalúa con sus respectivos factores: exposición, fragilidad y resiliencia, para definir los niveles en cada dimensión, representándose en el mapa respectivo.

En el capítulo V se examina la estrategia para cálculo del riesgo, que permite identificar el nivel del riesgo por movimientos de masa del tipo reptación, y representándose en el mapa de riesgo como resultado de la evaluación del peligro y la vulnerabilidad, determinando y describiendo los niveles de riesgos, con una estratificación del riesgo.

Finalmente, en el capítulo VI, se evalúa el control del riesgo, para identificar la aceptabilidad o tolerancia del riesgo. Así como las respectivas medidas de control preventivas y de reducción del riesgo de desastres.

Arq. Fabiola/Hinojosa Figueroa EVALUADOR DE RIESGO R.J. Nº 008-2020-CENEPRED/J

ARNOLD DAVID GARCIA ZAVALETA INGENIERO GEOLOGO EVALUADOR DE RIESGO R.D. N°OL1-3024-CENEPRED/DIFAT



CAPITULO I - ASPECTOS GENERALES

1.1. OBJETIVO GENERAL

Determinar los niveles de riesgo por movimientos en masa del tipo reptación en el centro poblado Astobamba, distrito de Cajatambo, provincia de Cajatambo, departamento de Lima.

1.2. OBJETIVOS ESPECÍFICOS

- Identificar y caracterizar los niveles de peligro y elaborar el mapa de peligro.
- Analizar y determinar los niveles de vulnerabilidad y elaborar el mapa de vulnerabilidad.
- Estimar los niveles de riesgo y elaborar el mapa de riesgos del ámbito de estudio.
- Evaluar los niveles de aceptabilidad y tolerancia que afronta el centro poblado del área de estudio con el fin de establecer los controles de riesgo pertinentes.

1.3. FINALIDAD

El resultado final del presente estudio se constituye en un gran instrumento para la planificación y desarrollo urbano, porque permitirá a las autoridades correspondientes sustentar la toma de decisiones vinculadas a la prevención y reducción de riesgo de desastres en el centro poblado de Astobamba.

1.4. JUSTIFICACIÓN

El deficiente conocimiento de los riesgos de origen natural que afectan las áreas urbanas constituye una de las causas principales de la ocurrencia de desastres, por ello es necesario caracterizar los peligros analizar la vulnerabilidad y definir los niveles de riesgo de la población e infraestructura pública, que permita sustentar la implementación de acciones de prevención y/o reducción de riesgo de desastres por movimiento de masas del tipo reptación en el ámbito de estudio.

Arq. Fabiola Hinojosa Figueroa EVALUADON DE RIESGO R.J. Nº 808-2020-CENEPRED: J

ARNOLD DAVID GARCIA ZAVALETA INGENIERO GEOLOGO EVALUADOR DE RIESGO R.D. N°011-2074-CENEPRED/DIFAT

8



1.5. ANTECEDENTES

El Perú está expuesto a diversos peligros originados por fenómenos naturales y provocados por la acción humana, tales como movimientos en masa, deslizamientos, inundaciones, huaicos, sequías y sismos. Esta vulnerabilidad se debe a sus características geográficas y climáticas, especialmente su ubicación en el Cinturón de Fuego del Pacífico. Además, la concentración de grupos sociales vulnerables, con escasos recursos económicos y débil resiliencia ante el impacto de los desastres, agrava la situación. La ubicación de la población en zonas propensas a estos peligros contribuye a los riesgos de desastres en el territorio nacional.

El ámbito de la jurisdicción del Gobierno Regional de Lima también enfrenta estos desafíos. Se encuentra expuesto principalmente a peligros hidrometeorológicos y geodinámicos, que pueden generar emergencias y desastres relacionados con desilzamientos, inundaciones y flujos de detritos (huaycos), entre otros.

En 2008, el Instituto Geológico Minero y Metalúrgico (INGEMMET), público el informe técnico denominado "EVALUACION DE PELIGROS GEOLOGICOS EN EL ANEXO DE ASTOBAMBA" Entre sus conclusiones mencionan lo siguiente:

"La principal causa de la Reptación de Suelos es el mal uso de las aguas de regadio en los terrenos colindantes al Jr. Belaunde en el límite del anexo, ya que estos terrenos son constantemente inundados por un canal de regadio de flujo permanente. Además, esta Reptación de Suelo podría tener relación con el mal uso de las aguas de riego en los terrenos de cultivo ladera arriba del anexo Astobamba."

En 2012, el INGEMMET, publicó el informe técnico N° A6589 "Deslizamiento – Flujo de tierra en la Comunidad Campesina Astobamba", Este informe señalan que el centro poblado de Astobamba que: después de la inspección del 2008 hasta la actualidad las viviendas afectadas se han incrementado en más de un 80%, además han aparecido nuevas grietas por encima de la calle Ricardo Palma, y asentamientos de hasta 1 m de profundidad en la parte inferior.

En 2021, el INGEMMET, publicó el informe técnico N° A7210 "EVALUACIÓN DE PELIGROS GEOLÓGICOS EN EL ANEXO DE ASTOBAMBA Y ZONAS PROPUESTAS PARA REUBICACIÓN", que conclusiones indica que: El factor desencadenante para la ocurrencia de movimientos en masa en el Anexo de Astobamba y alrededores, se atribuye a las lluvias intensas y/o excepcionales registradas en los meses de diciembre a abril con umbrales de 27.2 mm por día y la actividad sismica.

Arq. Fabiola Hinojosa Figueroa EVALUAJOR DE RESGO R.J. Nº 008-1020-CENEPREDIJ

ARNOLD DAVID GARCIA ZAVALETA INGENIERO GEÓLOGO EVALUADOR DE RIESGO R.D. Nº013-2024-CENEPRED/DIFAT



1.6. MARCO NORMATIVO

- Ley N°29664, Ley que crea el Sistema Nacional de Gestión del Riesgo de Desastres-SINAGERD.
- Ley N°27867, Ley Orgánica de los Gobiernos Regionales y sus modificatorias dispuesta por la Ley 27902.
- Ley N°27972, Ley Orgánica de Municipalidades, y su modificatoria aprobada por Ley N° 28268.
- Ley N°29869, Ley de Reasentamiento Poblacional para Zonas de muy alto riesgo no mitigable.
- Ley N°30645, que Modifica la Ley N.º 29869, Ley de Reasentamiento Poblacional para zonas de muy alto riesgo no mitigable.
- Decreto Supremo N°038-2021-PCM, que aprueba la Política Nacional de Gestión del Riesgo de Desastres al 2050.
- Decreto Supremo N°048-2011-PCM; que aprueba el reglamento de la Ley 29664- SINAGERD.
- Decreto Supremo N°060-2024-PCM, que modifica el reglamento de la Ley 29664.
- Decreto Supremo Nº142-2021-PCM, que aprueba el Reglamento de la Ley N°29869.
- Resolución Ministerial N°334-2012-PCM, que aprueba los Lineamientos Técnicos del Proceso de Estimación del Riesgo de Desastres.
- Resolución Ministerial N°222-2013-PCM, que aprueba los Lineamientos Técnicos del Proceso de Prevención del Riesgo de Desastres.
- Resolución Ministerial N°220-2013-PCM, que aprueba los Lineamientos Técnicos para el Proceso de Reducción del Riesgo de Desastres.
- Resolución Ministerial N°046-2013-PCM, Lineamientos que definen el marco de responsabilidades en gestión del riesgo de desastres de las entidades del estado en los tres niveles de gobierno.
- Resolución Jefatural Nº112 2014 CENEPRED/J, que aprueba el "Manual para la Evaluación de Riesgos originados por Fenómenos Naturales", 2da Versión.

Arg. Fabiolá Hinojosa Figueroa EVALUNDOR DE RIESGO R.J. Nº 008-2020-CENEPREDIJ

ARNOLD DAVID GARCIA ZAVALETA INGENIERO GEOLOGO EVALUADOR DE RIESGO R.D. N'011-2024-CENEPRED/DIFAT



CAPITULO II - CARACTERÍSTICAS GENERALES

2.1. Ubicación geográfica

El Centro poblado Astobamba corresponde al distrito de Cajatambo de la provincia de Cajatambo, departamento de Lima. Sus coordenadas geográficas son Latitud Sur: 10°28'44,35"S, y Longitud Oeste: 76°59'40.50"O. La altitud de 3,426 metros sobre el nivel del mar.

Cuadro 1: Coordenadas UTM del C.P. Astobamba

DEPARTAMENTO	PROVINCIA	DISTRITO	LOCALIDAD	COORDENADAS DEL LUGAR UTM - WGS84 - ZONA 18S	
			SECTOR	ESTE	NORTE
LIMA	CAJATAMBO	CAJATAMBO	ASTOBAMBA	281667.77	8840938.29

2.2. Base topográfica

Se realizó un vuelo fotogramétrico del área de estudio, previamente planificado en gabinete. La planificación contempló todos los parámetros necesarios para garantizar la obtención de una ortofoto de alta resolución.

Figura 1: Módulo EVO 2 RTK



El vuelo se efectuó a una altura de 200 metros, asegurando una cobertura óptima del área y cumpliendo con las condiciones climáticas necesarias para operar de forma segura y eficiente.

Posteriormente, se procesaron las imágenes obtenidas y se realizó un análisis exhaustivo de los datos para identificar y evaluar posibles riesgos y desafios en el área de estudio. Este análisis incluyó la detección de áreas vulnerables a deslizamientos de tierra y otros fenómenos naturales. Asimismo, se evaluó la infraestructura existente y su susceptibilidad a posibles daños.

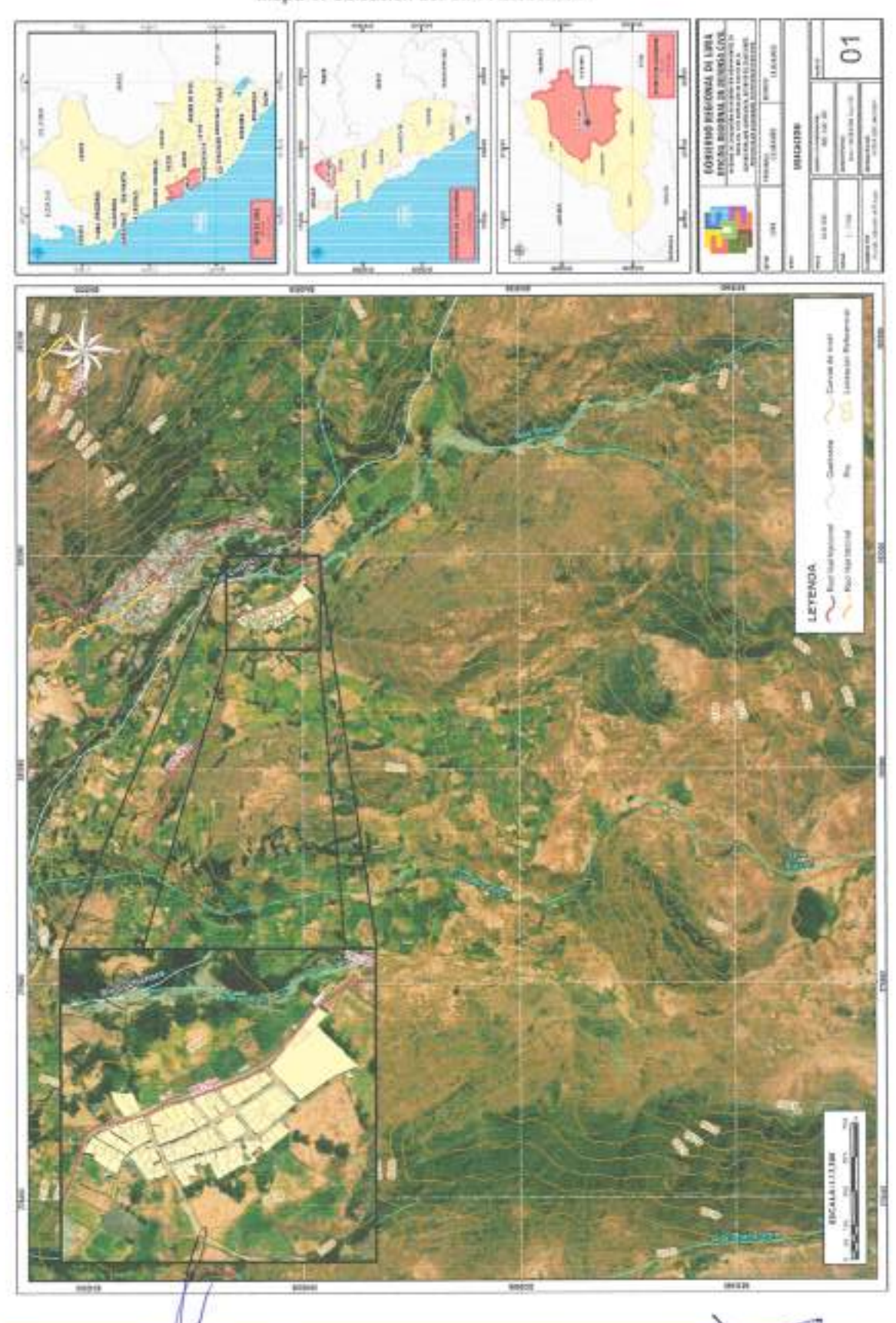
La ortofoto permitió generar el Modelo Digital del Terreno (MDT), compuesto por un conjunto de capas, generalmente en formato ráster, que representan diversas características de la superficie terrestre. Gracias a estas capas, se generaron tanto el Modelo de Elevación Digital (DEM) como las pendientes del terreno.

Are. Fabiola Hinojosa Figueroa EVALUADOR DE RESGO R.J. Nº 008-2020-CENEPREDIJ

ARNOLD DAVID GARCIA ZAVALETA INGENERO GEOLOGO EVALUADOR DE RIESGO R.D. N°011-2024-CENEPRED/DIFAT

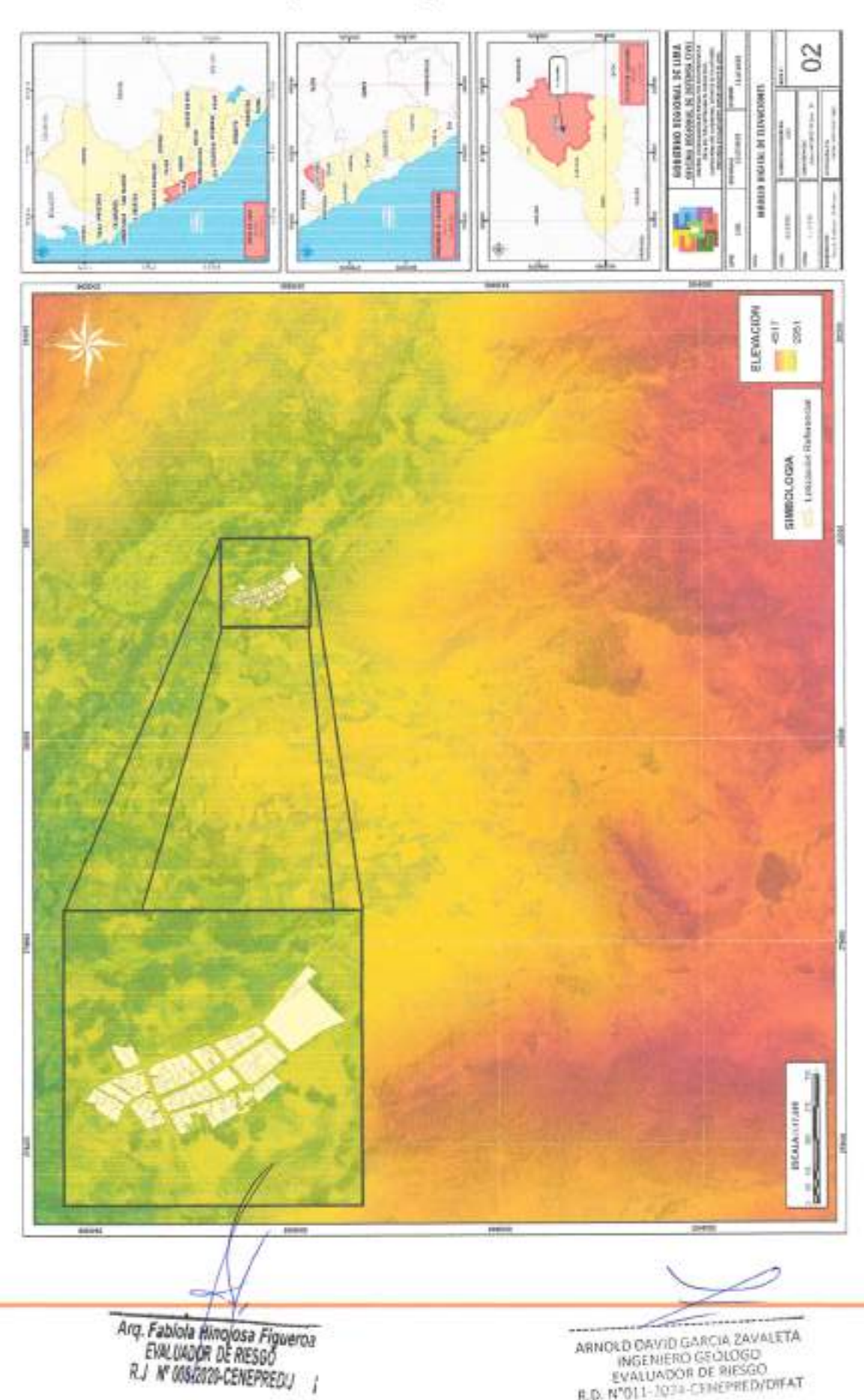


Mapa 1: Ubicación del C.P. Astobamba





Mapa 2: Modelo Digital de Elevación





2.3. Vías de acceso

Partiendo desde el Gobierno Regional de Lima hasta el centro poblado Astobamba, se accede por 2 rutas.

- La primera ruta se recorre la carretera asfaltada Dv. Sayán (PE-1NE), siguiendo la ruta Dv. Sayán – Oyón (PE-18), girando a la derecha para continuar con la ruta Oyón – Astobamba (PE-16)
- La segunda ruta recorre la carretera asfaltada Pativilca (PE-1N), continuando por la ruta Pativilca – Astobamba (PE-16A).

El trayecto y los tiempos de recorrido con vehículo y otros datos son:

Cuadro 2: Vias de acceso al centro poblado Astobamba

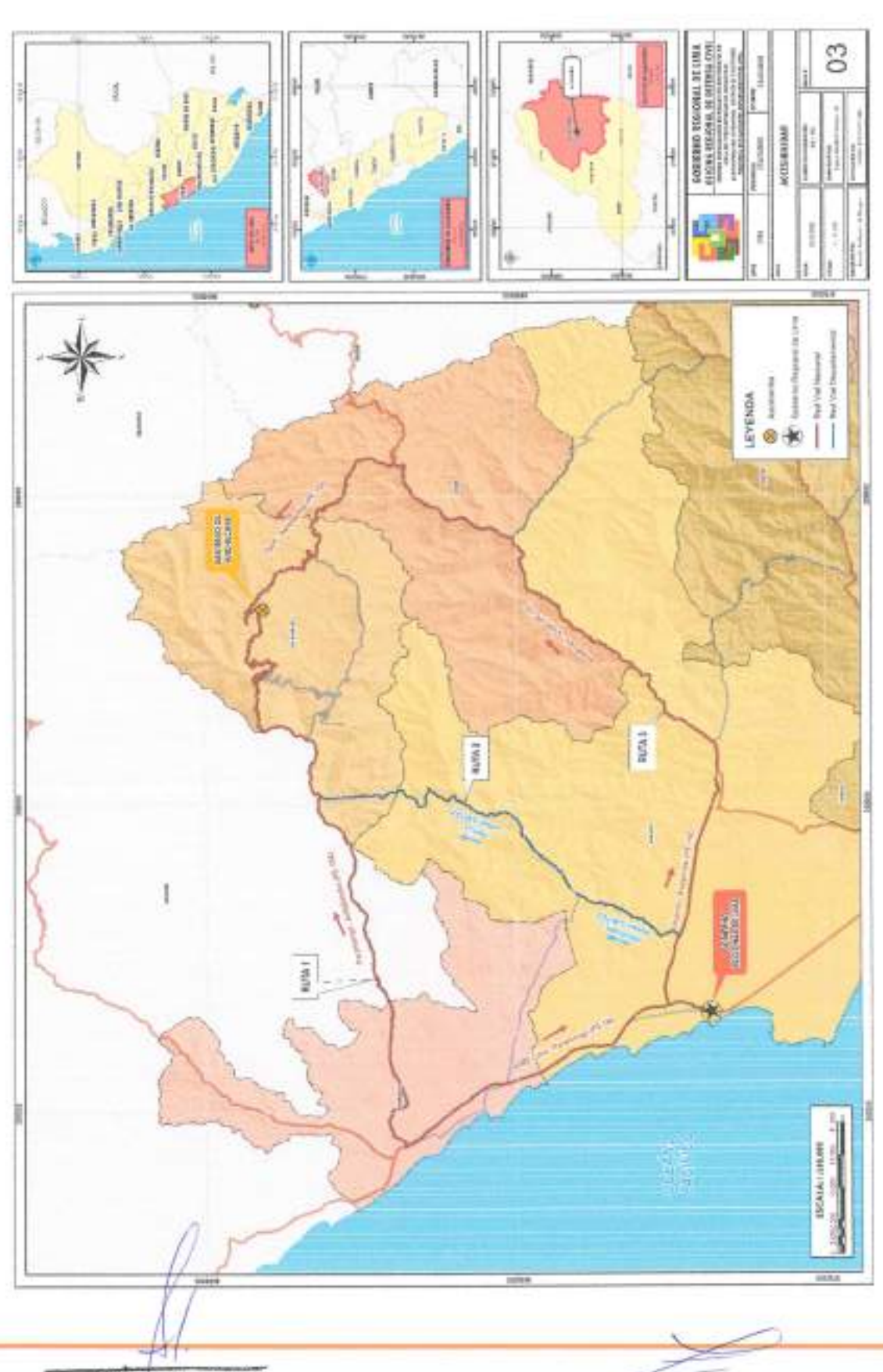
RUTAS	TRAYECTO	DISTANCIA (km)	TIEMPO
RUTA 1	Gobierno Regional de Lima, tramo Dv. Sayán (PE-1NE), Tramo Dv. Sayán – Oyón (PE-18), Oyón – Astobamba (PE- 16).	206	4 h 6 min
RUTA 2	Gobierno Regional de Lima, Tramo Pativilca (PE-1N), Tramo Pativilca – Astobamba (PE-16A).	197	3 h 57 min

Arq. Fabiola Binolosa Figueroa EVALUADOR DE RIESGO R.J. Nº 008-2020-CENEPREDUJ.

ARNOLD DAVID GARCIA ZAVALETA INGÉNIERO GEOLOGO EVACUADOR DE PILSO R.D. M'011-2024 CENEPREDYOFAT



Mapa 3: Accesibilidad al centro poblado Astobamba





2.4. CARACTERISTICAS SOCIOECONÓMICAS

Para el informe de Evaluación de Riesgos, se elaboraron fichas, con el objetivo de registrar información relevante de la población. Con este propósito, se organizó una reunión con los habitantes y autoridades del centro poblado de Astobamba, en la que se explicaron los aspectos del trabajo a realizar, así como los recursos necesarios. Durante la visita de campo, se implementó un control externo con el fin de asegurar la calidad de la información recopilada y construir una base sólida que permita analizar la vulnerabilidad de la población.

Foto 1: Reunión llevada a cabo con los pobladores del centro poblado de Astobamba para coordinar el trabajo del llenado de fichas para la Vulnerabilidad.



Foto 2: Equipo Técnico EVAR con los con los pobladores de Astobamba.



Arq. Fabiqla Hinojosa Figueroa EVALUADOR DE RIESGÓ RJ Nº 1008-2020-CEMEPREDU

ARNOLO DAVID GARCIA ZAVALETA INGENIERO GEOLOGO EVALUADOR DE RIESGO R.D. N'011 2024 CENEPREDICIEAT



2.4.1. Total de personas por vivienda

En el centro poblado de Astobamba, la estructura familiar se caracteriza por una predominancia de hogares pequeños. Según los datos registrados, el 86.8% de las viviendas albergan a cuatro personas o menos, lo que refleja una tendencia hacia núcleos familiares reducidos o viviendas habitadas por personas mayores o parejas jóvenes sin hijos. Un 10.3% de las viviendas cuenta con entre cinco y seis personas, mientras que un 2.9% acoge de siete a ocho personas. No se registran viviendas con más de ocho habitantes. Esta distribución sugiere una densidad habitacional baja y condiciones de convivencia relativamente cómodas en la mayoría de los hogares.

Cuadro 3: Total de personas por vivienda

Total de personas por vivienda	Nº de viviendas	%
Mas de 11 personas	0	0.0%
De 09 a 10 personas	0	0.0%
De 07 a 08 personas	2	2.9%
De 05 a 06 personas	7	10.3%
Menos a 04 personas	59	86.8%
TOTAL	68	100%

Fuente: Equipo Técnico

Gráfico 1: Total de personas por vivienda



Arq. Fabiola Hinojosa Figueroa EVALUADOR DE RIESGO R.J. Nº 008/0020-CENEPREDIJ

ARNOLD DAVID GARCIA ZAVALETA INSENIERO GEÓLOGO EVALUADOR DE RIESGO R.D. Nº011-2074-CENEPRED/DIFAT



2.4.2. Grupo etario

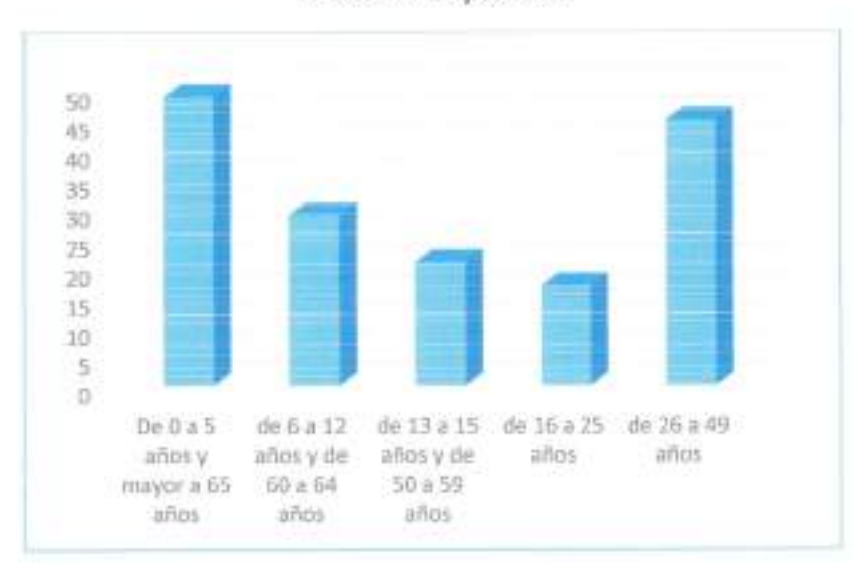
La población del centro poblado de Astobamba presenta una estructura demográfica diversa, con una proporción significativa de personas en los extremos etarios. El 30.4% de sus habitantes corresponde a niños de 0 a 5 años y adultos mayores de más de 65 años, lo que evidencia una alta dependencia en términos sociales y económicos. Un 18.0% de la población se encuentra entre los 6 a 12 años y los 60 a 64 años, mientras que un 13.0% está comprendido entre los 13 a 15 años y 50 a 59 años. El grupo de jóvenes de 16 a 25 años representa el 10.6%, y los adultos entre 26 a 49 años, conforman el 28.0% del total poblacional.

Cuadro 4: Grupo etario

Grupo etario	N" de personas	*
De 0 a 5 años y mayor a 65 años	49	30.4%
de 6 a 12 años y de 60 a 64 años	29	18.0%
de 13 a 15 años y de 50 a 59 años	21	13.0%
de 16 a 25 años	17	10.6%
de 26 a 49 años	45	28.0%
TOTAL	161	100%

Fuente: Equipo Tecnico

Gráfico 2: Grupo etario



Arg. Fabiola Hinojosa Figueroa EVALUADOR DE RESGO R.J. Nº 808-2020-CENEPREDIJ ;



2.4.3. Nivel educativo

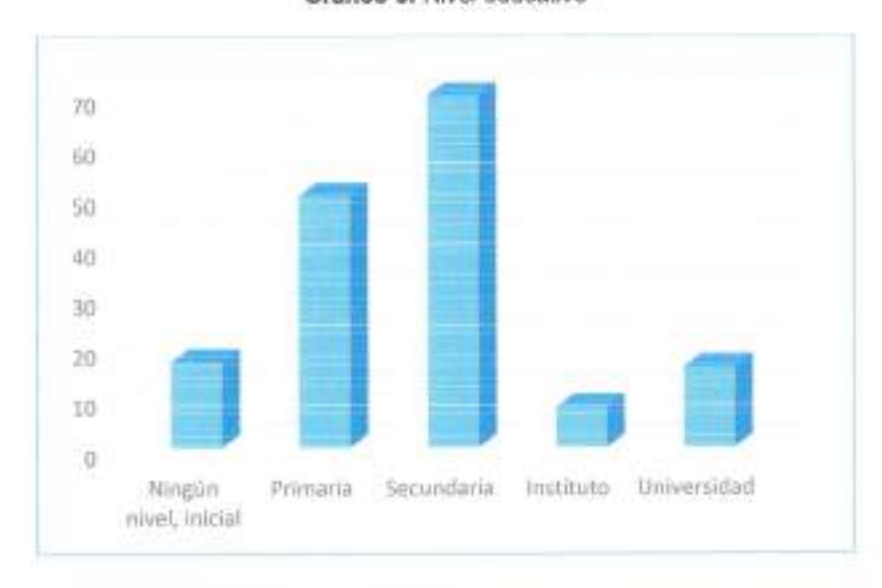
En cuanto al nivel educativo, el centro poblado de Astobamba muestra una distribución en la que predomina la educación secundaria, alcanzada por el 43.5% de la población. Un 31.1% tiene educación primaria, mientras que el 10.6% no ha accedido a ningún nivel educativo o solo ha asistido a educación inicial. La educación superior está presente, aunque en menor medida, con un 5.0% de personas que han cursado estudios en institutos técnicos y un 9.9% con formación universitaria.

Cuadro 5: Nivel educativo

Nivel educativo	N" de personas	%
Ningún nivel, inicial	17	10.6%
Primaria	50	31.1%
Secundaria	70	43.5%
Instituto	8	5.0%
Universidad	16	9.9%
TOTAL	161	100%

Fuente: Equipo Técnico

Gráfico 3: Nivel educativo



Arq. Fabiola Hinojosa Figueroa EVALUADOR DE RIESGO R.J. N° 803-2020-CENEPREDIJ ;

ARNOLD CAVID GARCIA ZAVALETA INGENIERO GEOLOGO EVALUADOR DE RIESGO R.D. N°011 "TH-CENEPRED/DIFAT

1.0



2.4.4. Tipo de seguro

La mayoría de la población de Astobamba cuenta con algún tipo de seguro de salud, predominando el Seguro Integral de Salud (SIS), que cubre al 80.7% de los habitantes, evidenciando una fuerte dependencia de este sistema público. Solo un 5.6% de la población no cuenta con ningún seguro de salud, lo que representa una pequeña proporción vulnerable frente a problemas médicos. Además, un 9.3% pertenece a los seguros vinculados a las Fuerzas Armadas o Policia Nacional (FF.AA. - PNP), mientras que el 1.2% cuenta con el Seguro Social de Salud (ESSALUD) y un 3.1% posee seguro privado. Estos datos reflejan un sistema de protección social relativamente amplio, aunque con un alto grado de cobertura en el seguro público.

Cuadro 6: Tipo de seguro

Tipo de seguro	Nº de personas	*
No tiene	9	5.6%
Seguro Integral de Salud SIS	130	80.7%
Seguro social de Salud ESSALUD	2	1.2%
FF.AA PNP	15	9.3%
Seguro privado	5	3.1%
TOTAL	161	100%

Fuente: Equipo Técnico

Gráfico 4: Tipo de seguro



Arq. Fabibla Hinojosa Figuerea EVALVADOR DE RIESGO R.J. Nº 008-2020-CENEPRED/J

ARNOLD DAVID GARCIA ZAVALETA INGENIERO GEÓLOGO EVALUADOR DE RIESGO P. P. 17011-2074-CENEPREDYDISAT



2.4.5. Discapacidad

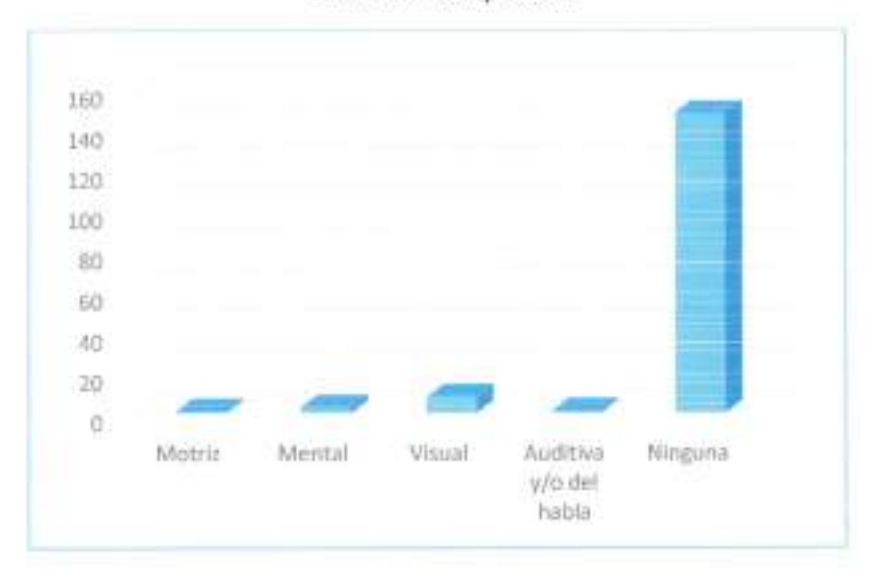
En el centro poblado de Astobamba, la mayoría de la población (91.9%) no presenta algún tipo de discapacidad. Sin embargo, un porcentaje minoritario enfrenta diversas discapacidades: el 5.0% tiene discapacidad visual, el 1.9% presenta discapacidad mental, mientras que un 0.6% tiene discapacidad motriz y otro 0.6% presenta discapacidad auditiva y/o del habla.

Cuadro 7: Discapacidad

Discapacidad	N" de personas	%
Motriz	1	0.6%
Mental	3	1.9%
Visual	8	5.0%
Auditiva y/o del habla	1	0.6%
Ninguna	148	91.9%
TOTAL	161	100%

Fuente: Equipo Técnico

Gráfico 5: Discapacidad



Arg. Fabiola Hinolosa Figueroa EVALUADOR DE RIESGO R.J. Nº 608-2020-CENEPREDIJ ARNOLD DAVID GARCIA ZAVALETA INGENIERO GEOLOGO EVALUADOR DE RIESGO R.O. Nº011-2024-CEMEPRED/DIFAT



2.4.6. Ingreso familiar promedio mensual

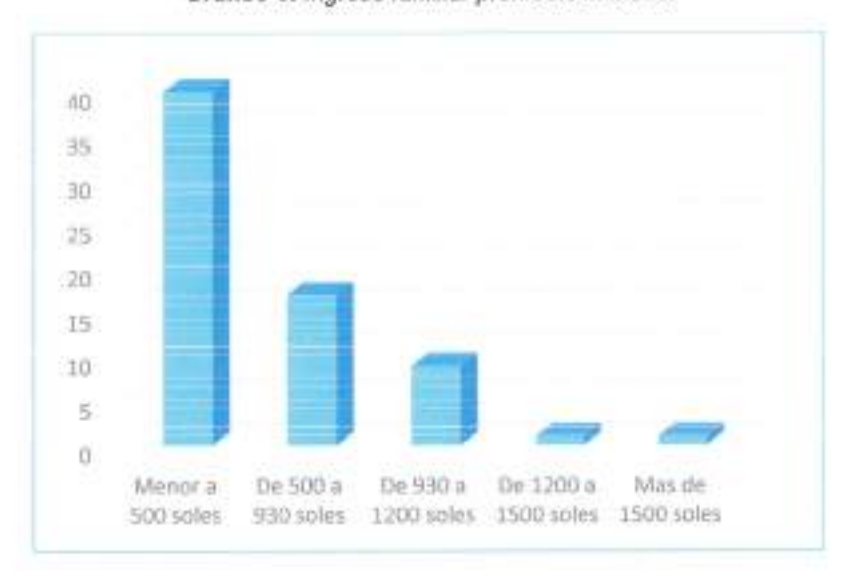
La mayor parte de las familias en Astobamba enfrentan condiciones económicas modestas, con un 58.8% de hogares que perciben un ingreso mensual menor a 500 soles. Un 25.0% se encuentra en el rango de 500 a 930 soles, mientras que solo un 13.2% de familias recibe entre 930 y 1200 soles al mes. Los ingresos superiores a los 1200 soles son poco frecuentes, representando solo el 3.0% del total.

Cuadro 8: Ingreso familiar promedio mensual

Ingreso familiar promedio mensual	Nº de viviendas	N ₀
Menor a 500 soles	40	58.8%
De 500 a 930 soles	17	25.0%
De 930 a 1200 soles	9	13.2%
De 1200 a 1500 soles	1	1.5%
Más de 1500 soles	1	1.5%
TOTAL	68	100%

Fuente: Equipo Técnico

Gráfico 6: Ingreso familiar promedio mensual



Arg. Fabiola Hinojosa Figueroa EVALUADOR DE RIESGO R.J. Nº 008-2020-CENEPREDU

ARNOLD DAVID GARCIA ZAVALETA INGENIERO GEÓLOGO EVALUADOR DE RIESGO R.D. N°011-2024 CENEPRED/DIFAT



2.4.7. Capacitación en temas de riesgo de desastres

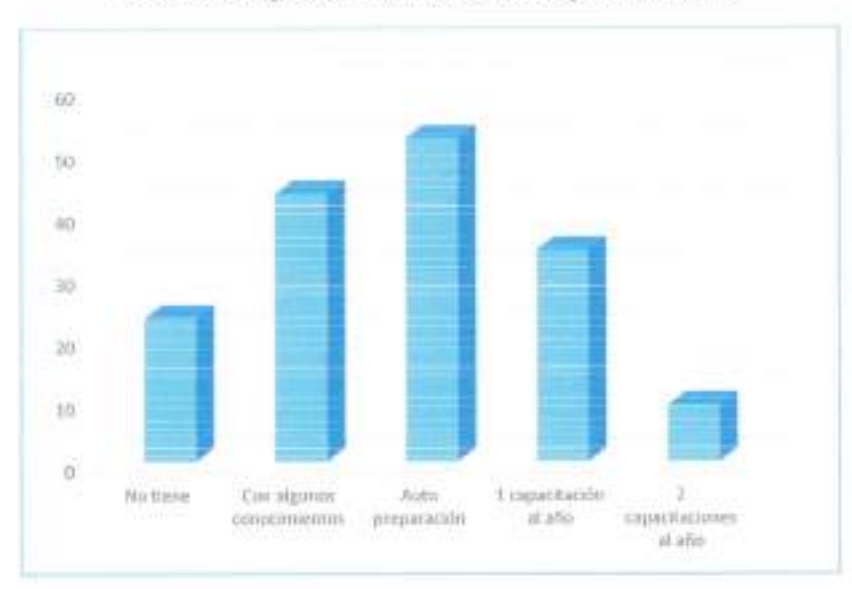
Según los datos obtenidos, la preparación en temas relacionados con el riesgo de desastres muestra ciertas características distintivas. La mayoría de las personas, un 55.1%, no tiene ningún nivel de capacitación o conocimiento en esta área, lo que sugiere una falta de acceso o interés hacia este tipo de formación. Por otro lado, un 44.9% de la población tiene algunos conocimientos en temas de riesgo de desastres, lo que indica un grado básico de conciencia en este aspecto.

Cuadro 9: Capacitación en temas de riesgo de desastres

Capacitación en temas de riesgo de desastres	Nº de viviendas	*
No tiene	23	14.3%
Con algunos conocimientos	43	26.7%
Auto preparación	52	32.3%
1 capacitación al año	34	21.1%
2 capacitaciones al año	9	5.6%
TOTAL	161	100%

Fuente: Equipo Tècnico

Gráfico 7: Capacitación en temas de riesgo de desastres



Arq. Fabiola Hinojosa Figueroa EWLUADOR DE RESGO R J. N° 138-1215-CENEPRED' J ARMOLD DAVID GARCIA ZAVALETA INGENIERO GEOLOGO EVALUADOR DE RIESGO R.D. 111-3024-CENEPRED/DIFAT



2.4.8. Charlas de capacitación en temática ambiental

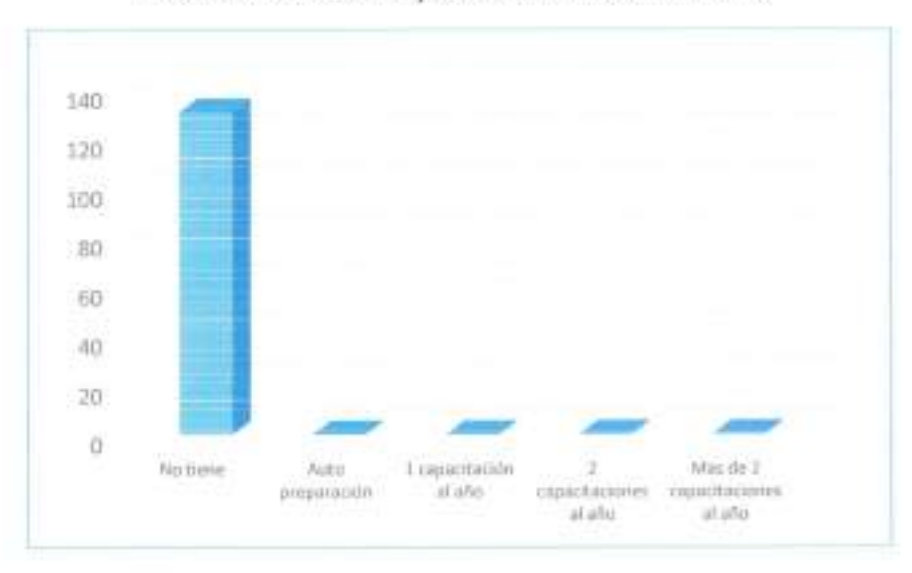
En el centro poblado de Astobamba, se observa que el 100.0% de la población no ha recibido capacitación en temática ambiental. Esto revela una ausencia total de formación en esta área, lo que podría implicar desafíos importantes en el manejo y protección del entorno natural de la comunidad.

Cuadro 10: Charlas de capacitación en temática ambiental

Charlas de capacitación en temática ambiental	Nº de viviendas	*
No tiene	131	100.0%
Auto preparación	0	0.0%
1 capacitación al año	0	0.0%
2 capacitaciones al año	0	0.0%
Más de 2 capacitaciones al año	0	0.0%
TOTAL	131	100%
A STATE OF THE STA		

Fuente: Equipo Técnico

Gráfico 8: Charlas de capacitación en temática ambiental



Arq. Fabiola Hinojosa Figueroa EVALUADOR DE RESGO R J Nº 908-2020-CENEPRED J

ARNOLD DAVID GARCIA ZAVALETA INGENIERO GEOLOGO EVALUADOR DE RIESGO R.D. 17911-1024-CENIEPRED/DEAT



2.4.9. Manejo de desperdicios

En el centro poblado de Astobamba, el 100% de la población realiza el manejo de sus residuos de manera básica, depositándolos en un solo tacho sin realizar ningún tipo de separación. No se registra práctica alguna de clasificación de residuos en orgánicos e inorgánicos, reutilización, compostaje ni clasificación por tipo de material. Esta situación refleja la necesidad urgente de implementar programas de educación ambiental y gestión de residuos sólidos, con el fin de promover prácticas sostenibles y reducir el impacto ambiental en la comunidad.

Cuadro 11: Manejo de desperdicios

Manejo de los desperdicios	Nº de vivienda	. Y ₀
Sin manejo	0	0.0%
Deposita en un solo tacho	131	100.0%
Selecciona orgánico e inorgánico	0	0.0%
Reusó y/o hacer abono	0	0.0%
Clasificación por material	0	0.0%
TOTAL	131	100%

Fuente: Equipo Técnico

Gráfico 9: Manejo de desperdicios



Arq. Fabiola Hinojosa Figueroa EVALUADOR DE RIESGO R.J. N° 1004-2020-CEMEPRED/J

ARNOLD DAVID GARCIA ZAVALETA INGENIESO GEÓLOGO EVALUADOR DE RIESGO R.D. N°011-2024-CENEPRED/OS AT



2.4.10. Disposición final de los residuos sólidos

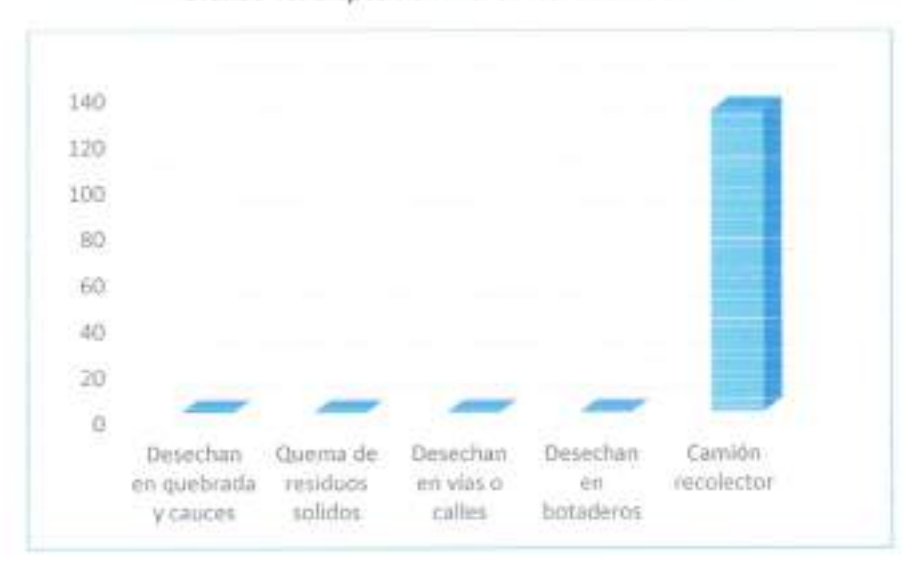
El manejo final de los residuos sólidos en Astobamba se realiza de manera formal, ya que el 100% de los desechos es recogido por camión recolector, sin que se reporten prácticas informales como quema, disposición en quebradas, cauces, calles o botaderos. Esta situación representa un aspecto positivo en cuanto a la gestión de residuos, aunque debe complementarse con programas de segregación en la fuente y educación ambiental, ya que actualmente el 100% de los hogares deposita sus residuos sin clasificar.

Cuadro 12: Disposición final de los residuos sólidos

Disposición final de los residuos solidos	N° de vivienda	%
Desechan en quebrada y cauces	0	0.0%
Quema de residuos solidos	0	0.0%
Desechan en vías o calles	0	0.0%
Desechan en botaderos	0	0.0%
Camión recolector	131	100.0%
TOTAL	131	100%

Fuente: Equipo Técnico

Gráfico 10: Disposición final de los residuos sólidos



Arg. Fabiola Hilmojosa Figueroa EVALUADOR DE RIESGO R.J. Nº 008-2020-CENEPREDU



2.4.11. Acceso a servicios públicos

La mayoría de las edificaciones cuenta con acceso a los servicios públicos de manera suficiente, alcanzando un 56.5%. En orden de abundancia, le sigue con un 28.2%, un acceso inadecuado a los servicios públicos, evidenciando una alta cantidad de personas sin acceso a por lo menos un servicio básico.

Por otro lado, un 8.4% de las edificaciones cuenta con acceso insuficiente, mientras que un 5.3% con un acceso adecuado a estos servicios. Finalmente, un 1.5% de las edificaciones cuentan con un acceso óptimo a los servicios básicos.

Cuadro 13: Acceso a servicios públicos

Acceso a los servicios públicos	N° de edificaciones	%
Inadecuado (no cuenta con servicios básicos)	37	28.2%
Insuficiente (Cuenta con un solo servicio básico)	11	8.4%
Adecuado (Cuenta con dos servicios básicos)	7	5.3%
Suficiente (Cuenta con 3 servicios básicos)	74	56.5%
Optimo (Cuenta con más de 3 servicios)	2	1.5%
TOTAL	131	100%

Fuente: Equipo Técnico

Gráfico 11: Acceso a servicios públicos



Arq. Fabiola Hinojosa Figueroa EVALDADOR DE RIESGO R.J. Nº 108-3020-CENEPREDUJ



2.4.12. Régimen de tenencia

En el centro poblado de Astobamba, el régimen de tenencia de las viviendas muestra una clara predominancia de propiedades sin título formal. Un 87.1% de las viviendas son propias, pero cuentan únicamente con constancia de posesión, lo que refleja una falta de formalización en la tenencia de tierras.

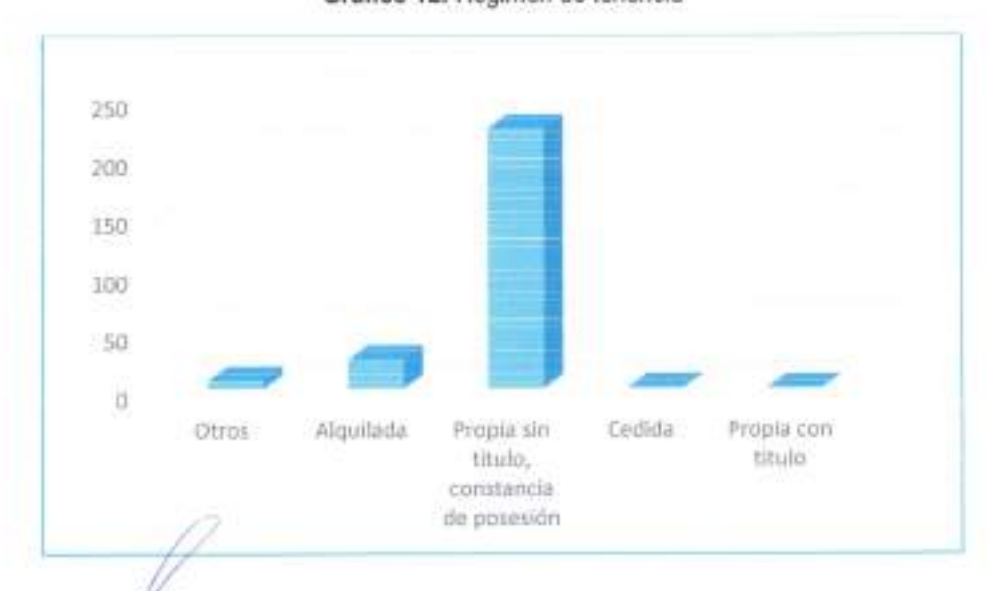
Por otro lado, un 9.8% de las viviendas son alquiladas, mientras que un 2.7% corresponde a otras formas de tenencia. Solo un 0.4% de las viviendas son cedidas, y no se registra ninguna vivienda con titulo formal de propiedad (0.0%).

Cuadro 14: Régimen de tenencia

Régimen de tenencia	N° de vivienda	X.
Otros	7	2.7%
Alquilada	25	9.8%
Propia sin título, constancia de posesión	223	87.1%
Cedida	1.	0.4%
Propia con título	0	0.0%
Total	256	100%

Fuente: Equipo Técnico

Gráfico 12: Régimen de tenencia



Are, Fabiola Hinojosa Figueroa EVALUADOR DE RIESGO R.J. Nº 008-2020-CENEPREDU ;

ARNOLD DAVID GARCIA ZAVALETA INGENIERO GEÓLOGO EVALUADOR DE RIESGO R.D. N°011-2024-CENEPRED/DIFAT



2.4.13. Cimentación

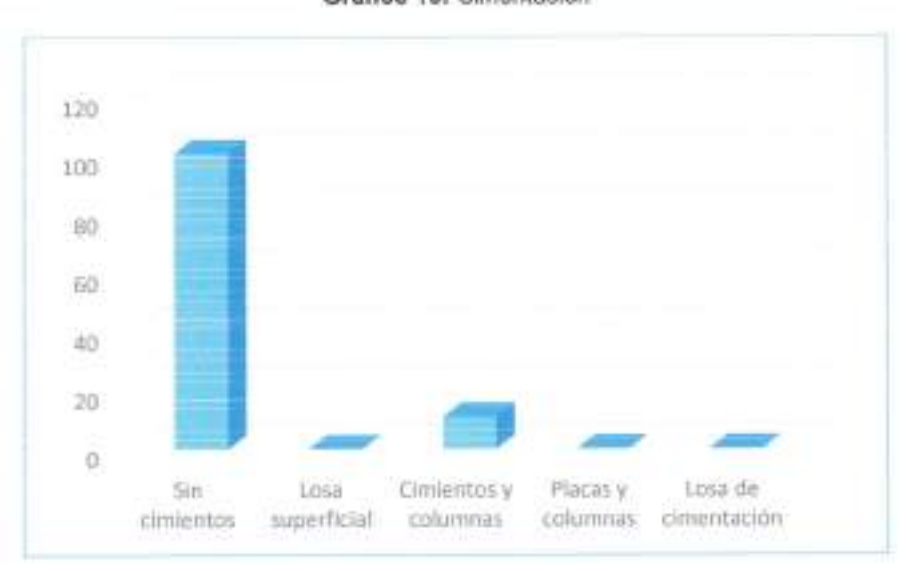
La mayoría de las viviendas en el centro poblado de Astobamba están construidas principalmente con adobe, un material tradicional y accesible que refleja las técnicas constructivas locales. El 90.2% de las viviendas carece de cimientos. Solo un pequeño porcentaje (9.8%) cuenta con cimientos y columnas que brindan mayor soporte y resistencia.

Cuadro 15: Cimentación

Cimientos de la edificación	Nº de edificaciones	ч,
Sin cimientos	101	90.2%
Losa superficial	0	0.0%
Cimientos y columnas	11	9.8%
Placas y columnas	0	0.0%
Losa de cimentación	0	0.0%
TOTAL	112	100%

Fuente: Equipo Técnico

Gráfico 13: Cimentación



Arq. Fabibla Himojosa Figueroa EVALUADOR DE RIESGO R.J. N° 008-2020-CENEPREDU

ARNOLD DAVID GARCIA ZAVALETA INGENIERO GEOLOGO EVALUADOR DE RIESGO R.D. N°011-2024-CENEPRED/DIFAT



2.4.14. Material de construcción

En el centro poblado de Astobamba, los resultados muestran una clara predominancia del uso de materiales tradicionales en las viviendas, especialmente el adobe o tapial, que representa el 88.4% del total de construcciones. Este alto porcentaje refleja una fuerte dependencia de técnicas constructivas ancestrales, disponibilidad local de materiales y conocimientos transmitidos de generación en generación.

Por otro lado, un 8.9% de las viviendas están construidas con ladrillo y concreto, lo que sugiere una incipiente transición hacia materiales más duraderos y modernos, aunque aún limitada. La madera o triplay se encuentra en una proporción reducida del 2.7%, lo que indica que no es un material de uso común en la zona, posiblemente por su costo o falta de disponibilidad.

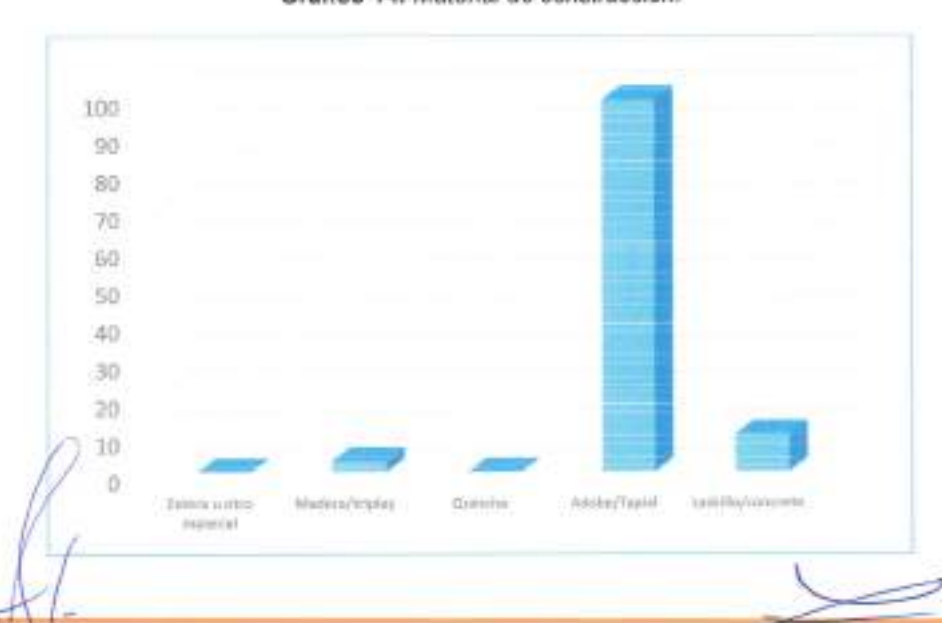
Cabe destacar que no se reporta el uso de quincha, estera u otros materiales alternativos, lo que confirma que las técnicas mixtas o menos convencionales no forman parte de las prácticas constructivas en Astobamba.

Cuadro 16: Material de construcción

Material de construcción de la vivienda	N° de edificaciones	*
Estera u otro material	0	0.0%
Madera/triplay	3	2.7%
Quincha	0	0.0%
Adobe/Tapial	99	88.4%
Ladrillo/concreto	10	8.9%
TOTAL	112	100%

Fuente: Equipo Técnico

Gráfico 14: Material de construcción.



Arq. Fabiola Hinojosa Figueroa EVALUADOR DE RIESGO R.J. Nº 908-2020-CENEPREDA ARNOLD DAVID GARCIA ZAVALETA INGENIERO GEOLOGO EVALUADOR DE RIESGO R.D. N°013-2024-CENEPRED/DIFAT

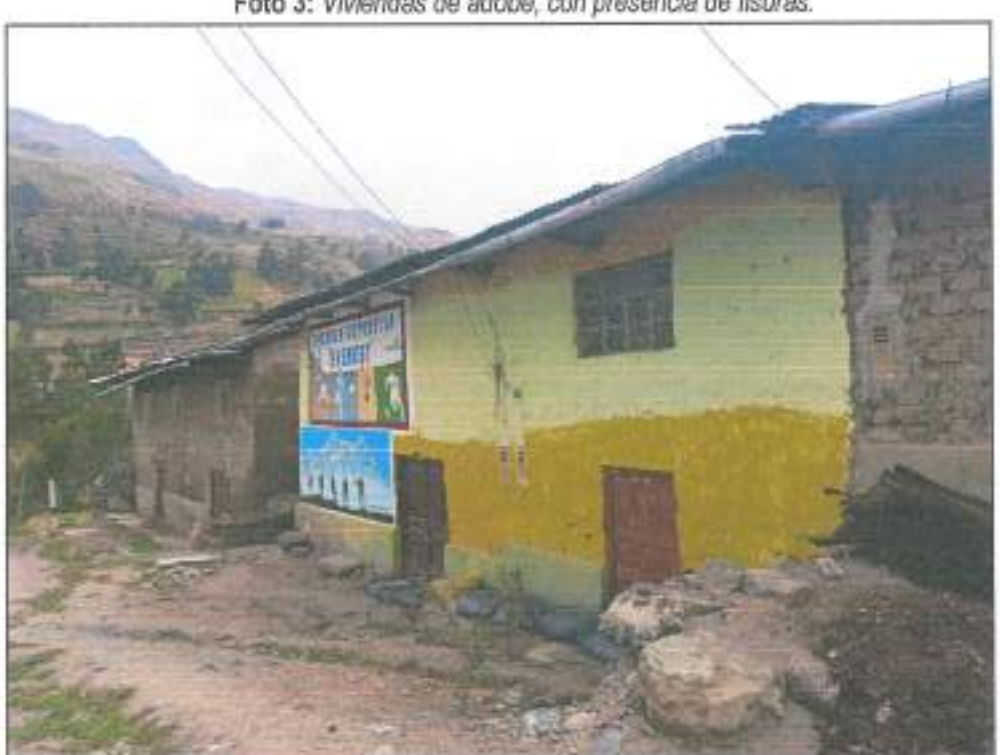
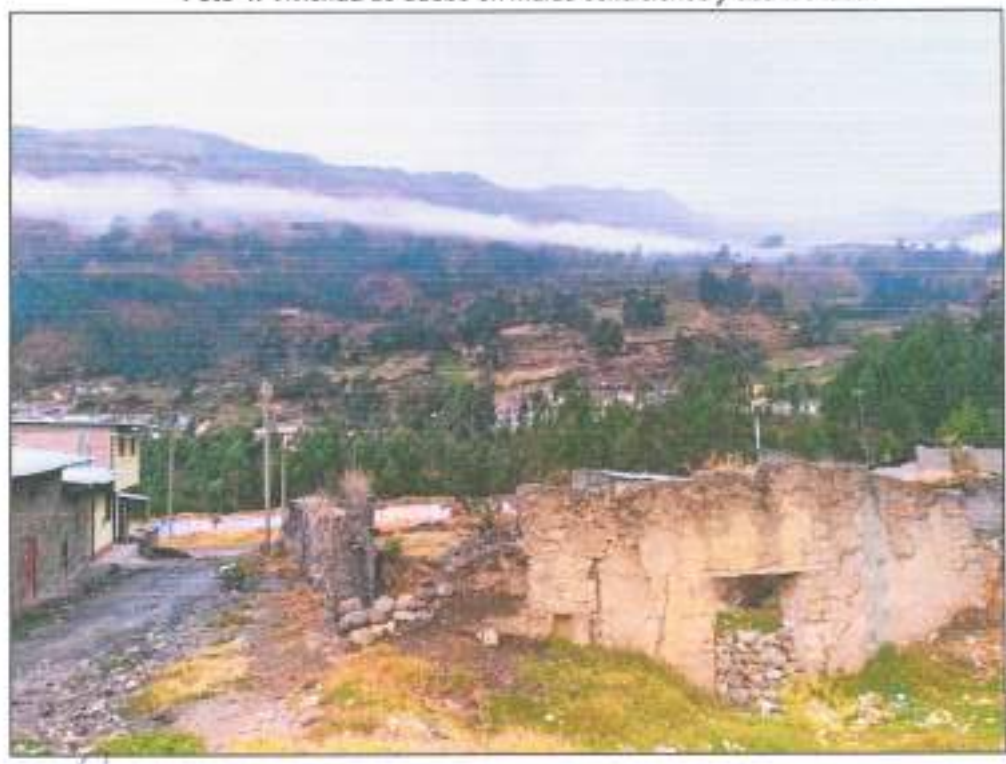


Foto 3: Viviendas de adobe, con presencia de fisuras.







2.4.15. Número de pisos

En el centro poblado de Astobamba, la mayoría de las viviendas son de uno o dos pisos, representando en conjunto el 99.1% del total. Especificamente, las casas de un piso constituyen el 51.8%, mientras que las de dos pisos alcanzan el 47.3%, mostrando un predominio claro de construcciones bajas.

Solo una vivienda es de tres pisos representando un 0.9%, y no se registran edificaciones de cuatro pisos o más.

Cuadro 17: Número de pisos

Número de pisos	Nº de edificaciones	*
Mayor a 5 pisos	0	0.0%
4 pisos	0	0.0%
3 pisos	1	0.9%
2 pisos	53	47.3%
1 piso	58	51.8%
TOTAL	112	100%

Fuente: Equipo Técnico

Gráfico 15: Número de pisos



Foto 5: Viviendas construidas con adobe, de uno y dos niveles.

Arg. Fabiola Hinejosa Figueros EVALUADOR DE RIESGO R.J. W. 088-2020-CENEPREDU ARNOLD BAYID GARCIA ZAVALETA INGENIERO GEOLÓGO. EVALUADOR DE RIESGO R.D. N°011-2024-CENIERED/DISAT



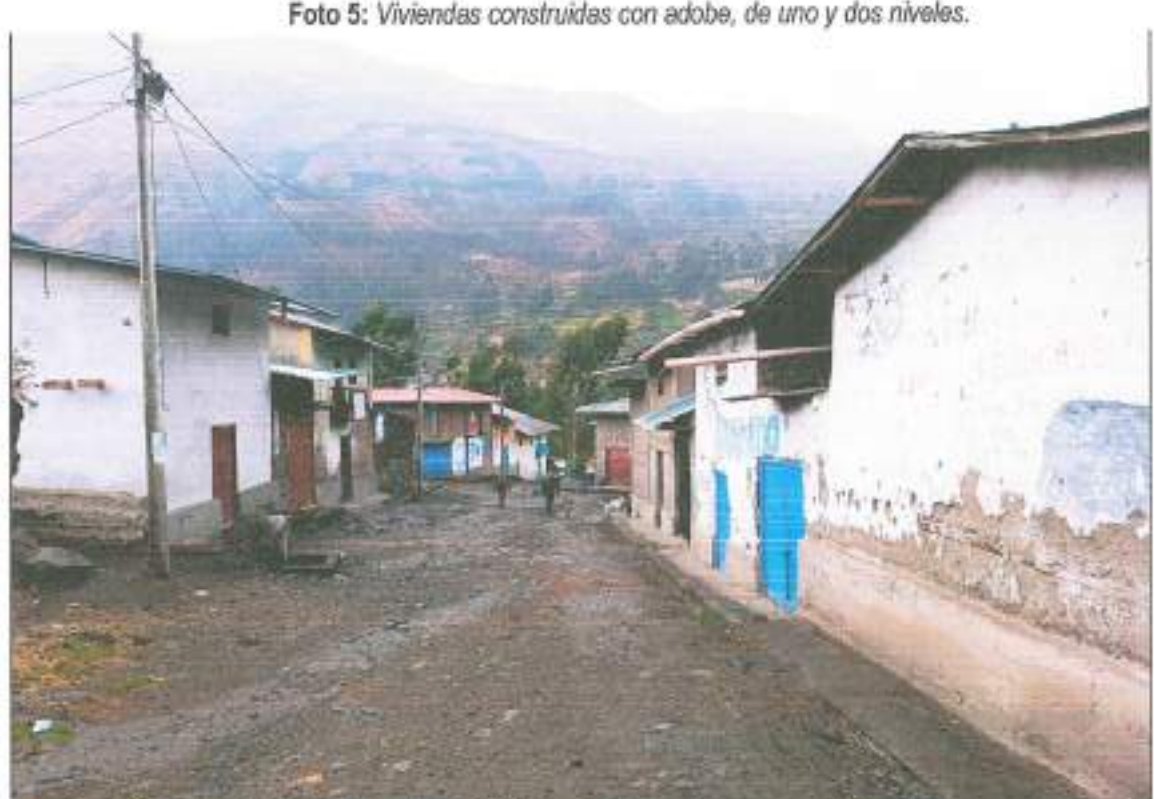


Foto 5: Viviendas construidas con adobe, de uno y dos niveles.

Arq. Fabiola Hinojosa Figueroa EVALUADOR DE RIESGO RJ M. 008-2020-CENEPREDU ;

ARNOLD DAVID GARCIA ZAVALETA INGENIERO GEÓLOGO EVALUADOR DE RIESGO R.D. N°013-2024-CENEPRED/D#AT



2.4.16. Estado de conservación

El estado de conservación de las viviendas en Astobamba refleja una situación preocupante en términos de habitabilidad y seguridad estructural. Según los datos recopilados:

- El 53.6% de las viviendas se encuentra en condiciones deficientes (26.8% en muy mal estado y 26.8% en mal estado).
- Un 33.0% presenta un estado regular, lo que indica que requieren mantenimiento o refuerzo.
- Solo un 11.6% está en buen estado, y apenas un 1.8% puede calificarse como en muy buen estado.

Esta distribución muestra que más de la mitad del parque habitacional se encuentra en condiciones vulnerables. Esta situación se agrava por el uso de materiales como el adobe en muchas edificaciones y por el evidente abandono de numerosas viviendas tras el sismo del 15 de agosto de 2007, evento que dejó grietas visibles y daños estructurales aún no reparados en muchas construcciones.

Cuadro 18: Estado de conservación

Estado de conservación	N° de edificaciones	٧,
Muy mala	30	26.8%
Mala	30	26.8%
Regular	37	33.0%
Buena	13	11.6%
Muy buena	2	1.8%
TOTAL	112	100%

Fuente: Equipo Técnico

Gráfico 16: Estado de conservación



Arq. Fabiola Hinojosa Figueroa EVALUADOR DE RIESGO R.J. M 008-2020-CENEPREDU ARNOLD DAVID GARCIA ZAVALETA INGENIERO GEOLOGO EVALUADOR DE RIESGO * = 6°011-2024-CENEPREDIORAT



2.4.17. Propiedad expuesta

Según los datos recopilados, el 46.6 por ciento de las viviendas se localiza en zona de peligro muy alto, mientras que el 53.4 por ciento restante se encuentra en zona de peligro alto. No se registran viviendas ubicadas en zonas de peligro medio, bajo ni en áreas consideradas no peligrosas.

Cuadro 19: Propiedad expuesta

Propiedad expuesta	N° de lotes	%
En zona de peligro muy alto	61	46.6%
En zona de peligro alto	70	53.4%
En zona de peligro medio	0	0.0%
En zona de peligro bajo	0	0.0%
En zona no peligrosa	0.	0.0%
TOTAL	131	100%

Fuente: Equipo Técnico

Gráfico 17: Propiedad expuesta



Arq. Fablola Hinojosa Figueroa ENALUADOR DE RESGO R.J. Nº 008-2020-CENEPRED: J

ARNOLD DAVID GARCIA ZAVALETA INGENIERO GEOLOGO EVALUADOR DE RIESGO R.D. N°011-2024-CENEPRED/DIFAT



2.5. CARACTERISTICAS FÍSICAS

La Cadena de los Andes Peruanos es el resultado de la superposición de las orogenias precambrianas, herciniana y andina. Presenta sectores dotados de un magmatismo ofiolítico pre-orogénico, sectores dotados de un magmatismo andesítico pre-orogénico, zonas de afloramiento del substratum precambriano y herciniano modificado en la cadena andina, cuencas terciarias intramontañosas subsidentes, sobreescurrimientos y cabalgamientos.

El poblado Astobamba se encuentra asentado sobre un depósito de deslizamiento activo, conformado por fragmentos de roca angulosos con diámetros que varian de 0.05 a 0.15 m envueltos en una matriz areno-arcilloso, originado por un deslizamiento-flujo antiguo, reactivado hace más de 20 años y que presenta actividad geodinámica permanente.



Figura 2: Vista Satelital de la pendiente de la comunidad Astobamba

Fuente: Google Earth Image - 2023

Arq. Fabiola Hinojosa Figueroa EVALUADOR DE RIESGO R.J. Nº 109-2020-CENEPRED: J ARNOLD DAYID GARCIA ZAVALETA INGERIERO GEOLOGO EVALUADOR DE RIESGO R = #1011-3029 CENEPRED/DIFAT



2.5.1. GEOLOGÍA

Para el presente informe, se realizó una cartografía local basada en la visita en campo y también tomando en cuenta la información de los cuadrángulos de Chiquián (21i), Yanahuanca (21-j), Ambar (22i), Oyón (22j) y las descripciones realizadas por Cobbing (1973) y Cobbing et al. (1996).

De acuerdo a la cartografía realizada, el área de estudio se encuentra localizada sobre depósitos aluviales. Esta información se ha validado con las imágenes obtenidas del procesamiento fotogramétrico del sobrevuelo con Drone, así como con la inspección insitu.

2.5.1.1. Unidades Estratigráficas

La estratigrafía de la región abarca rocas cuyas edades varian desde el Paleógeno hasta el Cuaternario, las cuales están constituidas por rocas volcánicas y por depósitos aluviales, coluviales y fluviales (Figura 3 y mapa 4). De acuerdo a la cartografía 1: 100 000 de los cuadrángulos de Chiquián, Yanahuanca, Ambar y Oyón, realizados por el INGEMMET, el área de estudio está compuesta, de la más antiguas a la más moderna, por afloramientos de rocas volcánicas del Grupo Calipuy, y por depósitos cuaternarios.

Grupo Calipuy (Po-ca-a; Po-ca-b)

De acuerdo con Cobbing et al. (1996), el Grupo Calipuy consiste de por lo menos 2000 m, pudiendo alcanzar en algunos lugares esposes mayores a 3000 m. Esta unidad se compone principalmente de rocas piroclásticas gruesas de composición andesitica, abundantes lavas andesíticas e ignimbritas dacíticas. Esta unidad es extremadamente variable, por lo que las secuencias en distintas localidades tienen poca semejanza.

Dentro del área de estudio (Mapa 4), el Grupo Calipuy representa la unidad más antigua, por lo que no es posible ver otra unidad por debajo de esta. Sin embargo, de manera regional, el Grupo Calipuy descansa en discordancia sobre unidades mesozoicas. La parte inferior de esta unidad presenta una secuencia de areniscas, lutitas, limoarcillitas, conglomerados calcáreos de coloraciones rojizas a marrones y un flujo andesítico basal subordinado. Mientras que la parte superior consta de andesitas, dacitas y riolitas de color gris pardo, pardo, marrón en bancos gruesos, también se presentan alternancias de niveles de conglomerados y lutitas marrón rojizas.

Depósito aluvial 2 (Qh-al2):

Se trata de materiales acumulados por corrientes tractivas y representan los depósitos aluviales más antiguos del área representando planicies y terrazas aluviales. Se compone de gravas y bloques subredondeados envueltos en una matriz arenosa a limosa, a veces intercalados con lentes de arenas. Sobre estos depósitos se han establecido las principales zonas agrícolas del área.

Arq. Fabiola Hinojosa Figueroa EVALUADOR DE RESGO R.J. Nº 008-2020-CENEPREDIJ

ACTIOCO DA VIO GARCIA ZAVALETA INGENIERO GEOLOGO EVALUADOR DE RIESGO R.O. N°011-2024-CENEPRED/DIFAT



Depósito aluvial 1 (Qh-al1):

Se trata de materiales acumulados por corrientes tractivas y representan los depósitos aluviales más modernos del área representando principalmente por abanicos aluviales, se extienden principalmente a lo largo de las quebradas. Se compone de gravas y bloques subredondeados envueltos en una matriz arenosa a limosa, a veces intercalados con lentes de arenas gruesas.

Depósito Coluvial (Qh-cl):

Estos depósitos se componen de gravas y bloques sunbangulosos envueltos en una matriz arenosa, acumulados al pie de taludes escarpados, en forma de conos. Estos depósitos son suelos conformando zonas poco estables, estos depósitos están localizados en la margen derecha del río Cuchichaca.

Depósito Fluvial (Qh-fl):

Estos depósitos son originados por la acción de procesos fluviales, es decir, está formado por materiales transportados y depositados por las corrientes del río Cuchichaca y algunos ríos tributarios. Esta unidad está compuesta por fragmentos rocosos heterométricos (limos, arenas, gravas, cantos, etc.) transportados por la corriente de los ríos a grandes distancias en el fondo de los valles y depositados en forma de terrazas o playas, removibles por el curso actual del río Cuchichaca y ubicados en su llanura de inundación.

Arq. Fabiola Hinojosa Figueroa EVALUADOR DE RESGO R.J. Nº 008-2020-CENEPREDU

ARNOLD DAVID GARCIA ZAVALETA INGENIERO GEÓLOGO EVALUADOR DE RIESGO R.D. N'011-2024 CENEPRED/DIFAT



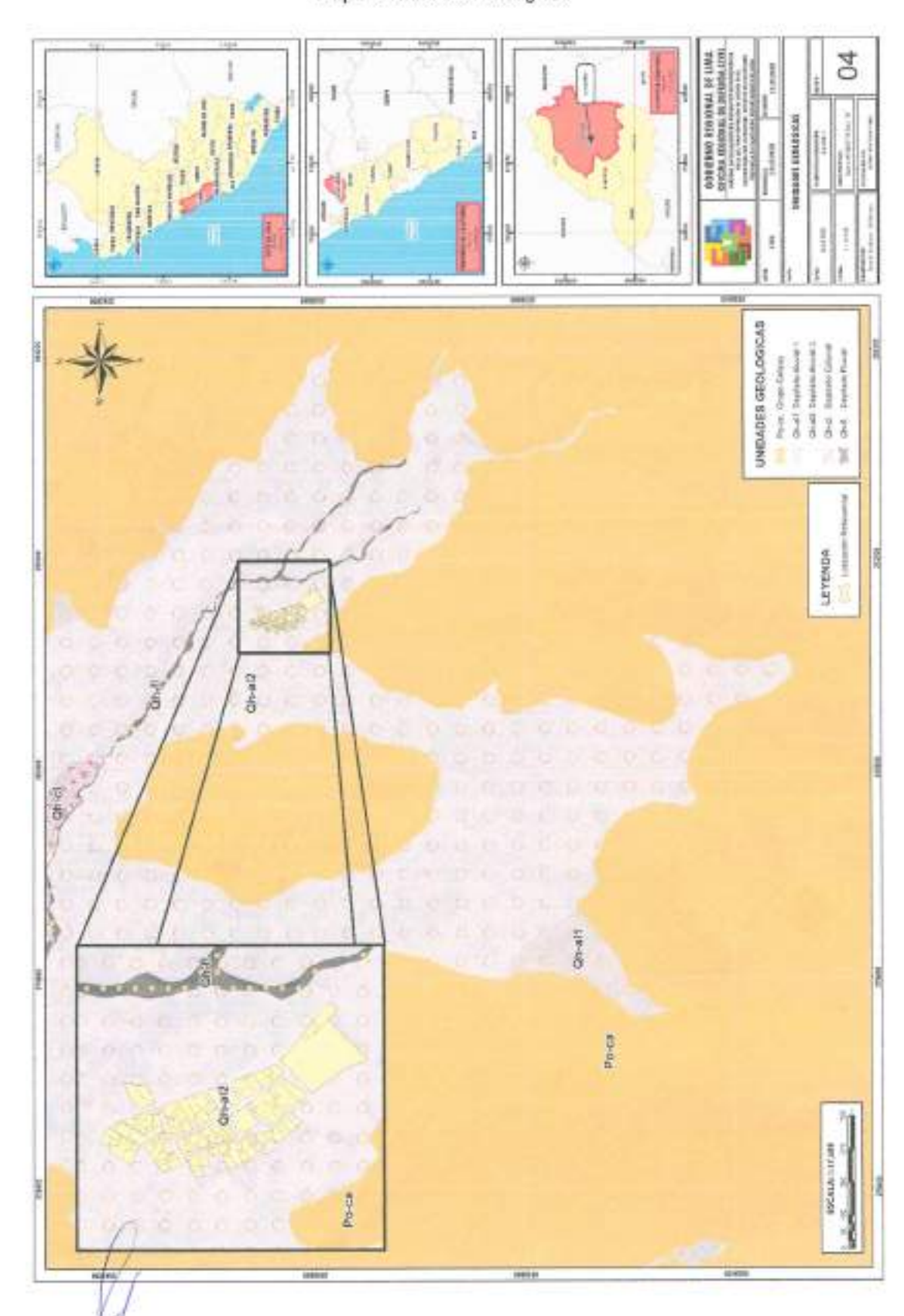
Figura 3: Columna estratigráfica generalizada de los cuadrángulos de Chiquián y Yanahuanca, modificado de Cobbing et al. (1996).

HATEMA	SISTEMA	SERIE	L/TORTTRATAGRAPICA	98060K	CCCONNA	DESCRIPTION LITOLOGICA		
PER SAL	CUMBR	HOLOCENO				Depositio dissilate, orionami, placoforemi Normali.		
0	-				Contract of the last of the la	This de centres scharies		
CENOZOICO	NEGOE.	Wester	10000000		and the last of th	Sesserina de tobas regissiminas y boso procladosti.		
02	0	OUROCENO	SUPERIOR					
2	Z		CIRLIPO CALIPUY	2060	0.57.63			
3	ÒĞ	TOOPIO	INFERIOR			Celcanosi de buile prilentose		
	PALEÓGENO	PAGEOCENO	FM CASAPALCA	909		Aspressa rapa histori, merjan y pingkimoradea Presencia de nalizar entingianea		
						Calaba, halph robbert schreierte bit ethiatas, aus bei in te		
		9	PM. CELENDIN	0.000		1000		
		SUPERIOR	PALAMASHA	1100		Column grans on establishmen is a Zile on goods telescope, foreign facilities		
		8	FM PARISTAMBO	676		Virganitie russie sanzu, star lette		
						Calcana concern or Non-Argonian		
	8		FM. CHULES	100		California margani californimo a aspecto montro		
	0		PM PARIAHUANCA	100		Caragon manuals de byen adult systems are 1 a 2 m are giorno		
8	CRETÁCICO	CRETA NFERIOR	FIV. FARRAT	30		Annual States of States		
MESOZOICO			FID. CARDISLAZ	1300		Caccumings de l'imparatificas color qu'el a serite, capacide quesi en la parte etter en si en lles recebes experiment l'imparatifique repais.		
						Z	FM SANTA	150
			PM OHNU	636		Awarded common before manyer or entants when 1 a 1 miles posts		
			FM OVON	100		Apriliada en tapas Regallos enercidados con capación de californios de controlos.		
	JURÁSICO	SUPERIOR	FM CHICANA	- incai		Plazaras y arenteses grives roveres son prote angenetics, tim roveres se sections and minimize finish to party popular supprise gris celebra, sectors o promises.		

Arq. Fabiola Hinojosa Figueroa EWLUNDOR DE RIESGO R J W 988-2020 CENEPREDU ASHIDLO DAVID GARCIA ZAVALETA INGENIERO GEOLOGO EVALUADOR DE RIESGO R.D. N°011-2024-CENEPRED/DEAT



Mapa 4: Unidades Geológicas



Arq. Fabiala Hinojosa Figueroa EVALUADOR DE RIESGO R.J. Nº 908-2020-CENEPREDU

ARNOLD DAVID GARCIA ZAVALETA INGENIERO GEOLOGO EVALUADOR DE RIESGO R.D. N°011-2024-CENEPRED/DIFAT



2.5.2. GEOMORFOLOGÍA

Desde el punto de vista geomorfológico, el centro poblado Astobamba se localiza sobre la unidad geomorfológica de tranura o planicie aluvial (PI-al). El área de estudio se ubica sobre zonas con un predominio de pendientes suaves (0° - 5°) a medias (5° - 15°), ver mapas 5 y 6.

En los alrededores, se han identificado montañas en roca volcano-sedimentaria (RM-rvs), colinas en roca volcano-sedimentaria (RCL-rvs), valle glaciar (VII-gl), vertiente o piedemonte aluvio-torrencial (P-at), vertiente coluvial de detritos (V-d), terraza aluvial (T-al) y meseta volcânica (M-vl). Las unidades geomorfológicas reconocidas en las áreas de trabajo y a sus alrededores se detallan a continuación:

Meseta volcánica (M-vl)

Desde el punto de vista geomorfológico, corresponde a una zona geográfica plana y elevada formada cuando la lava de las erupciones volcánicas se extiende sobre una gran área formando capas de rocas volcánicas. Las mesetas volcánicas tienen una superficie ligeramente ondulada o plana debido a procesos erosivos. Esta unidad está conformada por rocas volcánicas del Grupo Calipuy y presenta principalmente pendientes suaves (0° - 5°) a medias (5° - 15°), ocasionalmente llegando a alcanzar pendientes fuertes (15° - 25°). Esta unidad geomorfológica se ubica a ~2.5 km al sur del C.P. Astobamba y representa el 10.14 % del área mostrada en el mapa 5.

Colina y Ioma en roca volcano-sedimentaria (RCL-rvs):

Son las formaciones elevadas pero que no sobrepasan los 300 m, constituidas por rocas volcano-sedimentarias del Grupo Calipuy. Las colinas presentan principalmente pendientes medias (5° - 15°), fuertes (15° - 25°) y muy fuertes (25° - 45°). Esta unidad geomorfológica se ubica a ~600 m al oeste del C.P. Astobamba y representa el 3.98 % del área mostrada en el mapa 5.

Montaña en roca volcánica (RM-rv)

Formaciones más elevadas y abruptas, constituídas por materiales volcánicos. Las montañas presentan principalmente pendientes fuertes (15° - 25°) a muy fuertes (25° - 45) y llegando a alcanzar pendientes muy escarpadas (> 45°). Estas montañas pueden presentar cumbres agudas, acantilados y quebradas, y están compuestas por rocas volcano-sedimentarias del Grupo Calípuy. La erosión en estas áreas puede ser intensa, resultando en paisajes escarpados. Esta unidad geomorfológica representa el 61.21 % del área mostrada en el mapa 5.

Arq. Fabibla Hinojosa Figueroa EVALUADOR DE RESGO R.J. N°1008-2020-CENEPREDU

ARNOLD DAVID GARCIA ZAVALETA INGENIERO GEOLOGO EVALUADOR DE RIESGO R.O. Nº011-2024-CEMEPRED/DIFAT



Vertiente o piedemonte aluvio-torrencial (P-at):

Esta unidad geomorfológica combina características de pendientes montañosas (vertientes) o zonas de transición entre montañas y llanuras (piedemontes), formadas o modificadas predominantemente por procesos aluvio-torrenciales, es decir, por la acción de flujos de agua con alta energía que transportan sedimentos. Estas geoformas están representan principalmente por el material situado en el tramo del río Cuchichaca y quebradas. Poseen principalmente pendientes medias (5° - 15°), llegando a alcanzar pendientes fuertes (15° - 25°) en algunos tramos. Esta unidad geomorfológica representa el 1.60 % del área mostrada en el mapa 5

Lianura o planicie aluvial (PI-al)

Esta unidad geomorfológica está conformada por terrenos llanos o ligeramente ondulado formados por la acumulación de sedimentos dando lugar a suelos ricos en nutrientes. Es sobre estos que se desarrolla gran parte de la agricultura existente en la zona. Estas geoformas poseen principalmente pendientes suaves (0° - 5) a medias (5° - 15°) y representa el 17.32 % del área mostrada en el mapa 5.

Terraza aluvial (T-al)

Esta unidad geomorfológica corresponde a una especie de plataforma o escalón plano o ligeramente inclinado ubicado en la margen derecha del río Cuchichaca. La terraza corresponde a una antigua llanura que ha sido elevada y separada del cauce actual del río debido a procesos erosivos. Sobre esta unidad se establece el C.P. de Cajatambo y parte de las zonas agrícolas de la zona. Estas geoformas poseen principalmente pendientes suaves (0° - 5) a medias (5° - 15°) y representa el 5.24 % del área mostrada en el mapa 5.

Vertiente coluvial de detritos (V-d)

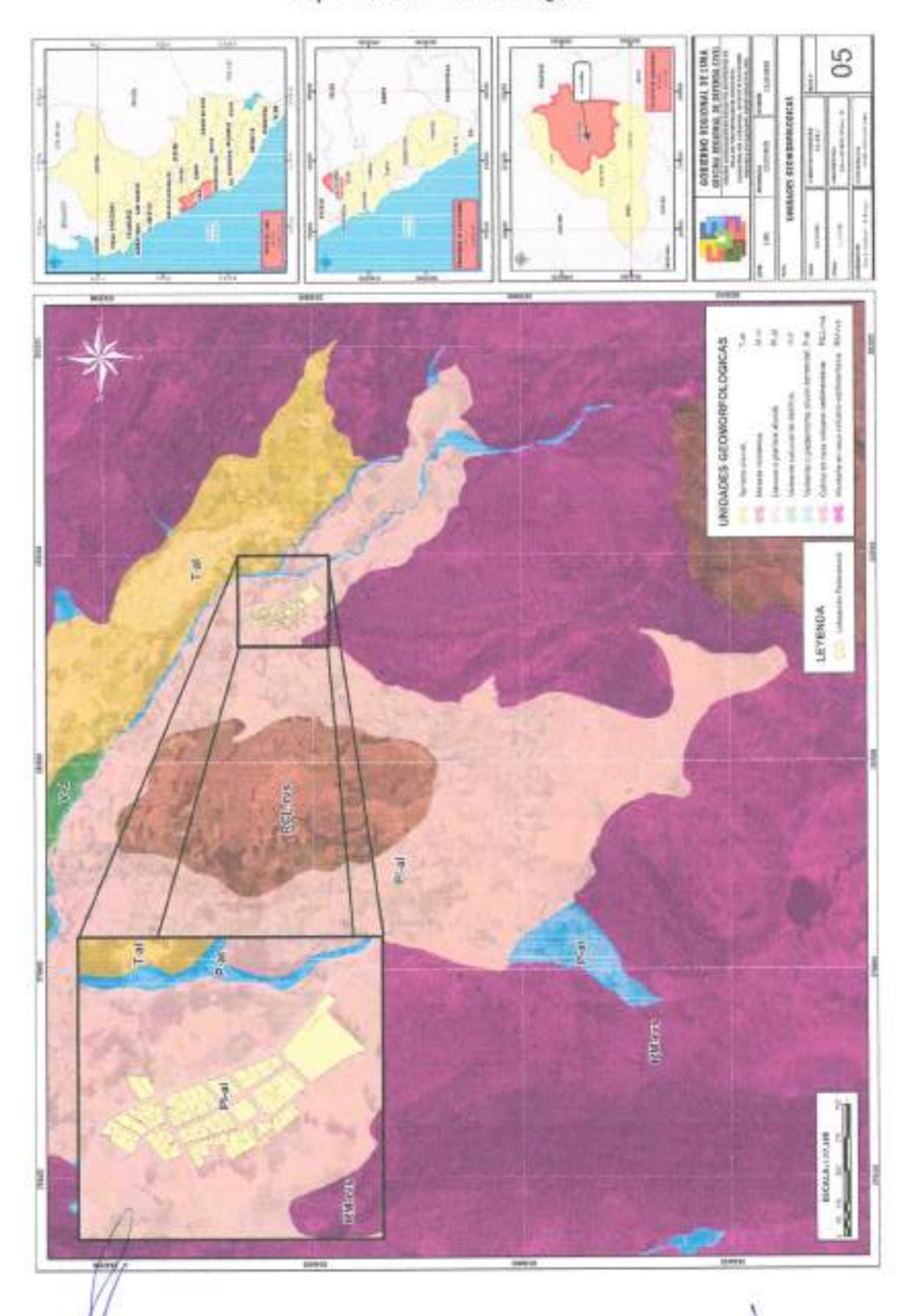
Áreas donde los materiales sueltos, como rocas, arenas y limos, se han acumulado en pendientes debido a procesos de erosión y gravedad. Esta unidad está compuesta por sedimentos no consolidados que pueden ser arrastrados por la acción de la gravedad y de las lluvias. Las vertientes coluviales pueden ser zonas de riesgo para deslizamientos, especialmente durante eventos de lluvias intensas. Las vertientes coluviales de detritos presentan principalmente pendientes muy fuertes (25° - 45°) y representan el 0.35 % del área mostrada en el mapa 5.

Arq. Fabiola Hinojosa Figueroa EVALUADOR DE RIESGO R.J. N° 008-000-CENEPREDU

ARNOLD DAVID GARCIA ZAVALETA INGENIERO GEOLOGO EVALUADOR DE RIESGO R.D. N°011-2024-CENEPRED/DIFAT



Mapa 5: Unidades Geomorfológicas





2.5.3. PENDIENTE

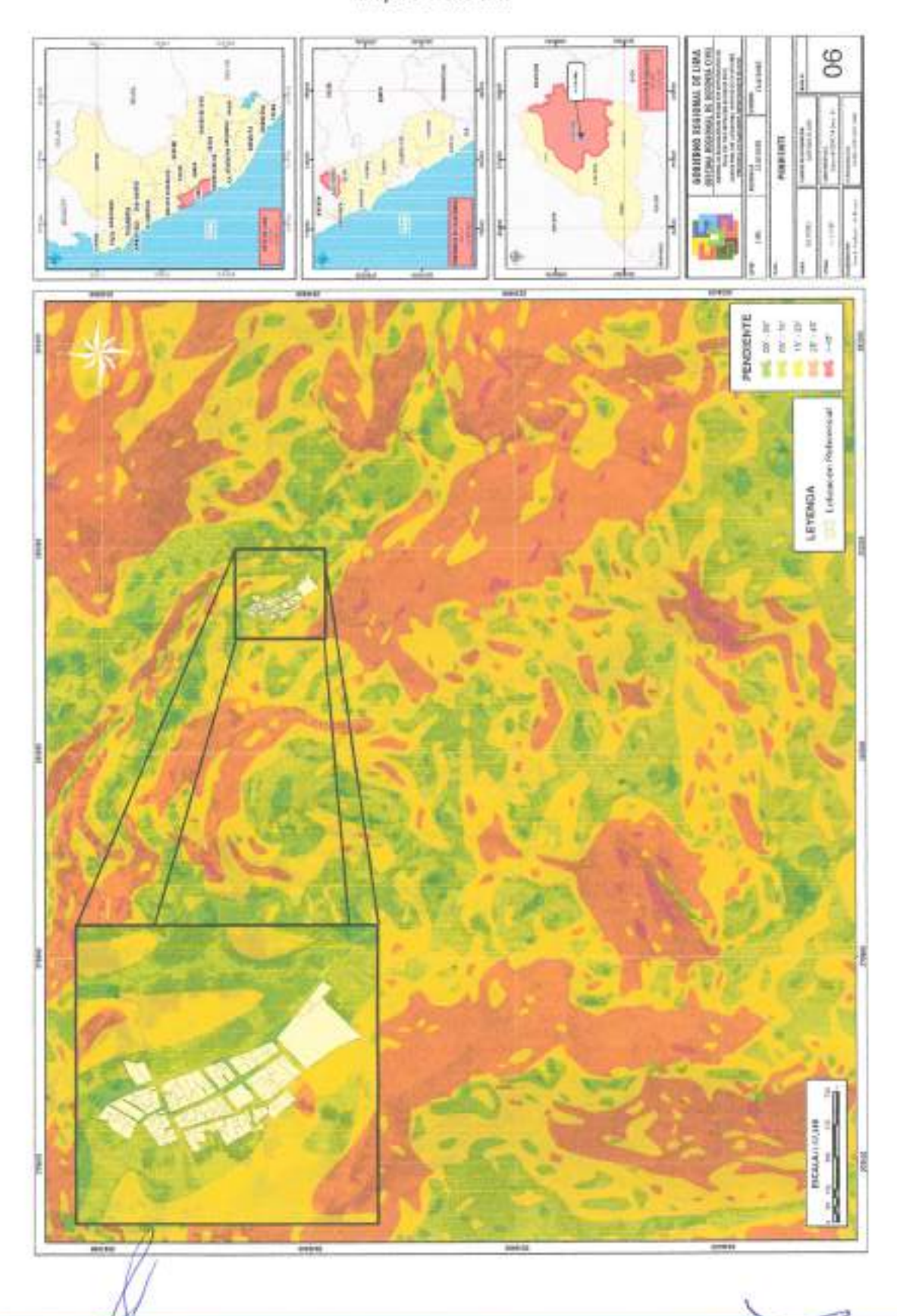
Para determinar la pendiente del terreno, se trabajó con un Modelo Digital de Elevación (DEM) con una resolución de 12.5 metros, cuya información fue obtenida del satélite ALOS por medio de su sensor PALSAR, propiedad de JAXA (Agencia Japonesa de Exploración Aeroespacial), junto con la información obtenida en campo por medio de levantamientos fotogramétricos. Se dispuso que la distribución de la pendiente sea de manera ascendente en 5 rangos tomando en consideración los rangos que utiliza INGEMMET en sus distintos mapas de pendiente.

Cuadro 20: Descripción de la pendiente

PENDIENTE	RANGO	DESCRIPCIÓN
0°-5°	Pendiente Ilano a suave	Áreas de terreno que se extienden en gran parte del centro poblado de Astobamba y sobre las unidades de meseta volcánica, llanura o planicie aluvial, terraza aluvial y parte de las cumbres de las colinas en roca volcano- sedimentária y montañas en roca volcano-sedimentária. Siendo la llanura o planicie aluvial la unidad relacionada al fenómeno de reptación de suelos. Corresponde al 3.03% del área de estudio.
5°-15°	Pendiente moderada	Áreas de terreno que se extienden en gran parte del centro poblado de Astobamba y sobre las unidades de meseta volcánica, llanura o planicie aluvial, terraza aluvial y partes de las cumbres de las colinas en roca volcano- sedimentaria y montañas en roca volcano-sedimentaria. Corresponde al 28.49% del área de estudio.
15"-25"	Pendiente fuerte	Áreas de terreno que en parte se extienden sobre las unidades de meseta volcánica, llanura o planicie aluvial y partes de las colinas en roca volcano-sedimentaria y montañas en roca volcano-sedimentaria. Corresponde al 36.36% del área de estudio.
25°-45°	Pendiente muy fuerte o escarpada	Áreas de terreno que se distribuyen en la zona empinada correspondiente a las vertientes coluvial de detritos, parte de las colinas en roca volcano-sedimentaria y parte de las montañas en roca volcano-sedimentaria, También se encuentra parcialmente en parte de la unidad de meseta volcánica. La fuerte inclinación las hace muy susceptibles a fenómenos de erosión y generación de material detritico por meteorización física, generando así material contribuyente para los depósitos de material cuatemario como terrazas y vertientes de detritos. Corresponde a un 32.40 % de extensión del área de estudio.
> 45°	Pendiente muy escarpada	Áreas de terreno escasas, debido al amplio margen que tienen las cadenas montañosas de roca volcánica que aflora en estos sectores de manera irregular, su principal contribución es como agente erosionado que contribuye de material a los depósitos inferiores y por consiguiente ocupada sus propias laderas con capas coluviales y aluviales que le dan una cobertura heterogénea. Se en el 0.72% de la zona de estudio.



Mapa 6: Pendiente





2.5.4. USO DE SUELO

La evaluación de terrenos según su aptitud para diversos fines se realiza mediante la Clasificación de Tierras por su Capacidad de Uso Mayor. Este sistema agrupa los terrenos en función de su potencial para la agricultura, la ganadería, la conservación ambiental e incluso el desarrollo urbano. La clasificación considera factores como la topografía, el tipo de suelo, la disponibilidad de agua y el clima.

Las tierras de alto potencial presentan condiciones óptimas para el desarrollo agrícola, mientras que aquellas de potencial moderado pueden ser cultivadas, aunque requieren prácticas de manejo adecuadas para evitar la degradación.

Según el Mapa de Capacidad de Uso Mayor de las Tierras del Perú, la zona de estudio presenta áreas con limitado potencial agrícola. Gran parte de la superficie ha sido clasificada como suelo de protección o suelo apto para actividades forestales, debido a restricciones asociadas principalmente al clima y al riesgo de erosión. Estas limitaciones son permanentes y afectan negativamente la calidad agrológica, impidiendo un uso agrícola sostenible que genere márgenes económicos adecuados sin deteriorar el recurso.

Las tierras destinadas a protección son aquellas que, por sus características y ubicación, cumplen una función primordial en la conservación del equilibrio ecológico, la protección de suelos y aguas, así como la seguridad de tierras agrícolas, infraestructuras viales y centros poblados. También garantizan el aprovisionamiento de agua para consumo humano, uso agrícola e industrial, y son consideradas de carácter intangible.

Las observaciones de campo evidenciaron actividades agrícolas y de pastoreo de intensidad moderada en zonas altas, aunque los suelos no presentan vocación agrícola clara, lo cual incrementa el riesgo de erosión.

Respecto al entorno construido, se observaron viviendas adyacentes a terrenos inundables y al canal de regadio. En estas zonas, aunque la profundidad del plano de debilidad no es significativa, sí se identificó un grado considerable de fracturamiento estructural, especialmente en las fachadas de las viviendas.

Arq. Fabiola Hinojosa Figueroa ENALUADOR DE RESGO R.J. Nº 668-3820-CENEPREDU

ARNOLD DAVID GARCIA ZAVALETA INGENIERO GEOLOGO EVALUADOR DE RIESGO R.D. N°011-2024-CENEPRED/DIFAT



Mapa 7: Uso actual de suelos





2.5.5. CONDICIONES CLIMATOLÓGICAS

El Perú posee 38 tipos climas, según el método de Clasificación Climática de Warren Thornthwaite - SENAMHI (2020), como resultado de la interacción entre los diferentes factores climáticos que lo afectan y su posición geográfica en el trópico, a la cordillera de los andes, la cual configura una fisiografía compleja. Entre los climas de mayor extensión tenemos al árido y templado en la costa, lluvioso y frio en la sierra, y muy lluvioso y cálido en la selva.

2.5.5.1. Clima del distrito de Cajatambo

El distrito de Cajatambo se encuentra a una altitud de 3,426 metros sobre el nivel del mar, donde el clima predominante es seco y frío, con temperaturas que oscilan entre los 10°C y 20°C. Durante el verano, se caracteriza por un soleamiento intenso durante el día, mientras que en invierno son frecuentes las lluvias, acompañadas de un alto porcentaje de humedad relativa, estimada en 65% (pudiendo alcanzar hasta 100% en invierno).

En la vertiente centro-occidental de los Andes se ubica el departamento de Lima. Sus condiciones climáticas están determinadas por su cercanía al mar al oeste y la altitud hacia el este, que definen 12 tipos de climas. El clima predominante y que abarca en el centro poblado de Astobamba, es el tipo C(o,i)C'.

La población de Astobamba se ubica en la zona baja de un deslizamiento entre las quebradas Shapil y Sigaan hasta su desembocadura en el Rio Cuchichaca. Los suelos en las partes altas permanecen con humedad por influencia de la laguna Milpoj.

El Clima es de tipo semiseco, frío y con otoño e invierno seco (C(o,i)C'). Ocupa 1% del área nacional y se encuentra en pequeñas áreas de Ancash, Lima, Junín, Huancavelica, Ayacucho, Apurimac, Cusco y Puno.

En verano, el tiempo de esta área está determinado por el controlador meteorológico de la Alta de Bolivia, por el flujo de humedad del este y por factores locales. Mientras que, en el invierno, las DANAs pueden generar precipitaciones sólidas como la nieve; además, también son frecuentes las heladas en esta temporada debido al ingreso de vientos secos del oeste en altura.

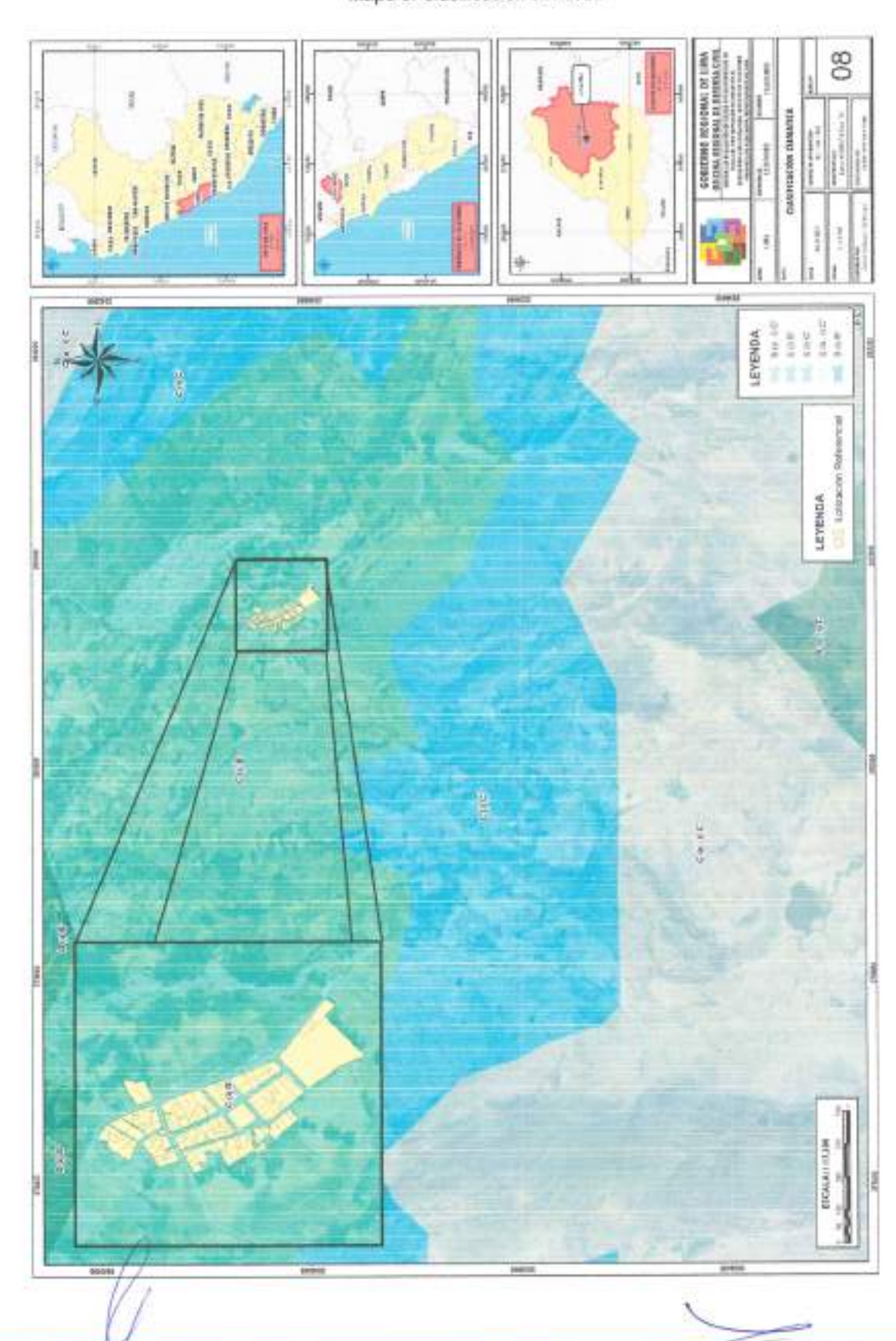
Esta región presenta durante el año, en promedio, temperaturas máximas de 15°C a 19°C y temperaturas mínimas de -1°C a -3°C. Además, los acumulados anuales de lluvias varían de 700 mm a 900 mm aproximadamente.

Arq. Fabiola Hinojosa Figueroa EVALUADOR DE RIESGO R.J. Nº 008-2020-CENEPRED: J

ARNOLD DAVID GARCIA ZAVALETA INGENIERO GEÓLOGO EVALUADOR DE RIESGO R.D. Nº011-2024-CEMEPRED/DIFAT



Mapa 8: Clasificación climática



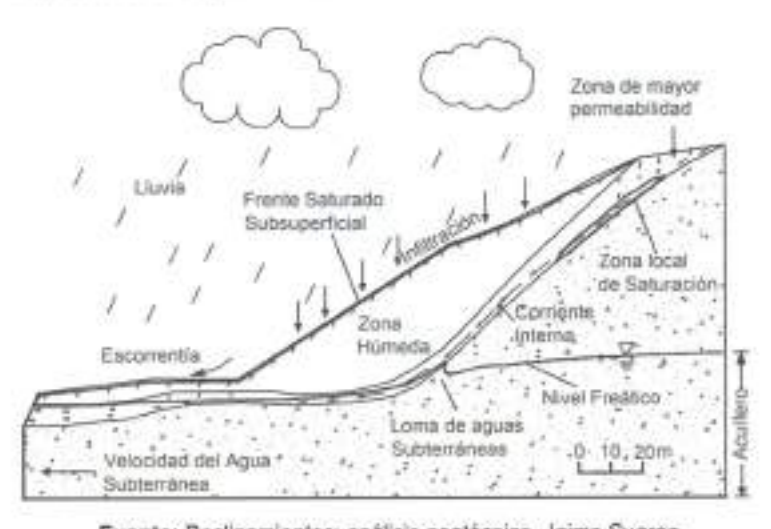


2.5.5.2. LA PRECIPITACIÓN

El clima y en especial la precipitación juegan un papel determinante en la estabilidad de los taludes. La presencia o ausencia de agua y temperatura, definen las condiciones para los procesos de meteorización física y química. De igual manera, las variaciones en el clima afectan los procesos. Los taludes bajo diferentes condiciones climáticas forman perfiles diferentes que se comportan de forma diferente. Las fuerzas que actúan dentro de un talud cambian al modificarse las condiciones ambientales.

Por ejemplo, las anomalías climáticas permiten la ocurrencia de lluvias excepcionales en zonas semiáridas que generan problemas acelerados de deslizamientos.

Figura 4: Las corrientes de agua subterránea y la infiltración, son parámetros hidrogeológicos muy importantes en el proceso de activación de deslizamientos.



Fuente: Destizamientos: análisis geotécnico, Jaime Suarez

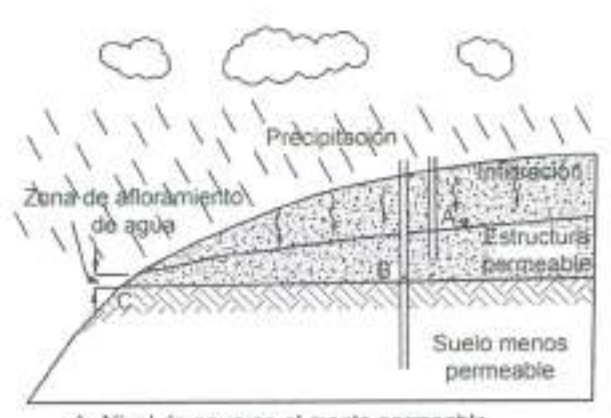
La lluvia, produce modificaciones en la humedad y en la presión de poros lo cual afecta la resistencia del suelo. Comúnmente, la intensidad y la persistencia alta de precipitación, es la causa principal de una gran cantidad de deslizamientos (Cornforth, 2005).

Existe presión de agua en grietas cuando las grietas en la parte superior de un talud se llenan total o parcialmente de agua, la presión de agua hidrostática en la grieta se aumenta en forma relativamente importante, se incrementan los esfuerzos de cortante y se desestabiliza el talud. Si las grietas permanecen llenas de agua un tiempo suficiente para que se produzcan corrientes internas hacia la cara del talud, las presiones de poros en la masa del suelo, aumentan y se produce una situación aún más grave.

Arq. Fabiola Hinojosa Figueroa EVALUAGOR DE RIESGO R.J. Nº 908-2020-CENEPREDU ARNOLD DAVID GARCIA ZAVALETA INGENIERO GEOLOGO EVALUADOR DE RIESGO R.D. N°012-2024-CENEPRED/DIFAT



Figura 5: Formación de niveles freáticos colgados relacionados con la infiltración de las lluvias



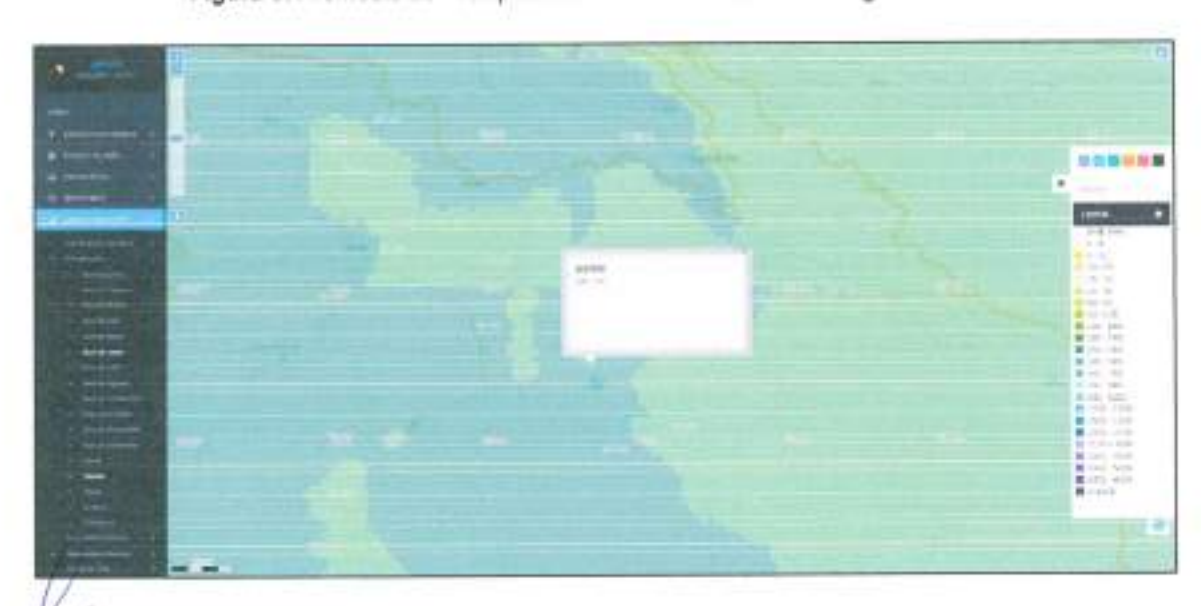
A- Nivel de agua en el manto permeable B- Nivel de agua en el manto impermeable

Fuente: Cornforth, 2005

Condiciones climatológicas

La cabecera receptora conformada por las nacientes de la quebrada Sigaan y la laguna Milpoj tienen importancia capital para el presente estudio. Dentro del análisis espacial de la evolución de las precipitaciones se ha tomado en consideración los factores dominantes que modulan las lluvias en el ámbito regional que incluyen sistemas de circulación atmosférica a escala sinóptica y local, así como factores topográficos, orográficos e hidrográficos locales. La cabecera receptora de la cuenca de la quebrada Sigaan presentan una precipitación en un rango promedio anual de 300 a 500 mm.

Figura 6: Promedio de Precipitación normal en la Quebrada Sigaan

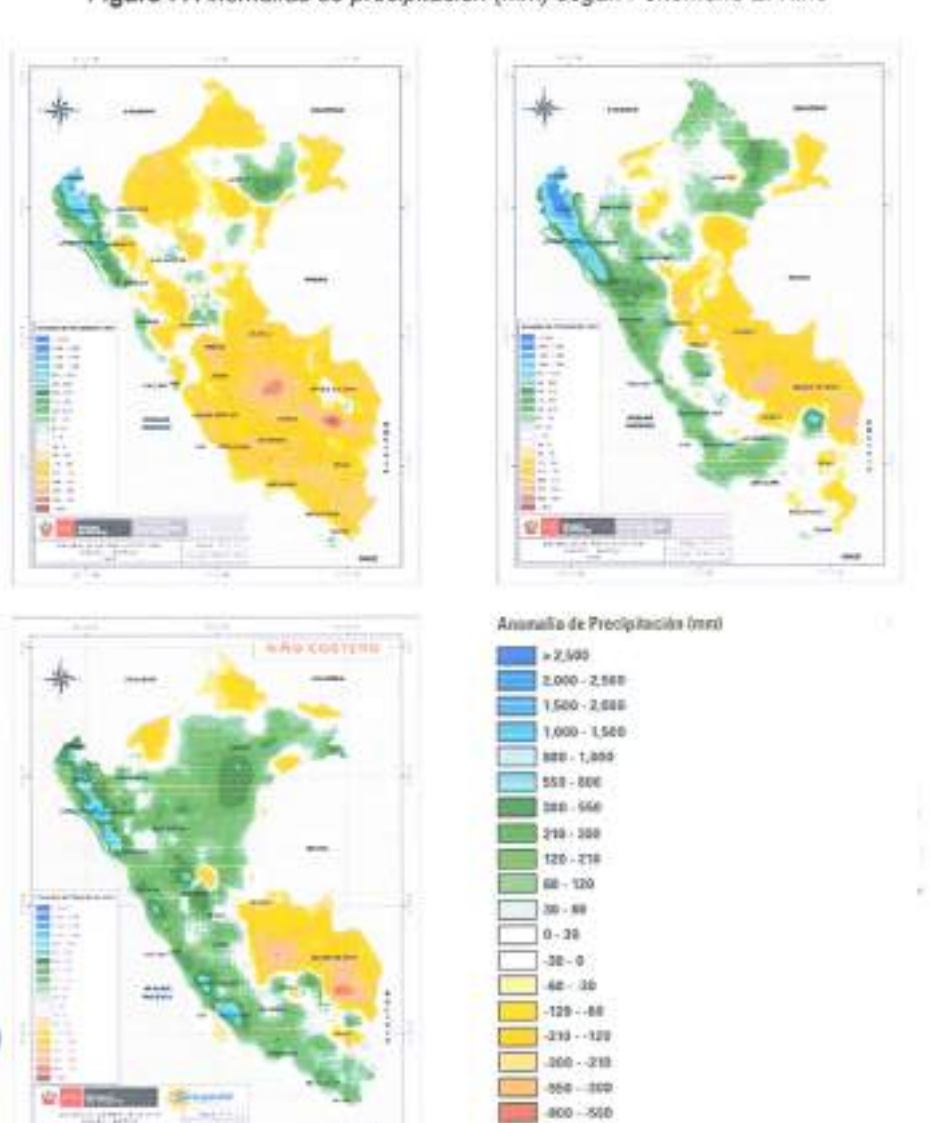


Arq. Fabiola Hinojosa Figueroa EVASUADOR DE RESGO R.J. M¹008-2020-CENEPRED¹J ARNOLD DAVID GARCIA ZAVALETA INGENIERO GEOLOGO EVALUADOR DE RIESGO R.D. N°013-2024-CENEPRED/DIFAT



Condiciones Anómalas

A una escala de tiempo interanual, la variabilidad de las precipitaciones está influenciadas por la presencia del Fenómeno El Niño (Lavado Casimiro y Espinoza, 2014) que está asociado a la interacción entre la atmósfera y el océano en el Pacífico ecuatorial. La dinámica atmosférica asociada a El Niño varía de un evento a otro. Las características del Fenómeno El Niño se manifiesta en reemplazar los parámetros de temperatura oceánicas, reemplazando las condiciones frías por condiciones cálidas, cuyo efecto es el aumento de las temperaturas del aire en la costa, lo cual incide en la ocurrencia de lluvias anómalas en los continentes. Desde 1981 a la fecha se han registrado episodios extraordinarios del Fenómeno El Niño como los ocurridos en los años 1982–1983, el denominado El Niño costero en el 2017 y el Fenómeno El Niño del 2023. Las anomalías de precipitación (mm) calculadas a partir de los datos PISCO se muestran en la llustración 12.



<.000

Figura 7: Anomalias de precipitación (mm) según Fenómeno El Niño



Para el presente análisis se consideraron las anomalías de los mayores acumulados de precipitación registrados en las estaciones de verano en los años 1983 (-30 a 0 mm), 1998 (210-300 mm), 2017 (300-550 mm), 2023 (-120 a -60 mm) y 2024 (30 a -60 mm) registradas en el departamento de Lima, especialmente en la zona de estudio, que fueron elaborados por el Servicio Nacional de Meteorología e Hidrología-SENAMHI1

Figura 8: Acumulados de precipitaciones de febrero, marzo y abril en 1983

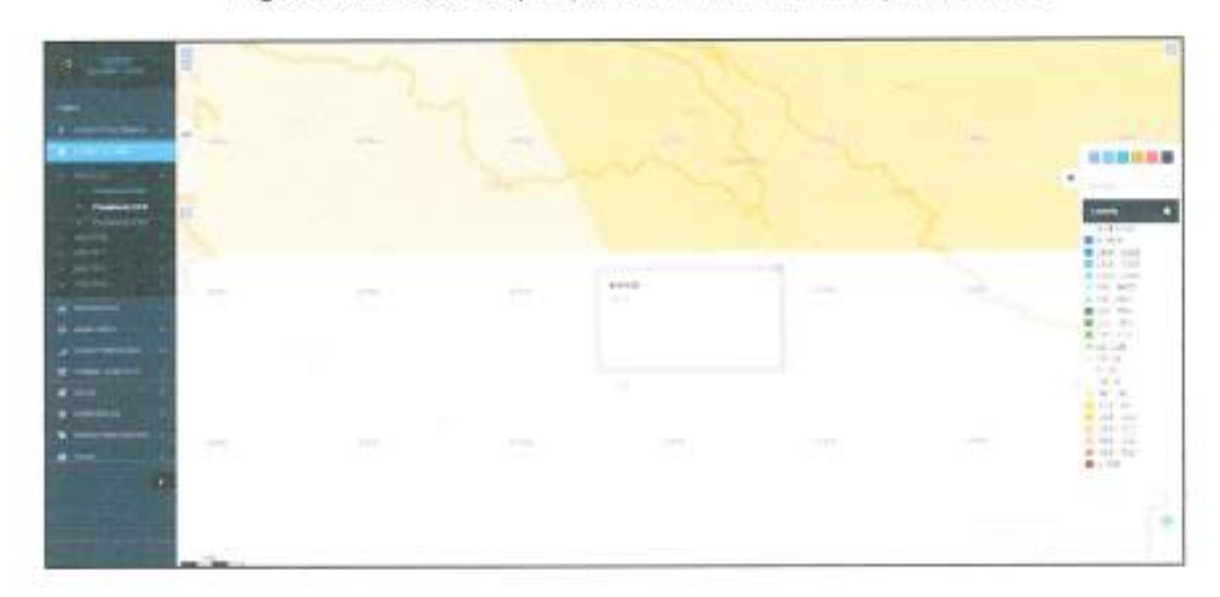
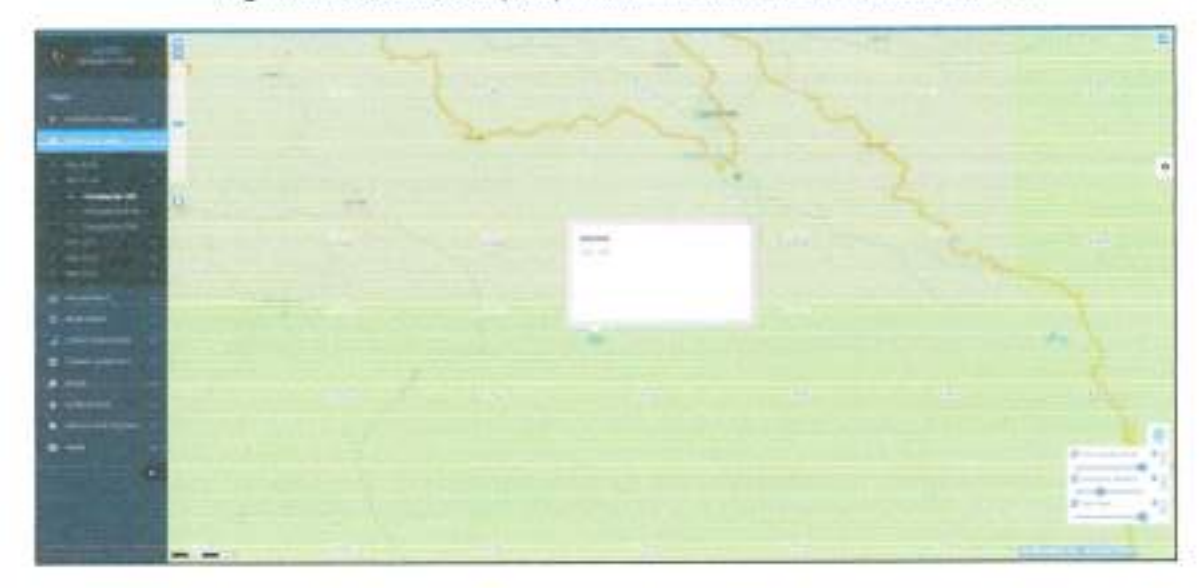


Figura 9: Acumulados de precipitaciones de enero, febrero y marzo en 1998



¹Infraestructura de datos espaciales del servicio nacional de meteorologia e hidrologia del Perú - IDESEP SENAMHI.

Arq. Fablola Hinojosa Figueroa ENALUADOR DE RIESGÓ R.J. Nº 608-2020-CENEPREDU ARNOLD DAVID GARCIA ZAVALETA INGENIERO GEOLOGO EVALUADOR DE RIESGO R.D. N°011-2024-CENEPRED/DIFAT



Figura 10: Acumulados de precipitaciones de enero, febrero y marzo en 2017

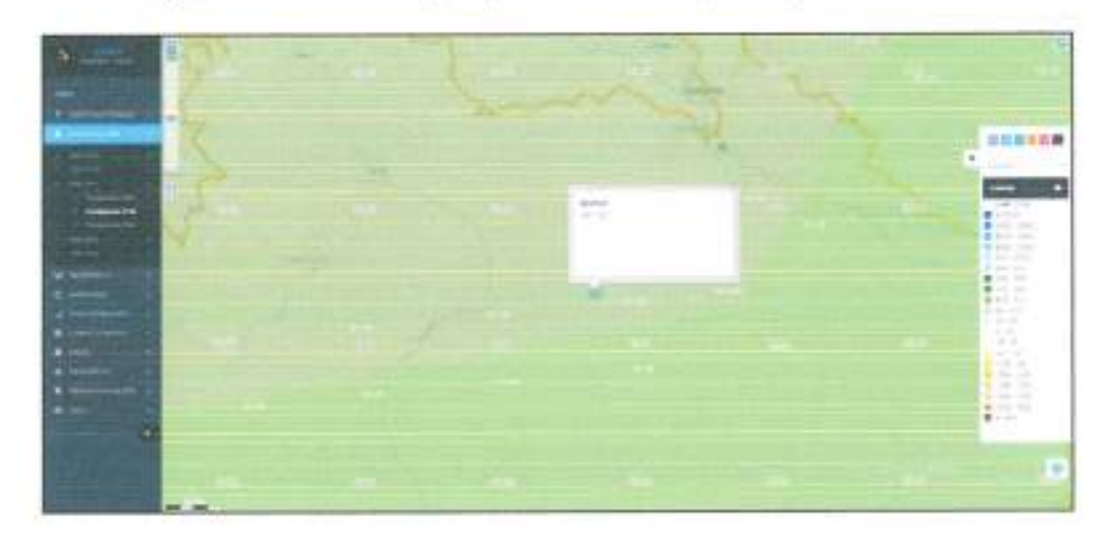


Figura 11: Acumulados de precipitaciones de enero, febrero y marzo en 2023

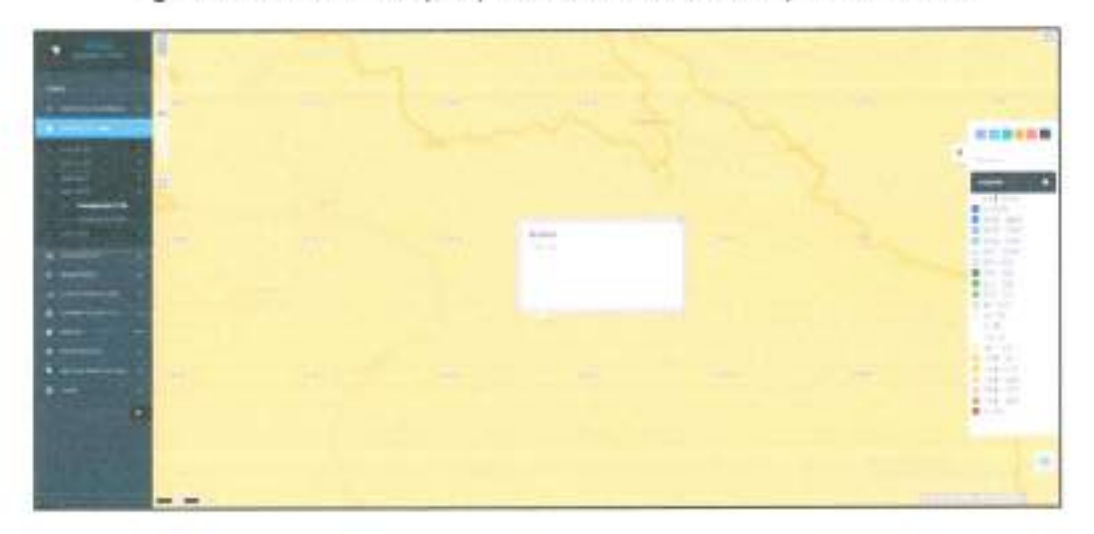


Figura 12: Acumulados de precipitaciones de enero, febrero y marzo en 2024



Arq. Fabiola Hinojosa Figueroa EVALUADOR DE RIESGO R.J. Nº 008-2020-CENEPREDIJ ARNOLD DAVID GARCIA ZAVALETA INGENIERO GLOLOGO EVALUADOR DE RIESGO R.D. Nº011-2024-CENEPRED/DIFAT

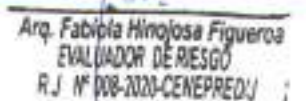


Proyecciones de precipitación al 2030 y 2050

Las proyecciones de precipitación en la zona de estudio, resultado de los estudios del SENAMHI proporcionan los cambios de precipitación media anual a nivel nacional proyectada hacia el periodo 2025-2035², respecto a la linea base 1983-2003. Así, para el área de estudio se estima una reducción porcentual entre -20 y -10 puntos porcentuales. Esta probable reducción no afectaria las probables anomalías de precipitación que suscitarian en los Fenómenos El Niño que se presenten.

Las proyecciones de precipitación acumulada anual y estacional correspondiente a los acumulados trimestrales por cada estación climática: Verano (Diciembre-Enero-Febrero), Otoño (Marzo-Abril-Mayo), Invierno (Junio-Julio-Agosto) y Primavera (Setiembre-Octubre-Noviembre); en unidades de medida porcentual proyectada hacia el periodo 2036-2065 (centrado al 2050), a nivel Nacional; respecto al periodo de referencia 1981-2005³, indican que para la zona de estudio se presenta una probable reducción porcentual entre -15 y 0 puntos porcentuales. Esta probable reducción no afectaría las probables anomalías de precipitación que suscitarían en los Fenómenos El Niño que se presenten.

⁵ Estos cambios hén sido obtenidos promediendo datos provenientes de la reducción de escala dinámica utilizardo el modelo climático regional. Weather Research and Forecasting (WRF) teniendo como forzantes los datos de los modelos climáticos globales del CMIP5: ACCESS1-0, HadGEM2-ES / MPJ-ESM-LR para el escenario de emisión RCP 8.5, y complementada con una interpolación geoestadistica a 5 km.



55

² Estos cambios son obtenidos mediente regionalización dinámica, usando el modelo regional RAMS forzado con el modelo global CCSM bajo el escenario de altas emisiones de gases de efecto invernadero.



CAPITULO III - DETERMINACIÓN DEL PELIGRO

3.1. METODOLOGÍA

Para determinar los niveles de peligro por movimiento de masas del tipo reptación en el centro poblado Astobamba, distrito de Cajatambo, provincia de Cajatambo, departamento de Lima, se utilizará la metodología propuesta por CENEPRED en el "Manual para la evaluación de riesgos originados por fenómenos naturales – versión 02".

CARACTERIZACIÓN DEL PELIGRO RECOPHACIÓN DE INFORMACIÓN PRIMARIA Elaboración de la situación de la rona de estudio RECOPILACIÓN DE INFORMACIÓN SECUNDARIA SUSCEPTIBILIDAD FACTORES Anomalia de DESENCADENANTES Precipitación Unidades Geológicas FACTORES NIVELES DE Unidades Geomorfológicas CONDICIONANTES PELIGRO Pendiente Usos actual de suelos Mapa del nivel PARÁMETRO DE EVALUACIÓN DEL do seliero Valumen de Caracteristica Característica desplazamiento temporal espacial

Gráfico 18: Metodologia para determinar el Nivel de Peligrosidad

Fuente: Equipo Técnico en base al Manual para la Evaluación de Riesgos originados por Fenómenos Naturales del CENEPRED (2da versión)

3.2. RECOPILACIÓN Y ANÁLISIS DE INFORMACIÓN

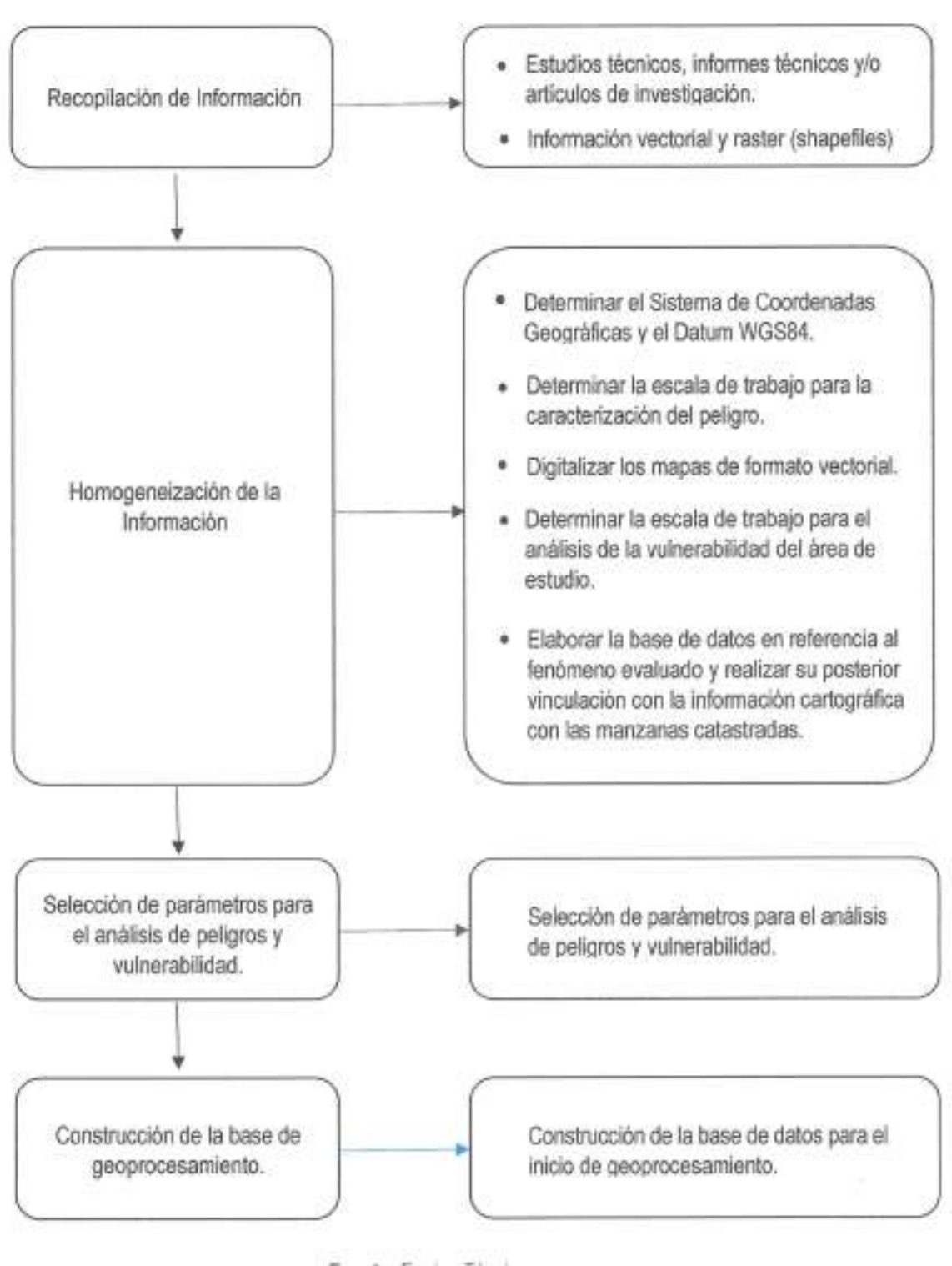
Para la presente evaluación de peligros se ha realizado la recopilación de información disponible: Estudios publicados por entidades técnico científicas competentes como INGEMMET, IGP, CISMID, SENAMHI, INEI, información histórica, estudio de peligros, cartografía, topografía, climatología, estudio de tipo de suelos, además de información primaria en base al trabajo de campo realizado y el sobrevuelo de drone.

Arg. Fabiola Hinojosa Figueroa EVALUADOR DE RIESGO R.J. Nº DOS-2020-CENEPREDIJ

ARNOLD DAVID GARCIA ZAVALETA INGENIERO GEÓLOGO EVALUADOR DE RIESGO R.O. N'011-2024-CENEPRED/DIFAT



Gráfico 19: Flujograma general de procesos de análisis de información



Fuente: Equipo Técnico

Arg. Fablola Hingjosa Figueroa EVALUADOR DE RESGO R.J. N° 008-2020-CENEPREDU

ARNOLD DAVID GARCIA ZAVALETA INGENIERO GEÓLOGO EVALUADOS DE RIESGO R.D. N°011-2024-CENEPRED/DIFAT



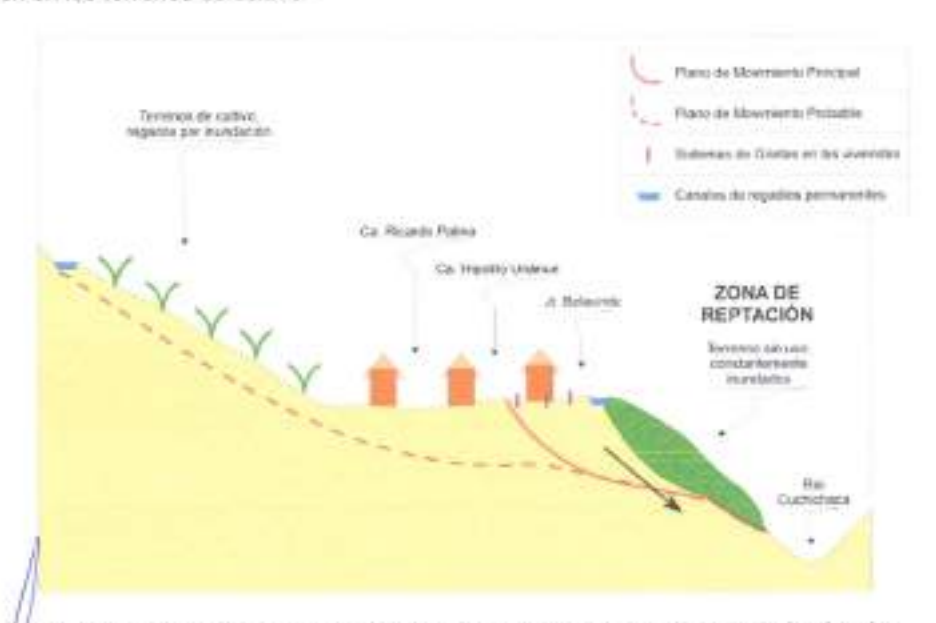
3.3. IDENTIFICACIÓN DEL PELIGRO

El Centro Poblado de Astobamba, ubicado en el distrito de Cajatambo, presenta de manera recurrente daños estructurales en sus viviendas, ocasionados por procesos de movimiento lento del suelo, específicamente el fenómeno conocido como reptación de suelos. Este tipo de movimiento en masa se caracteriza por el desplazamiento progresivo y casi imperceptible de capas superficiales de suelo, desde las zonas altas hacia las laderas bajas, impulsado por la saturación hídrica, la inclinación del terreno y la interacción de factores naturales y antrópicos.

La reptación de suelos puede evolucionar hacia procesos más severos como la solifluxión, siendo común en regiones con condiciones periglaciares, como la zona de estudio, donde existen variaciones térmicas acentuadas, humedad permanente, y suelos compuestos por materiales finos, rocas fracturadas y pendientes pronunciadas. Estas condiciones contribuyen a una mayor inestabilidad del terreno, especialmente en temporadas de lluvias intensas.

Diversos estudios realizados por el Instituto Geológico, Minero y Metalúrgico (INGEMMET) desde el año 2008 han confirmado la alta susceptibilidad de Astobamba a este tipo de fenómenos. En su informe técnico "Evaluación de peligros geológicos en el anexo de Astobamba" (2008), se identifica como principal factor detonante la inadecuada gestión del agua de riego, especialmente en los terrenos colindantes al Jr. Belaunde, donde los suelos son constantemente inundados por un canal de regadio de flujo permanente, lo que favorece la infiltración y saturación del terreno.

Figura 13: Perfil del centro poblado de Astobamba, en lineas moradas se muestran los sistemas de grietas, en linea roja continua el plano de debilidad activado por la reptación (representada en color verde), en linea roja entrecortada se aprecia un posible plano de debilidad activado por la infiltración de agua del riego por inundación en los terrenos de cultivo.



Fuente: INGEMMET (2008). Evaluación de peligros geológicos en el anexo de Astobamba.

Arq. Fabiole Himojosa Figueroa ENALUADOR DE RESGO R.J. Nº 008-2020-CENEPREDIJ

ARNOLD DAVID GANCIA ZAVALETA INGENIERO GEOLOGO EVALUADOR DE RIESGO R.D. N°011-2024-CENEPRED/DIFAT



Posteriormente, el informe técnico N.º A6589 titulado "Deslizamiento – Flujo de tierra en la Comunidad Campesina Astobamba" (INGEMMET, 2012) reveló un incremento superior al 80 % en las viviendas afectadas desde el estudio anterior, así como la aparición de nuevas grietas en la calle Ricardo Palma y asentamientos de hasta 1 metro en la parte inferior del área afectada, confirmando la expansión y agravamiento del fenómeno.

Causas del peligro identificado

Causas naturales:

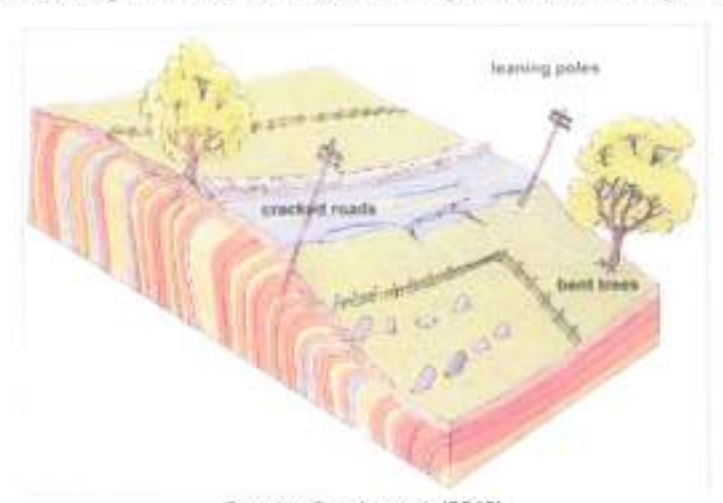
- Altas precipitaciones estacionales y eventos extraordinarios de lluvia.
- Alta permeabilidad de los suelos.
- Estructura geológica subyacente compuesta por materiales poco consolidados y fracturados.
- Geomorfología accidentada, con pendientes escarpadas.

Causas antrópicas:

- Manejo inadecuado de aguas de riego, mediante canales sin revestimiento que generan infiltración constante.
- Sobrepastoreo en las inmediaciones de la laguna Milpoj, que afecta negativamente a los ecosistemas de bofedales, reduciendo su capacidad de regulación hídrica y de riesgo ambiental.
- Ocupación y uso inadecuado del suelo, con transformación de terrenos con vocación forestal en áreas de cultivo ubicadas en laderas inestables.

Estas condiciones combinadas provocan una constante activación del fenómeno de reptación, especialmente en épocas de lluvia intensa o eventos hidrometeorológicos extremos como el Fenómeno El Niño, generando impactos severos en la infraestructura urbana, medios de vida y seguridad de la población local.

Figura 14: Caso de reptación de suelos, nótese la disposición de troncos y arboles.



Fuente: Gastón et al. (2018).

Arq. Fabiola Hinojosa Figueroa EVALUADOR DE RESGO R.J. Nº 088-2020 CENEPRED: J

ARNOLD DAVID GARCIA ZAVALETA INGENIERO GEOLOGO EVALUADOR DE RIESGO R.D. N°011-2024 CENEPRED/DIFAT



Foto 6: Vista de la zona baja y media del área de estudio

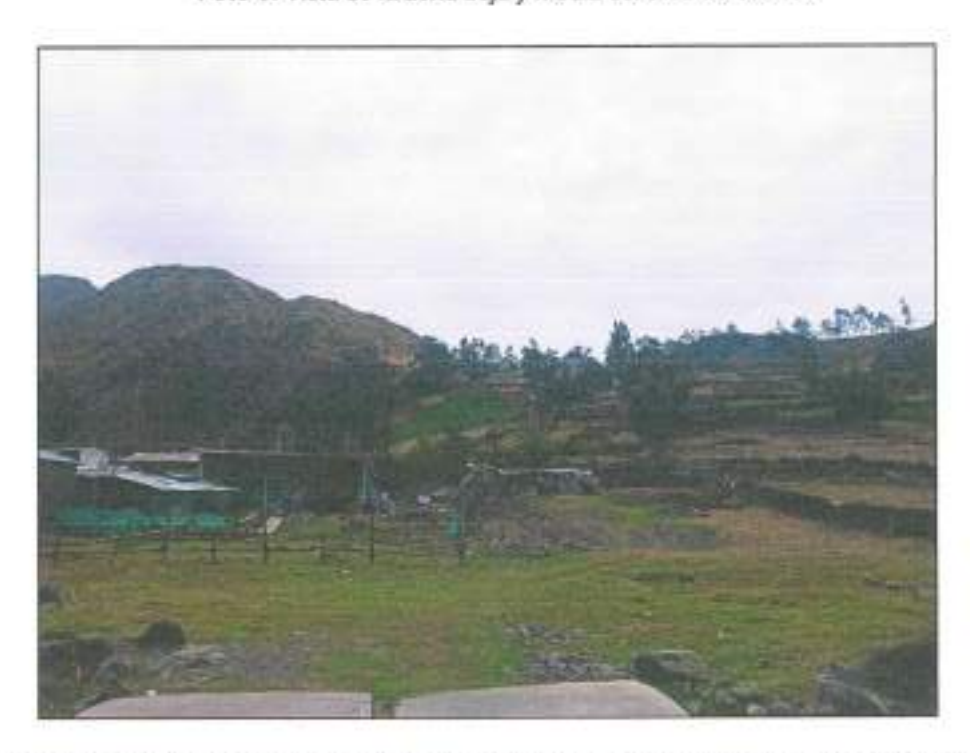
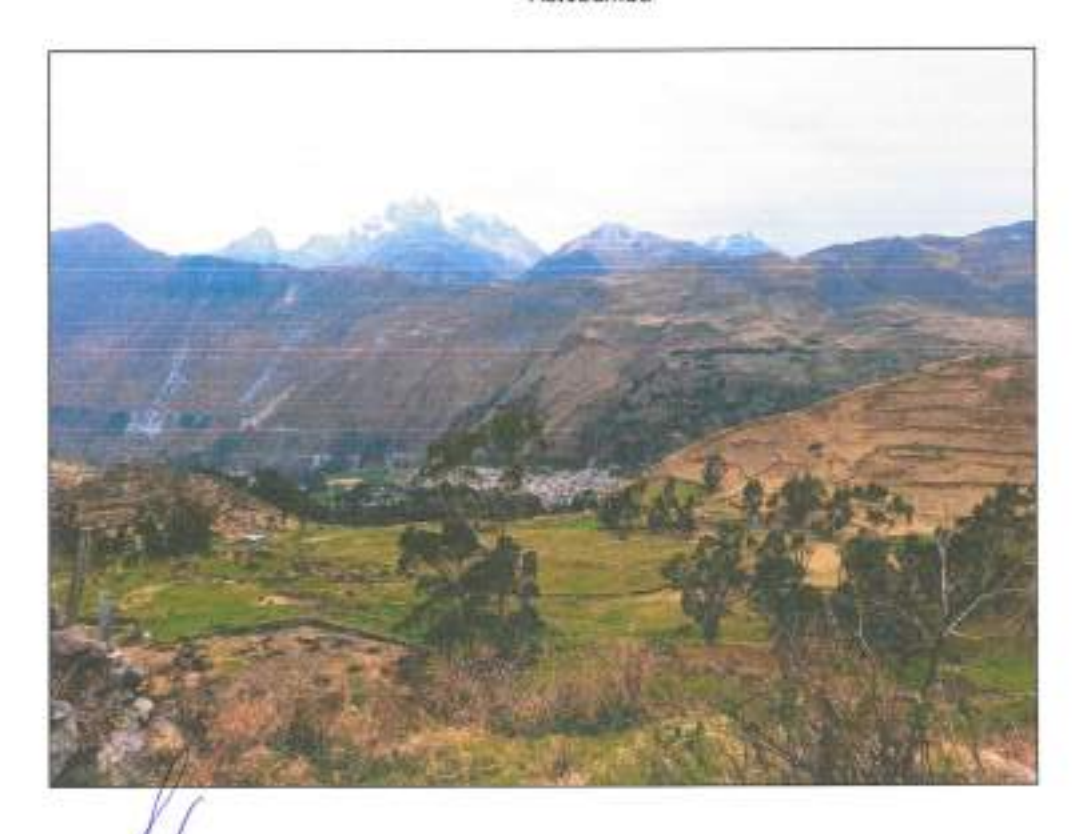


Foto 7: Vista panorámica donde se observa las viviendas y los terrenos agricolas del centro poblado Astobamba



Arq. Fabiola Hinojosa Figueroa EVALUADOR DE RIESGO R.J. Nº 108-2020-CENEPREDUJ



Foto 8: Identificación del área de estudio, evidenciando el pozo de agua y canales con revestimiento y sin revestimiento.



Foto 9: La laguna Milpoj



Arg. Fabiola Hinojosa Figueroa EVALUADOR DE RIESGO R.J. Nº 688-2020-CENEPREDIJ. ;

ARNOLD DAVID GARCIA ZAVALETA INGENIERO GEOLOGO EVALUADOR DE RIESGO R.D. N°011-2024-CENEPRED/OIFAT



Foto 10: visualización de cárcavas que muestra la erosión hidrica concentrada en la superficie del terreno, caracterizada por surcos profundos e irregulares causados por el escurrimiento superficial no controlado.

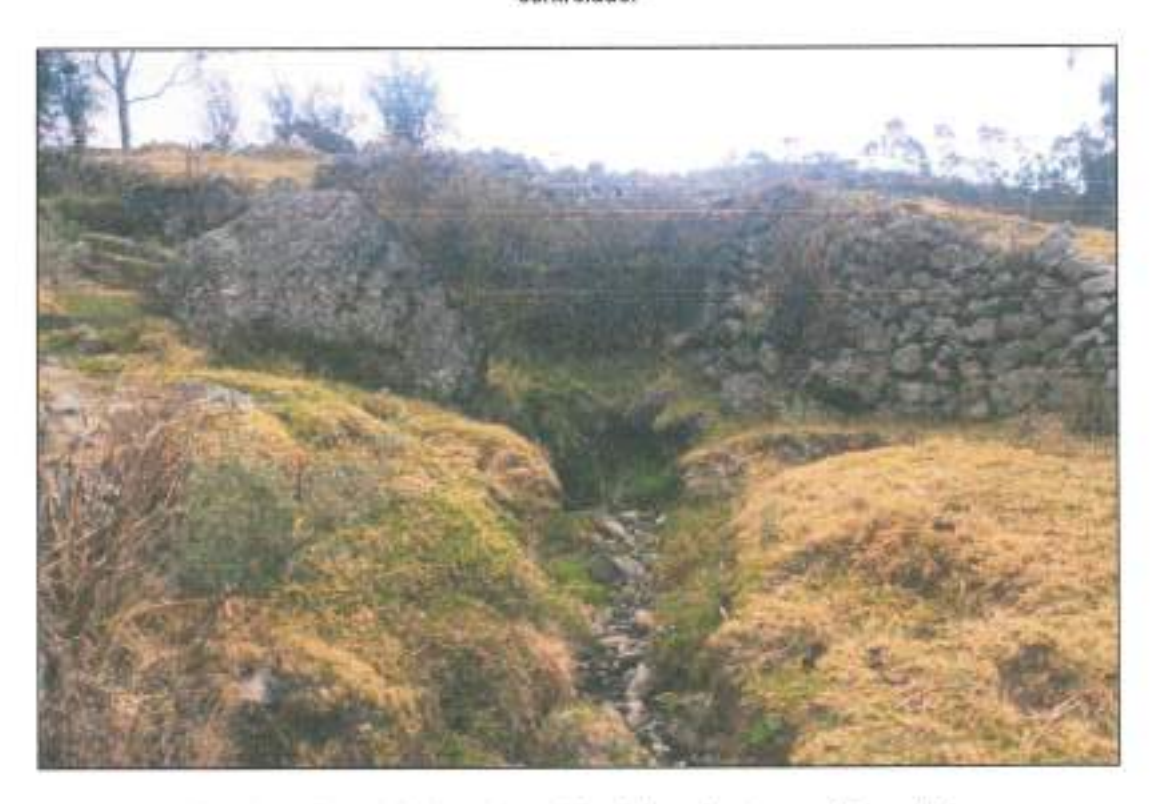


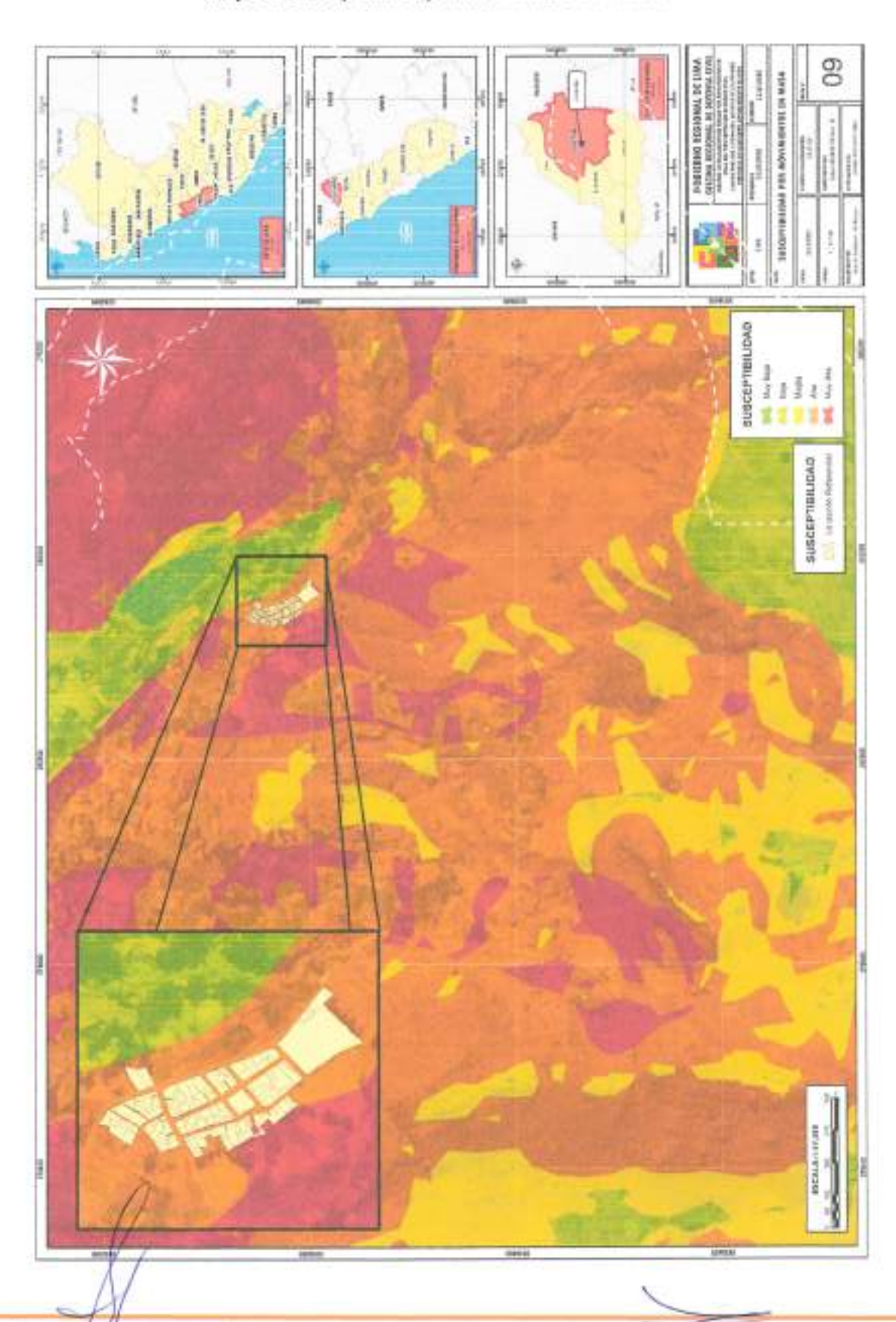
Figura 15: Reptación de suelos evidenciado en los troncos de los arboles



Fuente: DRAL (2024). Estudio de Geología y Geotecnia.



Mapa 9: Susceptibilidad por movimientos de masas



Arq. Fabiola Hinojosa Figueroa EVALUADOR DE RIESGO R.J. Nº 008-2020-CENEPREDU ;

ARNOLD DAVID GARCIA ZAVALETA INGENIERO GEÓLOGO EVALUADOR DE RIESGO R.D. N°011-2024-CENEPRED/OFFAT



3.4. CARACTERIZACIÓN DEL PELIGRO

La ocurrencia de procesos de movimientos en masa es común en las vertientes y valles de la cordillera andina. Estos procesos geodinámicos pueden perdurar en el tiempo y comportarse aparentemente en forma estable. Sin embargo, indicios de carácter geológico y geomorfológico muestran que estos eventos se encuentran en real movimiento de forma natural, a veces imperceptibles. Estos eventos suelen ser incentivados o detonados por agentes externos de carácter natural como lluvias y sismos o acciones del hombre (antrópico) como puede ser por la modificación de taludes, riego inadecuado, etc. (Zavala, 2008).

Movimientos en masa

Es el movimiento del suelo, roca y escombro, que se presentan cuesta abajo debido a la fuerza de gravedad. Este fenómeno natural, se desencadena por una serie de factores, entre los cuales tenemos al agua como uno de los principales mecanismos de acción el cual puede aumentar o disminuir la estabilidad del suelo controlando el proceso de erosión. Los tipos de movimiento de masa, ocurren según el tipo de masa, el tipo de movimiento y el tipo de efecto que generan en una región. Por lo tanto, su clasificación está de acuerdo con la velocidad y la fuerza del proceso que van desde deslizamiento demasiado lentos hasta muy rápidos y dramáticos. (Balasuramanian, 2011).

Los movimientos en masas, se originan por la acción desencadenante de la lluvia, los terremotos o el deshielo rápido (Keefer, 1984; Guzzetti et al., 2002; Malamud et al., 2004a, b; Tiranti et al., 2013) los cuales dependen básicamente de la topografía, la litología, la estructura geológica, el contenido de humedad del suelo y en muchos casos de la influencia antrópica (Crozier, 1999; Glade et al., 2000; Saito et al., 2017). Conceptualmente los movimientos en masa se dividen en: caldas, vuelcos, deslizamientos, flujos, propagaciones laterales, reptaciones; se describe además cierto tipo de deformaciones gravitacionales profundas.

El desencadenante más común es la lluvia (Thilanki, 2018; Polemio, 2000; Ray, 2007).
Los movimientos de masa generados por la presencia de lluvias se presentan en suelos
residuales con pendientes, los cuales se estabilizan naturalmente por una presión
negativa del agua en los poros. La infiltración del agua de lluvia, origina un aumento del
contenido de humedad en el suelo, lo que provoca una disminución de la tensión efectiva,
la resistencia al cizallamiento y aumento del peso del suelo, causando inestabilidad en la
pendiente (Dahigamuwa, 2017). Sobre la base de lo expresado, podemos decir que
conocer el contenido de la humedad del suelo, nos ayudaria a tener un predictor para
evaluar los peligros por deslizamiento, lo que nos llevaria a mejorar aún más la precisión
con los datos de la fuente de la humedad; sin embargo, para Ray (2007) y Brocca (2012)
la medición de la humedad del suelo es una tarea con gran dificultad por las cantidad de
requisitos que debe cumplir el equipamiento a utilizar y la falta de fiabilidad en las lecturas
de/los instrumentos.

Arq. Fabiola Hinojosa Figueroa EVALUNDOR DE RIESGO R.J. N° 008-2020-CENEPREDU ;

ARNOLD DAVID GARCIA ZAVALETA INGENIERO GEOLOGO EVALUADOR DE RIESGO R.D. N'011-2024-CENEPRED/DIFAT



Reptación de suelos

La reptación, conocida como "creep," es un movimiento extremadamente lento y gradual del suelo superficial, que ocurre principalmente en las laderas de pendientes bajas o medias. Este fenómeno, que afecta tanto la estabilidad del terreno como sus características físicas, se desencadena por la combinación de varios factores interrelacionados: la acción de la gravedad, la presencia de agua, las variaciones térmicas y los ciclos climáticos. Además, las prácticas humanas como el sobrepastoreo y el mal manejo del riego pueden intensificar este proceso.

Suelo Pi

Figura 16: Esquema de un proceso de reptación

Fuente: Deslizamientos: análisis geotécnico, Jaime Suarez

El movimiento se da en capas superiores del suelo, donde la presencia de agua juega un papel fundamental. La infiltración de agua en el suelo actúa como lubricante, además de incrementar el peso del terreno. A medida que las condiciones de humedad varian, la arcilla, un material particularmente sensible, se transforma en lodo, modificando su densidad y volumen, y causando un desplazamiento en pendiente. Las partículas del suelo tienden a moverse de manera perpendicular a la pendiente en procesos de congelación y deshielo, así como humectación y sequedad.

La reptación también involucra alteraciones por la actividad de los seres vivos, como las raíces de las plantas y el paso de animales. El ganado mayor compacta el suelo horizontalmente y contribuyen a la erosión y al aumento de la reptación durante lluvias intensas. En climas frios, los ciclos de hielo-deshielo intensifican este proceso, especialmente cuando se forman agujas de hielo que desplazan pequeñas particulas al derretirse.

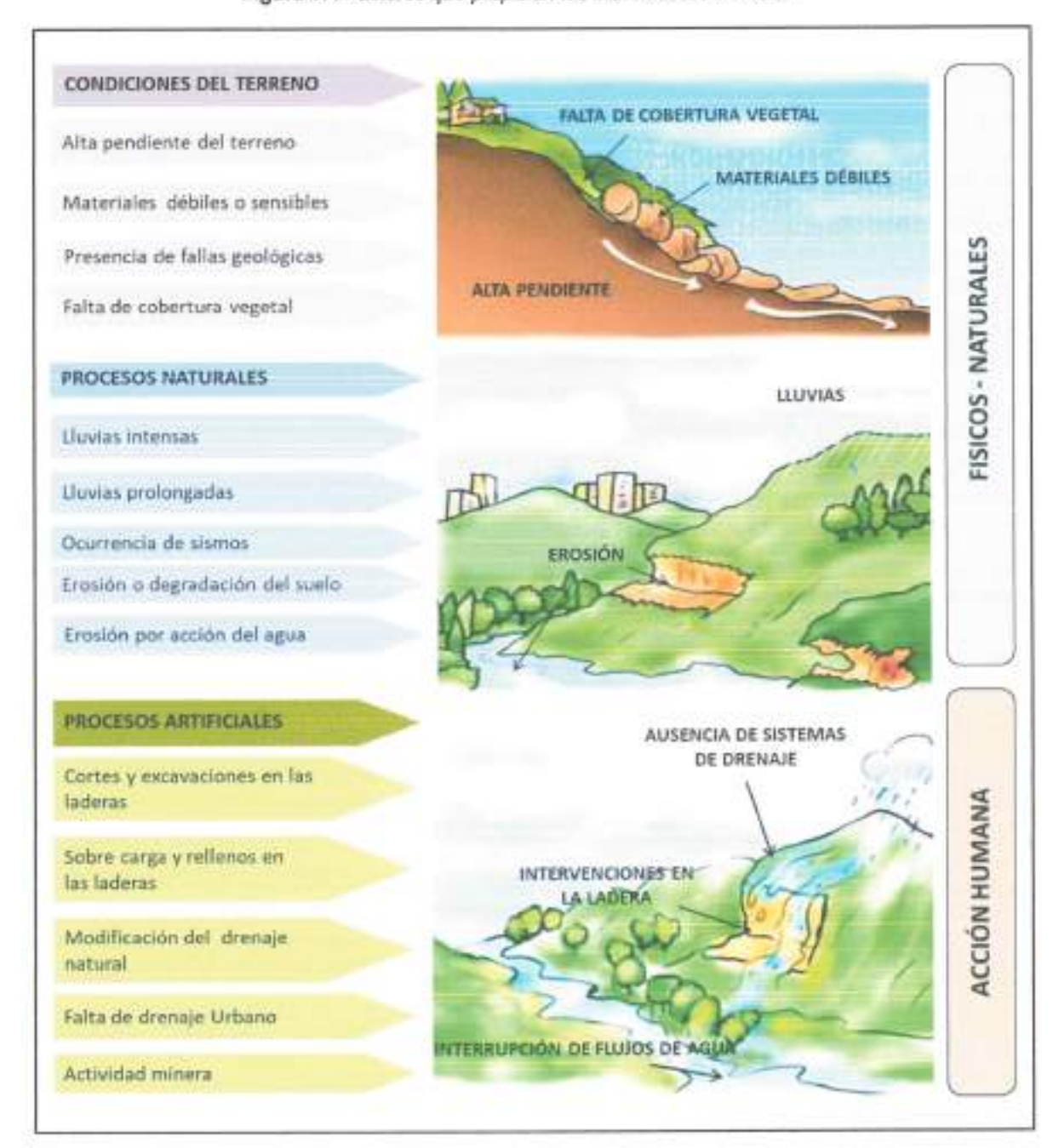
Este movimiento del suelo genera ondulaciones superficiales en forma de terracillas, las cuales son indicadores de una posible inestabilidad futura más severa, como deslizamientos rápidos o flujos. Aunque la velocidad de desplazamiento anual suele ser de pocos centímetros, los efectos acumulativos abarcan grandes áreas de terreno y pueden afectar la seguridad y el uso de esas zonas. La reptación, por su lentitud, es dificil de detectar en etapas iniciales, pero sus consecuencias pueden ser significativas, especialmente en terrenos arcillosos o blandos con características expansivas.

Arq. Fabiole Hinojosa Figueroa EVALUADOR DE RIESGO R.J. Nº JOS-2020-CENEPREDUJ

ARNOLD DAVID GARCIA ZAVALETA INGENIERO GEOLOGO EVALUADOR DE RIESGO R.D. N°011-2024-CENEPRED/DEAT



Figura 17: Factores que propician los movimientos en masa



Arq. Fabiqla Hinojosa Figueroa EVALDADOR DE RIESGO R.J. Nº 068-2020-CENEPREDU

ARNOLD DAVID GARCIA ZAVALETA INGENIERO GEÓLOGO EVALUADOR DE RIESGO R.D. N°011-2024-CENEPRED/DIFAT



3.5. SUSCEPTIBILIDAD DEL TERRITORIO

La susceptibilidad está referida a la mayor o menor predisposición de que un evento suceda u ocurra sobre un determinado ámbito geográfico, en este caso de acuerdo al análisis, para el área geográfica en evaluación, se determinó la susceptibilidad en base a los factores condicionantes (unidades geológicas, unidades geomorfológicas, pendiente uso de suelo del territorio) y el factor desencadenante en este caso las anomalías de precipitación:

Para la evaluación de la susceptibilidad del área de estudio se consideraron los siguientes factores:

Cuadro 21: Factores de la Susceptibilidad

	Factor Desencadenante			
Unidades	Unidades	Pendlente	Uso actual	Anomalia de
geológicas	geomorfológicas		del Suelo	Precipitación

La metodología utilizada tanto para la evaluación del peligro como para el análisis de la vulnerabilidad, es el procedimiento de Análisis Jerárquico mencionada en el Manual para la Evaluación de Riesgos originados por Fenómenos Naturales, 2da versión. (CENEPRED 2014)

A continuación, se desarrolla la matriz de comparación de pares, la matriz de normalización, indice de consistencias y los pesos ponderados de cada descriptor. Para el proceso de cálculo de los pesos ponderados se utiliza la tabla desarrollada por Saaty.

3.5.1. FACTOR DESENCADENANTE

Precipitación: Es el volumen o altura de agua lluvia que cae sobre un área en un periodo de tiempo, la cual tiene una influencia directa en la infiltración y en el régimen del agua subterránea, y a su vez afecta la estabilidad de taludes o laderas.

Para el presente análisis se consideró la anomalía de precipitación del fenómeno del niño del 2017, registradas en la zona de estudio, que fue elaborado por el Servicio Nacional de Meteorología e Hidrología-SENAMHI.

Cuadro 22: Factor desencadenante

// DESENCADENANTE	Peso Ponderado
Anomalía de Precipitación	1.000

Fuente: Equipo Técnico

Arq. Fabiola Hinojosa Figueroa EVALUADOR DE RESGO R.J. N° 018-2020-CENEPRED/J

ARNOLD DAVID GARCIA ZAVALETA INGENIERO GEOLOGO EVALUADOR DE RIESGÓ R.D. N°011-2024-CENEPRED/DIFAT



Cuadro 23: Matriz de comparación de pares del parámetro precipitación

Anomalia de Precipitación	>170 mm	160 - 170 mm	150 - 160 mm	140 - 150 mm	<140 mm
>170 mm	1.00	3.00	5.00	7.00	9.00
160 - 170 mm	0.33	1.00	3.00	5.00	7.00
150 - 160 mm	0.20	0.33	1.00	3.00	5.00
140 - 150 mm	0.14	0.20	0.33	1.00	3.00
<140 mm	0.11	0.14	0.20	0.33	1.00
SUMA	1.79	4.68	9.53	16.33	25.00
1/SUMA	0.56	0.21	0.10	0.06	0.04

4. Fuente: Equipo Técnico

Cuadro 24: Matriz de normalización del parámetro precipitación

Anomalia de Precipitación	>170 mm	160 - 170 mm	150 - 160 mm	140 - 150 mm	<140 mm	Vector Priorizac ión
>170 mm	0.560	0.642	0.524	0.429	0.360	0.503
160 - 170 mm	0.187	0.214	0.315	0.306	0.280	0.260
150 - 160 mm	0.112	0.071	0.105	0.184	0.200	0,134
140 - 150 mm	0.080	0.043	0.035	0.061	0.120	0.068
<140 mm	0.062	0.031	0.021	0.020	0.040	0.035

Fuente: Equipo Técnico

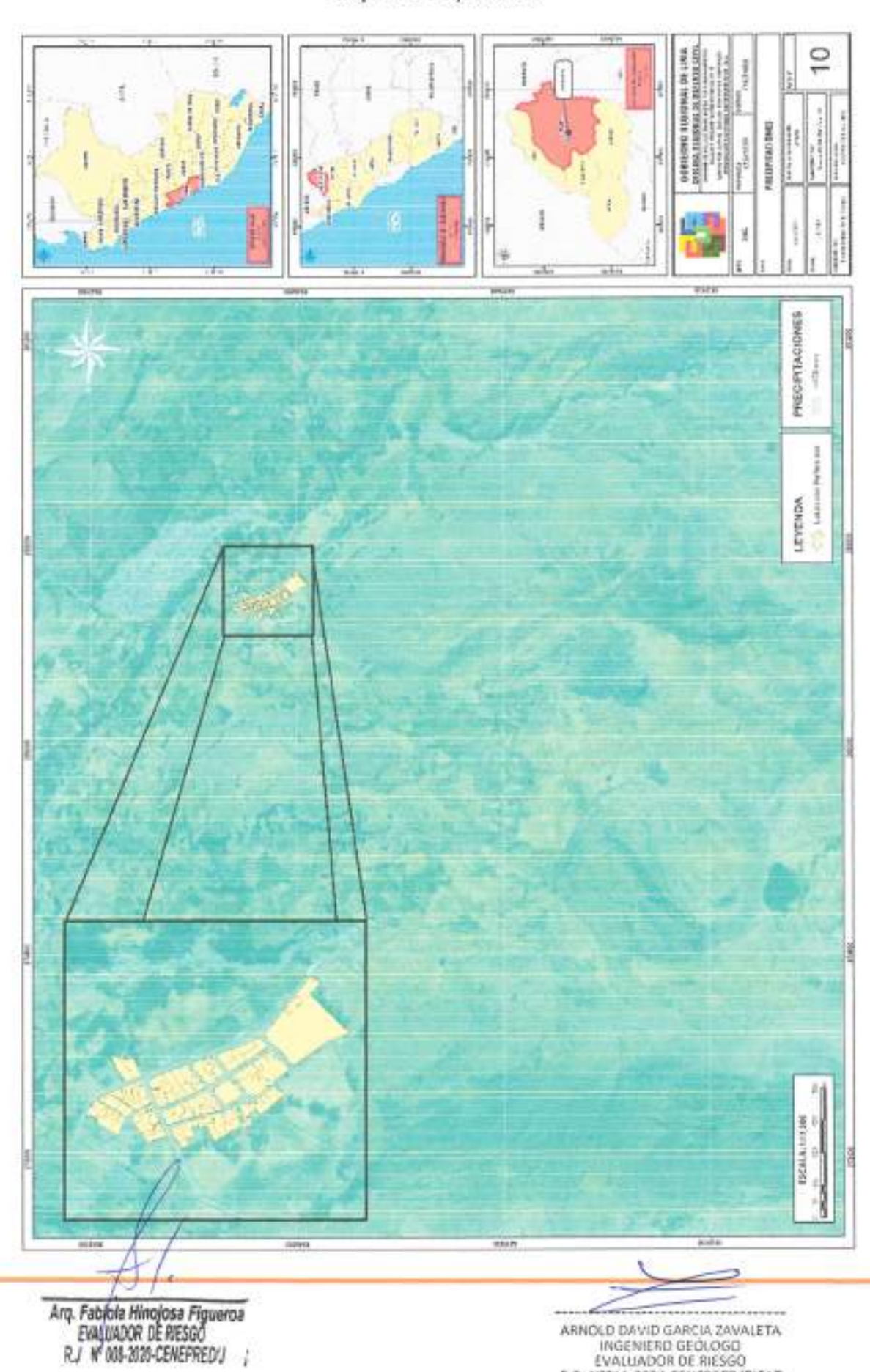
Cuadro 25: Índice (IC) y relación de consistencia (RC) obtenido del proceso de análisis jerárquico para el parámetro precipitación.

0.061
0.054

Arg. Fabiola Himojosa Figueroa EVALUADOR DE RIESGO R J Nº 900/2020-CENEPRED/J ,



Mapa 10: Precipitaciones





3.5.2. FACTORES CONDICIONANTES

Para la obtención de los pesos ponderados del parámetro de los factores condicionantes, se utilizó el proceso de análisis jerárquico. Los resultados obtenidos son los siguientes:

Cuadro 26: Factores condicionantes

CONDICIONANTES	Peso Ponderado
Unidades geológicas	0.519
Unidades geomorfológicas	0,260
Pendiente	0.140
Uso actual del suelo	0.081

Fuente: Equipo Técnico

Cuadro 27: Matriz de comparación de pares de factores condicionantes

CONDICIONANTES	Unidades geológicas	Unidades geomorfológicas	Pendiente	Uso actual de suelo
Unidades geológicas	1.00	2.00	4.00	6.00
Unidades geomorfológicas	0.50	1.00	2.00	3.00
Pendiente	0.25	0.50	1.00	2.00
Uso actual del suelo	0.17	0.33	0.50	1.00
SUMA	1.92	3,83	7.50	12.00
1/SUMA	0.52	0.26	0.13	0.08

Fuente: Equipo Técnico

Cuadro 28: Matriz de normalización de factores condicionantes

CONDICIONANTES	Unidades geológicas	Unidades geomorfológicas	Pendiente	Uso actual del suelo	Vector Priorización
Unidades geológicas	0.522	0.522	0.533	0.500	0.519
Unidades geomorfológicas	0.261	0.261	0.267	0.250	0.260
Pendiente	0.130	0.130	0.133	0.167	0.140
Uso actual del suelo	0.087	0.087	0.067	0.083	0.081

Fuente: Equipo Técnico

Arg. Fabiola Hinojosa Figueroa EVALUADOR DE RIESGO R.J. N° 008-2020-CENEPRED/J

ARNOLD DAVID GARCIA ZAVALETA INGENIENO GEOLOGO EVALUADOR DE RIESGO R.D. N°011-2024-CENEPRED/DIFAT

70



Cuadro 29: Índice (IC) y relación de consistencia (RC) obtenido del proceso de análisis jerárquico para factores condicionantes.

IC IC	0.003
RC	0.004

a) Parámetro: Geología

Cuadro 30: Matriz de comparación de pares del parâmetro unidades geológicas

UNIDADES GEOLÓGICAS	Depósito Aluvial 2 (Qh- al2)	Depósito Coluvial (Qh- cl)	Depósito Aluvial 1 (Qh- al1)	Depósito Fluvial (Qh-fi)	Grupo Calipuy (Po-ca-a y Po- ca-b)
Depósito Aluvial 2 (Qh-al2)	1.00	3.00	5.00	7.00	8.00
Depósito Coluvial (Qh-cl)	0.33	1.00	2.00	3.00	5.00
Depósito Aluvial 1 (Qh-al1)	0.20	0.50	1.00	2.00	3.00
Deposito Fluvial (Qh-fl)	0.14	0.33	0.50	1.00	2.00
Grupo Calipuy (Po-ca-a y Po-ca- b)	0.13	0.20	0.33	0.50	1.00
SUMA	1.80	5.03	8.83	13.50	19.00
1/SUMA	0.58	0.20	0.11	0.07	0.05

Fuente: Equipo Tècnico

Arq. Fabiola Hinojosa Figueroa EVALUADOR DE RIESGO R.J. N° 908-2020-CENEPREDIJ

ARNOLD DAVID GARCIA ZAVALETA INGENIERO GEOLOGO EVALUADOR DE RIESGO R.D. N°011-2024-CENEPRED/DIFAT

71



Cuadro 31: Matriz de normalización del parámetro unidades geológicas

UNIDADES GEOLÓGICAS	Deposito Aluvial 2 (Qh-al2)	Depósito Coluvial (Qh-ci)	Depósito Aluvial 1 (Qh-ai1)	Depósito Fluvial (Qh- fl)	Grupo Calipuy (Po-ca-a y Po-ca- b)	Vector Priorización
Depósito Aluvial 2 (Qh-al2)	0.56	0.60	0.57	0.52	0.42	0.531
Depósito Coluvial (Qh-cl)	0.19	0.20	0.23	0.22	0.26	0.219
Depósito Aluvial 1 (Qh-al1)	0.11	0.10	0.11	0.15	0.16	0.126
Depósito Fluvial (Qh-fl)	0.08	0.07	0.06	0.07	0.11	0.076
Grupo Calipuy (Po-ca-a y Po-ca- b)	0.07	0.04	0.04	0.04	0.05	0.047

Fuente: Equipo Técnico

Cuadro 32: Índice (IC) y relación de consistencia (RC) obtenido del proceso de análisis jerárquico para el parámetro unidades geológicas

IC	0.016
RC	0.014

Arg. Fabiola Hinojosa Figueroa ENALIJADOR DE RIESGO R.J. Nº 908-2020-CENEPRED: J

ARNOLD DAVID GARCIA ZAVALETA INGENERO GEOLOGO EVALUADOR DE RIESGO R.D. N°013-2024-CENEPRED/DIFAT



b) Parámetro: Unidades geomorfológicas

Cuadro 33: Matriz de comparación de pares del parámetro unidades geomorfológicas

UNIDADES GEOMORFOLÓGICAS	Llanura o Planicie aluvial (Pl-al)	Terraza aluviai (T-al)	Vertiente Coluvial de Detritos (V-d) - Vertiente o Pledemonte aluvio- torrencial (P- at)	Colina en roca volcano- sedimentaria (RCL-rvs)	Montaña en roca volcano- sedimentaria (RM-rvs) – Meseta Volcanica (M- vi)
Lianura o Planicie aluvial (Pl-al)	1.00	2.00	3.00	5.00	7,00
Terraza aluvial (T-al)	0.50	1.00	2.00	4.00	5.00
Vertiente Coluvial de Detritos (V-d) – Vertiente o Piedemonte aluvio- torrencial (P-at)	0.33	0.50	1.00	2.00	4.00
Colina en roca volcano- sedimentaria (RCL-rvs)	0.20	0.25	0.50	1.00	2:00
Montaña en roca volcano- sedimentaria (RM-rvs) – Meseta Volcánica (M-vl)	0.14	0.20	0.25	0.50	1.00
SUMA	2.18	3.95	6.75	12.50	19.00
1/SUMA	0.46	0.25	0.15	0.08	0.05

Fuente: Equipo Técnico

Arq. Fabiola Hinojosa Figueroa EVALUADOR DE RESGO R.J. Nº 008-2020-CENEPREDU

ARNOLD DAVID GARCIA ZAVALETA INGENIERO GEOLOGO EVALUADON DE RIESGO R.D. N°011-2024-CENEPRED/ON AT



Cuadro 34: Matriz de normalización del parámetro unidades geomorfológicas

UNIDADES GEOMORFOLÓGICA S	Llanura o Planicie aluvial (Pi- al)	Terraza aluvial (T- al)	Vertiente Coluvial de Detritos (V- d) - Vertiente o Pledemont e aluvio- torrencial (P-at)	Colina en roca volcano- sedimentari a (RCL-rvs)	Montaña en roca velcano- sedimentari a (RM-rvs) - Meseta Volcánica (M-vl)	Vector Priorizacio n
Llanura o Planicie aluvial (Pl-al)	0.46	0.51	0.44	0.40	0.37	0.436
Terraza aluvial (T-al)	0.23	0.25	0.30	0.32	0.26	0.272
Vertiente Coluvial de Detritos (V-d) – Vertiente o Piedemonte aluvio- torrencial (P-at)	0.15	0.13	0.15	0.16	0.21	0.160
Colina en roca volcano- sedimentaria (RCL-rvs)	0.09	0.06	0.07	0.08	0.11	0.083
Montaña en roca volcano-sedimentaria (RM-rvs) – Meseta Volcánica (M-vi)	0.07	0.05	0.04	0.04	0.05	0.049

Cuadro 35: Índice (IC) y relación de consistencia (RC) obtenido del proceso de análisis jerárquico para el parámetro unidades geomorfológicas

IC	0.013
RC	0.012

Are. Fabibla Hinojosa Figueroa ENALUADOR DE RESGO R.J. 16* 088-2020-CENEPRED.J

ARNOLD DAVID GARCIA ZAVALETA INGENIERO GEÓLOGO EVALUADOR DE RIESGO R.D. N°011-2024-CENEPRED/DIFAT



c) Parámetro: Pendiente

Cuadro 36: Matriz de comparación de pares del parámetro pendiente.

PENDIENTES	Mayor a 45°	Entre 25° - 45°	Entre 15" - 25"	Entre 5° - 15°	0° a 5°
Mayor a 45°	1.00	2.00	4.00	5.00	7.00
Entre 25° - 45°	0.50	1.00	2.00	4.00	5.00
Entre 15° - 25°	0.25	0.50	1.00	2.00	4.00
Entre 5° - 15°	0.20	0.25	0.50	1,00	2.00
0° a 5°	0.14	0.20	0.25	0.50	1.00
SUMA	2.09	3.95	7.75	12.50	19.00
1/SUMA	0.48	0.25	0.13	0.08	0.05

Fuente: Equipo Técnico

Cuadro 37: Matriz de normalización del parámetro pendiente

PENDIENTES	Mayor a 45°	Entre 25° - 45°	Entre 15° - 25°	Entre 5° - 15°	0° a 5°	Vector Priorización
Mayor a 45°	0.478	0.506	0.516	0.400	0.368	0.454
Entre 25° - 0.239		0.253	0.258	0.320	0.263	0.267
Entre 15° - 25°	0.119	0.127	0.129	0.160	0.211	0.149
Entre 5° - 15°	0.096	0.063	0.065	0.080	0.105	0.082
0° a 5°	0.068	0.051	0.032	0.040	0.053	0.049

Fuente: Equipo Técnico

Cuadro 38: Îndice (IC) y relación de consistencia (RC) obtenido del proceso de análisis jerárquico para el parámetro pendiente.

IC	0.018
RC	0.017

Arg. Fabiola Himojosa Figueros EVALUADOR DE RIESGO R.J. MY008-2020-CENEPREDIJ |

ARNOLD DAVID GARCIA ZAVALETA INGENIERO GEOLOGO EVALUADOR DE RIESGO R.D. N°011-2024-CENEPRED/DIFAT



c) Parámetro: Uso actual del suelo

Cuadro 39: Matriz de comparación de pares del parámetro uso actual del suelo

USO ACTUAL DEL SUELO	Agricola	Pastoreo	Urbano	Forestal	Sin Intervenir
Agricola	1.00	4.00	5.00	7.00	9.00
Pastoreo	0.25	1.00	2.00	4.00	5.00
Urbano	0.20	0.50	1.00	2.00	4.00
Forestal	0.14	0.25	0.50	1.00	2.00
Sin Intervenir	0.11	0.20	0.25	0.50	1.00
SUMA	1.70	5.95	8.75	14.50	21.00
1/SUMA	0.59	0.17	0.11	0.07	0.05

Fuente: Equipo Técnico

Cuadro 40: Matriz de normalización del parámetro uso actual del suelo

USO ACTUAL DEL SUELO	Agricola	Pastoreo	Urbano	Forestal	Sin Intervenir	Vector Priorización
Agricola	0.587	0.672	0.571	0.483	0.429	0.548
Pastoreo	0.147	0.168	0.229	0.276	0.238	0.211
Urbano	0.117	0.084	0.114	0.138	0.190	0.129
Forestal	0.084	0.042	0.057	0.069	0.095	0.069
Sin Intervenir	0.065	0.034	0.029	0.034	0.048	0.042

Fuente: Equipo Técnico

Cuadro 41: Índice (IC) y relación de consistencia (RC) obtenido del proceso de análisis jerárquico para el parámetro uso actual del suelo

IC	0.030
RC	0.027

Arq. Fabiola Hinojosa Figueroa EVALUADOR DE RIESGO R.J. Nº 008-2009-CENEPREDIJ

ARNOLD DAVID GARCIA ZAVALETA INGENIERO GEOLOGO EVALUADOR DE RIESGO R.D. N°011-2024-CENEPRED/OIFAT



Cuadro 42: Matriz de peligro

FACTORES CONDICIONANTES (FC) 0.45						FACTOR DESENCADENANTE 0.55													
Geologia		Geomoi	Geomorfologia		tiente Uso actual del suelo		Pendiente		Uso actual del suelo						neco	PRECIP	TACION	VALOR	PESO
Pdesc	Ppar (3)	Pdesc	Ppar (4)	Pdesc	Ppar (5)	Pdesc	Ppar (4)	VALOR	PESO	Pdesc	Ppar (4)	VALOR							
0.531	0.519	0.436	0.260	0.454	0.140	0.548	0.081	0.497	0.45	0.503	1.000	0.503	0.55						
0.219	0.519	0.272	0.260	0.267	0.140	0.211	0.081	0.239	0.45	0.260	1.000	0.260	0.55						
0.126	0.519	0.160	0.260	0.149	0.140	0.129	0.081	0.138	0.45	0.134	1.000	0.134	0.55						
0.076	0.519	0.083	0.260	0.082	0.140	0.069	0.081	0.078	0.45	0.068	1.000	0.068	0.55						
0.047	0.519	0.049	0.260	0.049	0.140	0.042	0.081	0.048	0.45	0.035	1.000	0.035	0.55						

Cuadro 43: Matriz de susceptibilidad

FACTORES CONDICIO 0.45	NANTES (FC)	FACTOR DESENCADENANTE (F 9.55		
VALOR	PESO	VALOR	PESO	
0.497	0.45	0.503	0.55	
0.239	0.45	0.260	0.55	
0.138	0.45	0.134	0.55	
0.078	0.45	0.068	0.55	
0.048	0.45	0.035	0.55	

SUSCEPTIBILIDAD (S)
VALOR	
0.500	
0.251	
0.136	
0.072	
0.041	

Fuente: Equipo Técnico

Cuadro 44: Susceptibilidad

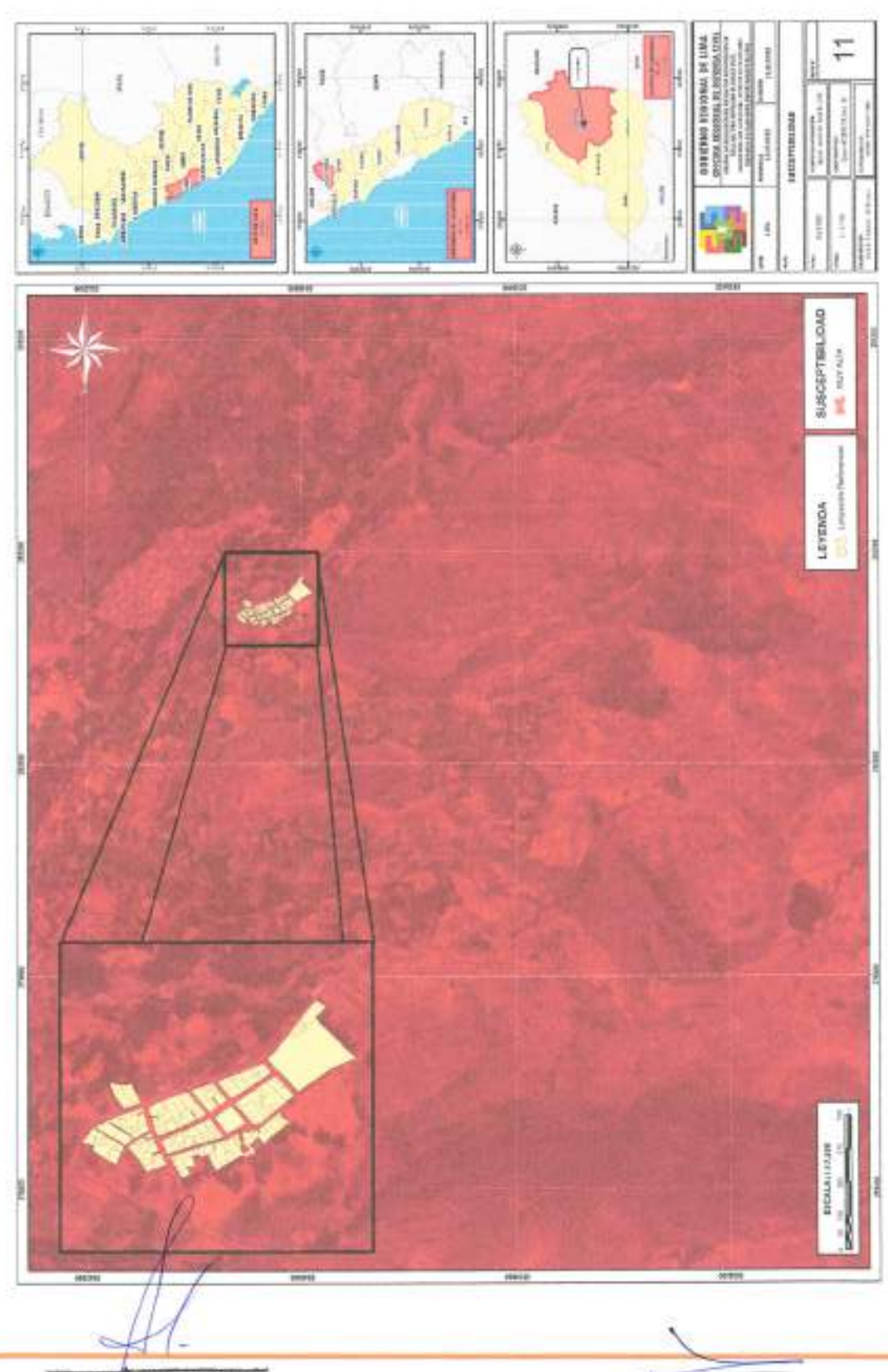
Niveles	de Susceptibili	dad	Niveles de susceptibilidad
0.251	≤8<	0.500	MUY ALTA
0.136	≤ S <	0.251	ALTA
0.072	≤8<	0.136	MEDIA
0.041	≤\$<	0.072	BAJA

Arq. Fabiola Hinojosa Figueroa EVALUADOR DE RIESGO R.J. MY.008-2020-CENEPREDUJ

ARNOLD DAVID GARCIA ZAVALETA INGENIERO GEOLOGO EVALUADOR DE RIESGO R.D. N°011-2024-CENEPRED/DIFAT



Mapa 11: Susceptibilidad





3.6. PARÁMETRO DE EVALUACIÓN

Para el presente caso, se ha considerado un parámetro de evaluación: volumen de deslizamiento.

El volumen del deslizamiento se mide en metros cúbicos después de la falla. El volumen aproximado de un desplazamiento puede calcularse utilizando la expresión:

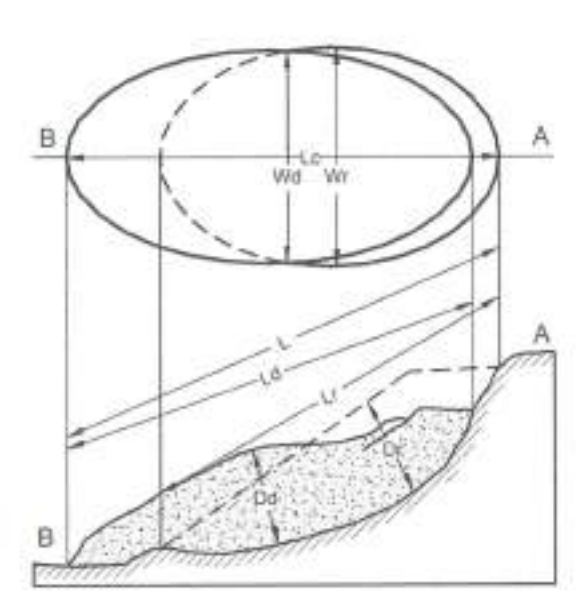
$$Vol_{des} = \left(\frac{1}{6}\pi D_r x W_r x L_r\right) F_{ex}$$

Donde Fex: Factor de expansión del suelo al ser perturbado.

El volumen de material medido antes del deslizamiento, generalmente aumenta con el movimiento debido a que el material se dilata. El término "Factor de expansión" puede ser utilizado para describir este aumento en volumen, como un porcentaje del volumen antes del movimiento.

Este factor es comúnmente de 1.25 a 1.30. En algunas ocasiones, como en el caso de la roca el factor de expansión puede ser hasta de un 70% (Fexpansión = 1.7). El volumen del deslizamiento es importante para determinar la amenaza y el riesgo en los flujos y avalanchas. De acuerdo con el volumen y la concentración de sedimentos se puede determinar la velocidad del flujo.

Figura 18: Dimensiones de los movimientos en masa



Fuente: IAEG Commission on Landslides (1990)

Arq. Fabiola Hinojosa Figueroa EVALUADOR DE RIESGO R.J. N° 003-2020-CENEPREDIJ ;



Para la obtención de los pesos ponderados de este parámetro de evaluación, se utilizó el proceso de análisis jerárquico, los resultados obtenidos son los siguientes:

Cuadro 45: Matriz de comparación de pares del parámetro volumen de deslizamiento

volumen de deslizamiento	> 300,000,000 m3	150,000,000 + 300,000,000 m3	50,000,000 - 150,000,000 m3	10,000,000 - 50,000,000 m3	10,000,000 m3
> 300,000,000 m3	1.00	2.00	4.00	5.00	7.00
150,000,000 - 300,000,000 m3	0.50	1.00	2.00	4.00	4.00
50,000,000 - 150,000,000 m3	0.25	0.50	1.00	2.00	4.00
10,000,000 - 50,000,000 m3	0.20	0.25	0.50	1.00	2.00
< 10,000,000 m3	0.14	0.25	0.25	0.50	1.00
SUMA	2.09	4.00	7.75	12.50	18.00
1/SUMA	0.48	0.25	0.13	0.08	0.06

Fuente: Equipo Técnico

Cuadro 46: Matriz de normalización del parámetro volumen de deslizamiento

MATRIZ DE NORMALIZACION						
volumen de deslizamiento	> 300,000,000 m3	150,000,000 - 300,000,000 m3	50,000,000 - 150,000,000 m3	10,000,000 - 50,000,000 m3	<10,000,000 m3	Vector Priorización
> 300,000,000 m3	0.478	0.500	0.516	0.400	0.389	0.457
150,000,000 - 300,000,000 m3	0.239	0.250	0.258	0.320	0.222	0.258
50,000,000 - 150,000,000 m3	0.119	0.125	0.129	0.160	0.222	0.151
10,000,000 - 50,000,000 m3	0.096	0.063	0.065	0.080	0.111	0.083
< 10,000,000 m3	0.068	0.063	0.032	0.040	0.056	0.052

Fuente: Equipo Técnico

Cuadro 47: Índice (IC) y relación de consistencia (RC) obtenido del proceso de análisis jerárquico para el parámetro volumen de deslizamiento.

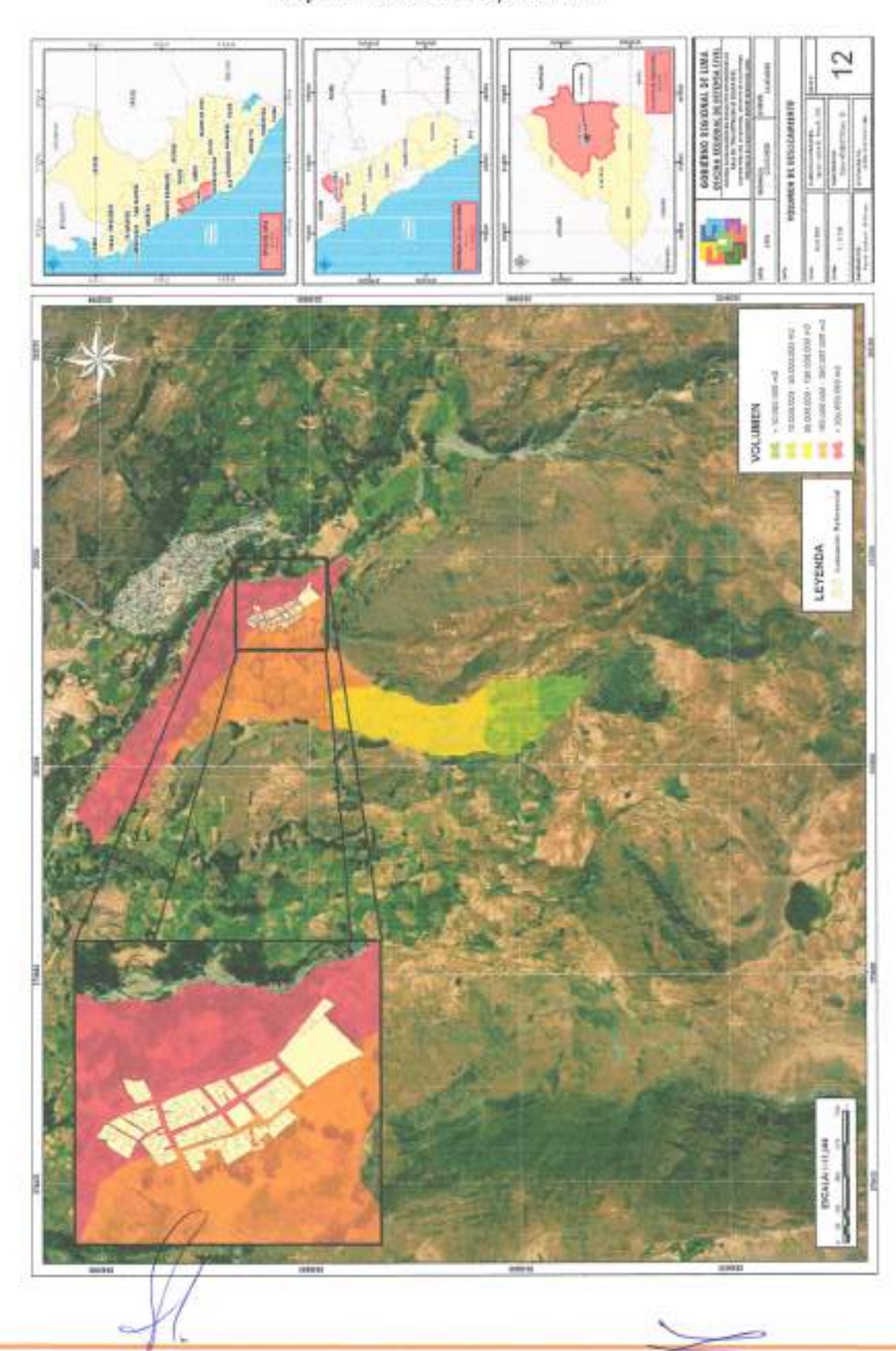
IC	0.023
RC	0.020

Arq. Fabiola Hinojosa Figueroa EVALUADOR DE RESGO R.J. Nº 88-2020-CENEPREDIJ |

ARNOLD DAVID GARCIA ZAVALETA INGENIERO GEOLOGO EVALUADOR DE RIESGO R.D. N°011-2024-CENEPRED/DRAT



Mapa 12: Volumen de desplazamiento





3.7. ANÁLISIS DE ELEMENTOS EXPUESTOS

En el área de influencia del centro poblado de Astobamba se encuentran los elementos expuestos susceptibles (Población y viviendas) y que podrían sufrir los efectos ante la ocurrencia o manifestación del peligro.

3.8.1. ELEMENTOS EXPUESTOS SUSCEPTIBLES A NIVEL SOCIAL

A continuación, se muestran los principales elementos expuestos susceptibles del nivel social y económico ubicados en la zona de estudio, del centro poblado de Astobamba

a. Población

La Población que se encuentra dentro del centro poblado de Astobamba, son considerados como elementos expuestos susceptibles ante movimientos de masa del tipo reptación.

Cuadro 48: Población expuesta según sexo

Sexo	Población	Porcentaje
Varones	80	49.69%
Mujeres	81	50.31%
Total	161	100%

Fuente: Equipo Técnico

b. Vivienda

La mayoría de las viviendas en el centro poblado de Astobamba están construidas con materiales rústicos, representando el 88.39% del total. Estas viviendas suelen estar elaboradas con materiales locales y técnicas tradicionales. Un pequeño porcentaje, 8.93%, corresponde a viviendas de material noble, que ofrecen mayor resistencia y durabilidad debido al uso de cemento, ladrillos o concreto en su construcción. Finalmente, el 2.68% de las viviendas se clasifica como de material precario, siendo estructuras temporales o de emergencia, construidas con materiales de baja calidad y limitada estabilidad, lo que las hace más vulnerables a desastres naturales y problemas de habitabilidad.

Cuadro 49: Tipo de viviende

Tipo de vivienda	Cantidad	Porcentaje	
Material noble	10	8,93%	
Material rústico	99	88.39%	
Material precario	3	2.68%	
Total	112	100%	

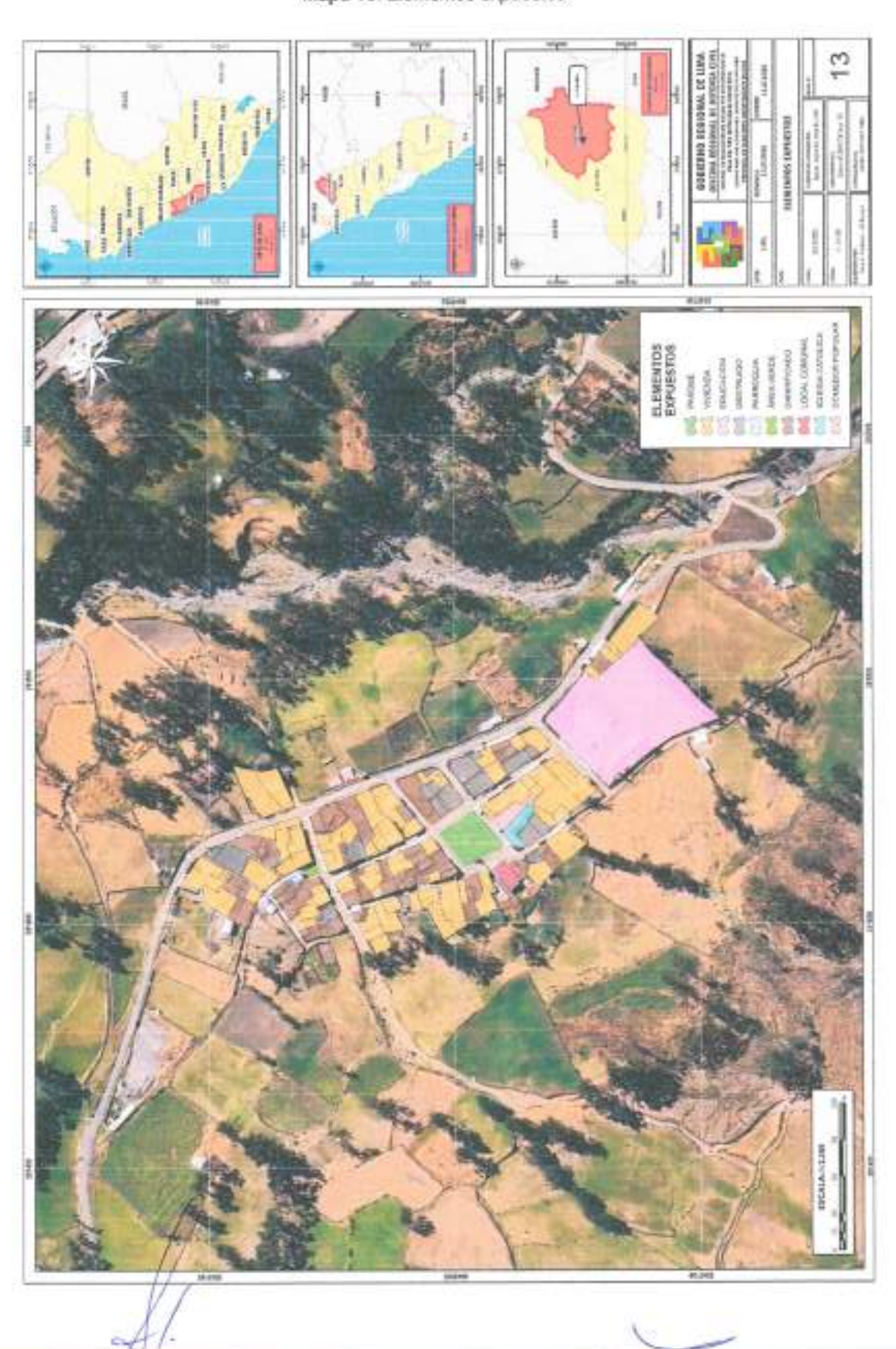
Fuente: Equipo Técnico

Arq. Fabiqla Hinojosa Figueroa EVALDADOR DE RIESGO R.J. NO 008-2020-CENEPREDU | |

ARNOLD DAVID GARCIA ZAVALETA INGENIERO GEÓLOGO EVALUADOR DE RIESGO R.D. N°031-2024-CENEPREDICIEAT



Mapa 13: Elementos expuestos





3.8. DEFINICIÓN DEL ESCENARIO DE PELIGRO

En forma general podemos definir a un "escenario" como la situación futura en la cual el área de estudio es abatida por un cierto nivel de intensidad del peligro. Pueden plantearse diversos escenarios, tanto como niveles de intensidad del peligro que haya, desde los menos agresivos (intensidades bajas) hasta los más catastróficos (intensidades altas).

Se recomienda elegir un escenario asociado a un evento de alto nivel de intensidad (más desfavorable para la población) y que además tenga un nivel mínimo de "probabilidad de ocurrencia".

En tal sentido, en el presente estudio de evaluación de riesgo por movimiento de masas del tipo reptación del centro poblado de Astobamba, se ha considerado como escenario más desfavorable el siguiente:

"El centro poblado de Astobamba se ubica sobre la unidad geológica de depósitos aluviales 2, los cuales se caracterizan por estar conformados por gravas en una matriz arenosa a limosa, en la cual se han establecido zonas agricolas. Desde el punto de vista geomorfológico, se ubica sobre la llanura o planicie aluvial, y a su vez sobre un terreno con predominio de pendientes suaves (0° - 5°) y medio (5° - 15°). En tal sentido, de presentarse una precipitación de categoría extremadamente lluviosa, superior a 170 mm, ocasionaría una reptación de suelos que originaría daños y pérdidas probables".

Are. Fabiolo Hinojosa Figueroa EVALUADOR DE RESGO R.J. M:008-1020-CENEPREDIJ

ARNOLD DAVID GARCIA ZAVALETA INGENIERO GEOLOGO EVALUADOR DE RIESGO R.D. N°011-2024-CENEPRED/DIFAT



3.9. NIVELES DE PELIGRO

En el siguiente cuadro, se muestran los niveles de peligro y sus respectivos rangos obtenidos a través de utilizar el Proceso de Análisis Jerárquico.

Cuadro 50: Niveles de peligro

NIVELES DE PELIGRO		NIVELES DE PELIGRO	
0.255	≤P<	0.474	MUY ALTO
0.145	≤P<	0.255	ALTO
0.079	≤P<	0.145	MEDIO
0.047	≤ P <	0.079	BAJO

3.10. ESTRATIFICACIÓN DEL NIVEL DE PELIGRO

En el siguiente cuadro, se muestra la matriz de peligros obtenidos.

Cuadro 51: Matriz de peligro

Nivel de Peligro	Descripción	Rango
Peligro Muy Alto	Terreno con una pendiente mayor a 45°, ubicados en llanura o planicie aluvial, sobre depósito Aluvial 2 y uso actual del suelo agricola. El ámbito de estudio presenta una muy alta susceptibilidad a ser afectado por movimientos de masa tipo reptación, el cual está desencadenado por una precipitación de categoría extremadamente lluviosa mayor a 170 mm. El volumen de suelo reptado es mayor a 300,000.000m3	0.255 ≤ P < 0.474
Peligro Alto	Terreno con pendientes entre 25° y 45°, ubicado en una terraza aluvial, conformado por depósitos coluviales y con uso actual del suelo destinado al pastoreo. El ámbito de estudio presenta una alta susceptibilidad a ser afectado por movimientos de masa tipo reptación, el cual está desencadenado por una precipitación de categoría extremadamente lluviosa mayor a 170 mm. El volumen de suelo reptado se encuentra en el rango de 150,000,000,000 - 300,000,000 m3	0.145 ≤ P < 0.258

Arq. Fabiola Hinejosa Figueroa EVALUADOR DE RIESGO R.J. Nº1008-2820-CENEPREDIJ

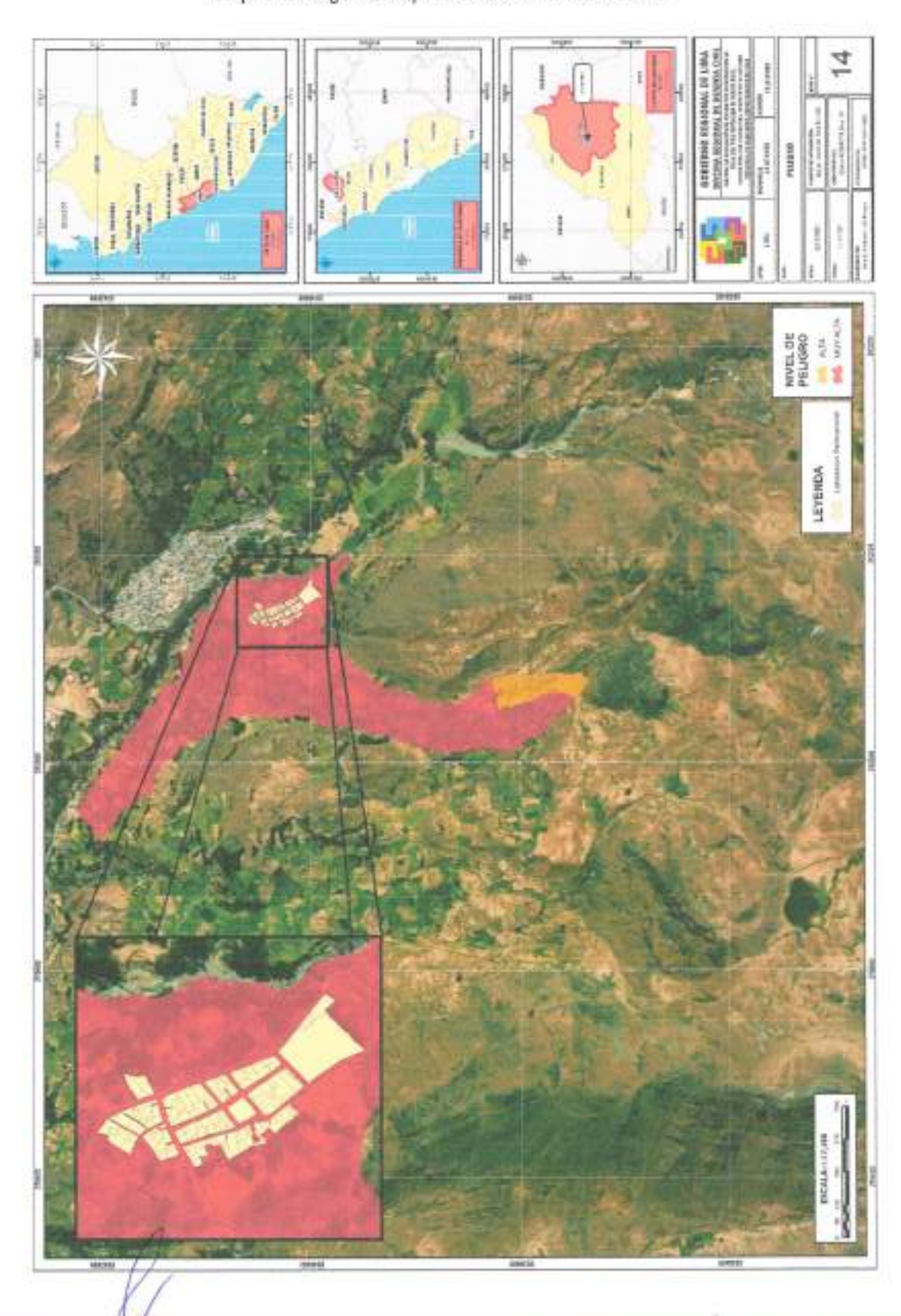
ARNOLD DAVID GARCIA ZAVALETA INGENIERO GEÒLOGO EVALUADOR DE RIESGO R.D. N°011-2024-CENEPRED/OIFAT



Peligro Medio	Terreno con pendientes entre 15° a 25°, ubicado en una Vertiente Coluvial de Detritos – Vertiente o Piedemonte aluvio-torrencial, conformado por depósito Aluvial. El ámbito de estudio presenta una media susceptibilidad a ser afectado por movimientos de masa tipo reptación, el cual está desencadenado por una precipitación de categoría extremadamente Iluviosa mayor a 170 mm, el volumen de suelo reptado de 50,000,000 - 150,000,000 m3	0.079 ≤ P < 0.145
Peligro Bajo	Terreno con pendientes menores a 15°, ubicado en Colina en roca volcano-sedimentaria y Montana en roca volcano-sedimentaria – Meseta Volcánica, conformado por depósito Fluvial o Grupo Calipuy. El ámbito de estudio presenta una baja susceptibilidad a ser afectado por movimientos de masa tipo reptación, el cual está desencadenado por una precipitación de categoria extremadamente Iluviosa mayor a 170 mm, el volumen de suelo reptado es menor a 140,000,000m3.	0.047 ≤ P < 0.079



Mapa 14: Peligro correspondiente al ámbito de estudio



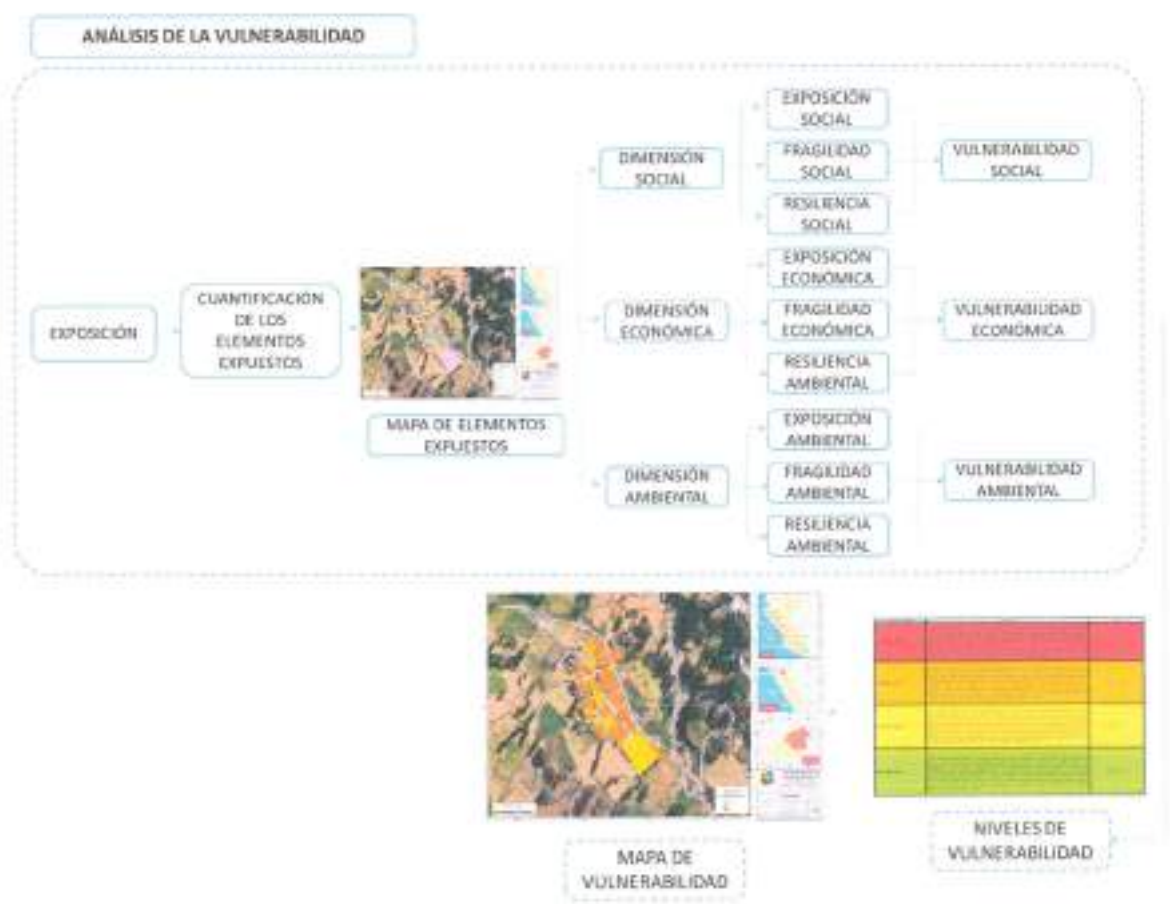


CAPITULO IV - ANÁLISIS DE LA VULNERABILIDAD

4.1. METODOLOGÍA

Para determinar los niveles de vulnerabilidad de los elementos expuestos en el área de influencia de las viviendas ubicadas en el centro poblado de Astobamba se ha desarrollado la siguiente metodología:

Gráfico 20: Metodología del Análisis de Vulnerabilidad



Fuente: Equipo Técnico en base al Manual para la Evaluación de Riesgos originados por Fenómenos Naturales del CENEPRED (2da versión)

Arg. Fabiola Hingjasa Figueroa EVALUADOR DE RESGO R.J. N° 808-2020-CENEPREDIJ



4.2. ANÁLISIS DE LAS DIMENSIONES SOCIAL, ECONÓMICA Y AMBIENTAL

Cuadro 52: Dimensiones de la vulnerabilidad

DIMENSIÓN	Peso Ponderado	
Dimensión social	0.581	
Dimensión económica	0.309	
Dimensión ambiental	0.110	

Fuente: Equipo Técnico

Cuadro 53: Matriz de comparación de la Dimensión Social, Econômica y Ambiental

Dimensiones	Social	Económica	Ambiental
Social	1.00	2.00	5.00
Económica	0.50	1.00	3.00
Ambiental	0.20	0.33	1.00
SUMA	1.70	3,33	9.00
1/SUMA	0.59	0.30	0.11

Fuente: Equipo Técnico

Cuadro 54: Matriz de normalización de las Dimensiones Social, Económica y Ambiental

Resiliencia Social	Social	Económica	Ambiental	Vector Priorización
Social	0.588	0.600	0.556	0.581
Económica	0.294	0.300	0.333	0.309
Ambiental	0.118	0.100	0.111	0.110

Fuente: Equipo Técnico

Cuadro 55: Índice (IC) y Relación de Consistencia (RC) obtenido del Proceso de Análisis Jerárquico para las Dimensiones Social, Económica y Ambiental.

IC	0.002
RC	0.004

Arg. Fabiola Hinojosa Figueroa EVALUADOR DE RIESGO R J. Nº 068-2020-CEMEPREDU

ARNOLD DAVID GANCIA ZAVALETA INSENIERO GEÓLOGO EVALUADOR DE RIESGO R.D. N°011-2024-CENEPRED/DIFAT



4.2.1. ANÁLISIS DE LA DIMENSIÓN SOCIAL

Para el análisis de la vulnerabilidad en su dimensión social, se evaluaron los siguientes parámetros:

Cuadro 56: Parámetros de la Dimensión Social

	DIMENSION SOCIAL	
EXPOSICIÓN	FRAGILIDAD	RESILIENCIA
Total de personas por vivienda	Grupo etario	Nivel educativo
	Acceso a los Servicios	Tipo de seguro
	Públicos	Actitud frente al riesgo
	Discapacidad	Capacitación en temas de riesgo de desastres

Fuente: Equipo Técnico

4.2.1.1. Análisis de la Exposición en la Dimensión Social

Cuadro 57: Parámetros utilizados en la Exposición de la Dimensión Social

PARÁMETRO	Peso Ponderado
Total de personas por vivienda	1.000

Fuente: Equipo Técnico

Arg. Fabiotá Hinojosa Figueroa EVALUÁDOR DE MESGO R.J. N., 1038-2020-CEMEPREDIJ ;

ARNOLD DAVID GARCIA ZAVALETA INGENIERO GEÓLOGO EVALUADOR DE NIESGO R.D. N°021-2024-CENEPREDIDIFAT



a) Parámetro: Total de personas por vivienda

Cuadro 58: Matriz de comparación de pares del parámetro total de personas por vivienda

Total de personas por vivienda	Más de 11 personas	De 09 a 10 personas	De 07 a 08 personas	De 05 a 06 personas	Menos a 04 personas
Más de 11 personas	1.00	2.00	3.00	5.00	7.00
De 09 a 10 personas	0.50	1.00	2.00	3.00	5.00
De 07 a 08 personas	0.33	0.50	1.00	2.00	3.00
De 05 a 06 personas	0.20	0.33	0.50	1.00	2,00
Menos a 04 personas	0.14	0.20	0.33	0.50	1.00
SUMA	2.18	4.03	6,83	11.50	18.00
1/SUMA	0.46	0.25	0.15	0.09	0.06

Fuente: Equipo Técnico

Cuadro 59: Matriz de normalización del parámetro total de personas por vivienda.

Total de personas por vivienda	Más de 11 personas	De 09 a 10 personas	De 07 a 08 personas	De 05 a 06 personas	Menos a 04 personas	Vector Priorización
Más de 11 personas	0.460	0.496	0.439	0.435	0.389	0.444
De 09 a 10 personas	0.230	0.248	0.293	0.261	0.278	0.262
De 07 a 08 personas	0.153	0.124	0.146	0.174	0.167	0.153
De 05 a 06 personas	0.092	0.083	0.073	0.087	0.111	0.089
Menos a 04 personas	0.066	0.050	0.049	0.043	0.056	0.053

Fuente: Equipo Técnico

Cuadro 60: Índice (IC) y relación de consistencia (RC) obtenido del proceso de análisis jerárquico para el parámetro total de personas por vivienda

IC	0.007
RC	0.01

Arq. Fabiota Hinojosa Figueroa EVALUADOR DE RIESGO R.J. W 666-2020-CENEPREDIJ ;

ARNOLD DAVID GARCIA ZAVALETA INGENIERO GEÓLOGO EVALUADOR DE RIESGO 8.D. N°D11-2024-CENEPRED/DIFAT



4.2.1.2. Análisis de la Fragilidad en la Dimensión Social

Cuadro 61: Parâmetros utilizados en la Fragilidad de la Dimensión Social

PARÂMETRO	Peso Ponderado	
Grupo etario	0.571	
Acceso a los Servicios Públicos	0.286	
Discapacidad	0.143	

Fuente: Equipo Técnico

Cuadro 62: Matriz de Comparación de Pares Fragilidad Social

FRAGILIDAD	Grupo etario	Acceso a los Servicios Públicos	Discapacidad
Grupo etario	1.00	2.00	4.00
Acceso a los Servicios Públicos	0.50	1.00	2.00
Discapacidad	0.25	0.50	1.00
SUMA	1.75	3.50	7.00
1/SUMA	0.57	0.29	0.14

Fuente: Equipo Técnico

Arq. Fabiola Hinojosa Figueroa EVALUADOR DE RESGO R.J. 16 068-2020-CEMEPREDU

ARNOLD DAVID GARCIA ZAVALETA INGENIERO GEÓLOGO EVALUADOR DE RIESGO R.D. N°011-2024-CENEPRED/DIFAT



Cuadro 63: Matriz de Normalización de Pares Fragilidad Social

FRAGILIDAD	Grupo etario	Acceso a los Servicios Públicos	Discapacidad	Vector Priorización
Grupo etario	0.571	0.571	0.571	0.571
Acceso a los Servicios Públicos	0.286	0.286	0.286	0.286
Discapacidad	0.143	0.143	0.143	0.143

Cuadro 64: Îndice (IC) y Relación de Consistencia (RC) obtenido del Proceso de Análisis Jerárquico para el Parámetro Fragilidad Social.

IC	0.000
RC	0.000

a) Parámetro: Grupo Etario

Cuadro 65: Matriz de comparación de pares del parámetro grupo etario

Grupo etario	De 0 a 5 años y mayor a 65 años	de 6 a 12 años y de 60 a 64 años	de 13 a 15 años y de 50 a 59 años	de 16 a 25 años	de 26 a 49 años
De 0 a 5 años y mayor a 65 años	1,00	2.00	4.00	7.00	9.00
de 6 a 12 años y de 60 a 64 años	0.50	1.00	2.00	4.00	7.00
de 13 a 15 años y de 50 a 59 años	0.25	0.50	1.00	2.00	4.00
de 16 a 25 años	0.14	0.25	0.50	1.00	2.00
de 26 a 49 años	0.11	0.14	0.25	0.50	1.00
SUMA	2.00	3.89	7.75	14.50	23.00
1/SUMA	0.50	0.26	0.13	0.07	0.04

Fuente: Equipo Técnico

Arq. Fabiola Hinojosa Figueroa EVALUADOR DE RESGO R.J. N. 803-3020-CENEPREDU

ATRIOLD DAVID GARCIA ZAVALETA INGENIERO GEOLOGO EVALUADOR DE RIESGO Nº011-2024-CENEPRED/OIFAT



Cuadro 66: Matriz de normalización del parámetro grupo etario

Grupo etario	De 0 a 5 años y mayor a 65 años	de 6 a 12 años y de 60 a 64 años	de 13 a 15 años y de 50 a 59 años	de 16 a 25 años	de 26 a 49 años	Vector Priorización
De 0 a 5 años y mayor a 65 años	0.499	0.514	0.516	0.483	0.391	0.481
de 6 a 12 años y de 60 a 64 años	0.250	0.257	0.258	0.276	0.304	0.269
de 13 a 15 años y de 50 a 59 años	0.125	0.128	0.129	0.138	0.174	0.139
de 16 a 25 años	0.071	0.064	0.065	0.069	0.087	0.071
de 26 a 49 años	0.055	0.037	0.032	0.034	0.043	0.040

Cuadro 67: Índice (IC) y relación de consistencia (RC) obtenido del proceso de análisis jerárquico para el parámetro grupo etario.

IC	0.008
RC	0.01

Arg. Fabiole Hingiose Figueroa EVALUADOR DE MESGO R J N 1002-2020-CENEPREDIJ

ARNOLD DAVID GARCIA ZAVALETA INGENIERO GEÓLOGO EVALUADOR DE RIESGO R.D. N°O11-2074-CENIEPRED/DIFAT



b) Parámetro: Acceso a los servicios públicos

Cuadro 68: Matriz de comparación de pares del parâmetro acceso a los servicios públicos

Acceso a los servicios públicos	Inadecuado (no cuenta con servicios básicos)	Insuficiente (Cuenta con un solo servicio básico)	Adecuado (Cuenta con dos servicios básicos)	Suficiente (Cuenta con 3 servicios básicos)	Optimo (Cuenta con más de 3 servicios)
Inadecuado (no cuenta con servicios básicos)	1.00	3.00	5.00	6.00	8.00
Insuficiente (Cuenta con un solo servicio básico)	0.33	1.00	3.00	5.00	6.00
Adecuado (Cuenta con dos servicios básicos)	0.20	0.33	1.00	3.00	5.00
Suficiente (Cuenta con 3 servicios básicos)	0.17	0.20	0.33	1,00	2.00
Optimo (Cuenta con más de 3 servicios)	0.13	0.17	0.20	0.50	1.00
SUMA	1.83	4.70	9.53	15.50	22.00
1/SUMA	0.55	0.21	0.10	0.06	0.05

Fuente: Equipo Técnico

Cuadro 69: Matriz de normalización del parámetro acceso a los servicios públicos

Acceso a los servicios públicos	Inadecuado (no cuenta con servicios básicos)	Insuficiente (Cuenta con un solo servicio básico)	Adecuado (Cuenta con dos servicios básicos)	Suficiente (Cuenta con 3 servicios básicos)	Optimo (Cuenta con más de 3 servicios)	Vector Priorización
Inadecuado (no cuenta con servicios básicos)	0.548	0.638	0.524	0.387	0.364	0.492
Insuficiente (Cuenta con un solo servicio básico)	0.183	0.213	0.315	0.323	0.273	0.261
Adecuado (Cuenta con dos servicios básicos)	0.110	0.071	0.105	0.194	0,227	0.141
Suficiente (Cuenta con 3 servicios básicos)	0.091	0.043	0.035	0.065	0.091	0.065
Optimo (Cuenta con más de 3 servicios)	0.068	0.035	0.021	0.032	0.045	0.041

Fuente: Equipo Técnico



Cuadro 70: Índice (IC) y relación de consistencia (RC) obtenido del proceso de análisis jerárquico para el parámetro acceso a los servicios públicos

IC	0.058
RC	0.05

c) Parámetro: Servicios higiénicos

Cuadro 71: Matriz de comparación de pares del parâmetro servicios higiénicos

Discapacidad	Motriz	Mental	Visual	Auditiva y/o del habla	Ninguna
Motriz	1.00	2.00	4.00	5.00	6.00
Mental	0.50	1,00	2.00	4.00	5.00
Visual	0.25	0.50	1.00	3.00	5.00
Auditiva y/o del habla	0.20	0.25	0.33	1.00	2.00
Ninguna	0.17	0.20	0.20	0.50	1.00
SUMA	2.12	3.95	7.53	13.50	19.00
1/SUMA	0.47	0.25	0.13	0.07	0.05

Fuente: Equipo Técnico

Cuadro 72: Matriz de normalización del parámetro servicios higiênicos

Discapacidad	Motriz	Mental	Visual	Auditiva y/o del habla	Ninguna	Vector Priorización
Motriz	0.472	0.506	0.531	0.370	0.316	0.439
Mental	0.236	0.253	0.265	0.296	0.263	0.263
Visual	0.118	0.127	0.133	0.222	0.263	0.173
Auditiva y/o del habla	0.094	0.063	0.044	0.074	0.105	0.076
Ninguna	0.079	0.051	0.027	0.037	0.053	0.049

Fuente: Equipo Técnico

Cuadro 73: Índice (IC) y relación de consistencia (RC) obtenido del proceso de análisis jerárquico para el parámetro servicios higiénicos.

IC	0.040
RC	0.04

Are, Fabiola/Hinejosa Figueroa EVALUADOR DE RIESGO R.J. Nº 008-2020-CENEPREDIJ A :: HOLD DAVID GARCIA ZAVALETA INGENIERO GEOLOGO EVALUADOR DE RIESGO R.D. N°011-2024-CENEPRED/OIFAT



4.2.1.3. Análisis de la Resiliencia en la Dimensión Social

Cuadro 74: Parámetros utilizados en la Resiliencia de la Dimensión Social

PARÁMETRO	Peso Ponderado
Nivel educativo	0.542
Tipo de seguro	0.233
Actitud frente al riesgo	0.140
Capacitación en temas de riesgo de desastres	0.085

Fuente: Equipo Técnico

Cuadro 75: Matriz de Comparación de Pares Resiliencia Social

RESILIENCIA	Nivel educativo	Tipo de seguro	Actitud frente al riesgo	Capacitación en temas de riesgo de desastres
Nivel educativo	1.00	3.00	4.00	5.00
Tipo de seguro	0.33	1.00	2.00	3.00
Actitud frente al riesgo	0.25	0.50	1.00	2.00
Capacitación en temas de riesgo de desastres	0.20	0.33	0.50	1.00
SUMA	1.78	4.83	7.50	11.00
1/SUMA	0.56	0.21	0.13	0.09

Fuente: Equipo Técnico

Arg. Fabiola Hihejosa Figueroa EVALUADOR DE RIESGO R.J. N° 008-2020-CENEPRED J

ARNOLD DAVID GARCIA ZAVALETA INGENIERO GEOLOGO EVALUADOR DE RIESGO R.D. N°011-2024-CENEPRED/DIFAT



Cuadro 76: Matriz de Normalización de Pares Resiliencia Social

RESILIENCIA	Nivel educativo	Tipo de seguro	Actitud frente al riesgo	Capacitación en temas de riesgo de desastres	Vector Priorización
Nivel educativo	0.561	0.621	0.533	0.455	0.542
Tipo de seguro	0.187	0.207	0.267	0.273	0.233
Actitud frente al riesgo	0.140	0.103	0.133	0.182	0.140
Capacitacion en temas de riesgo de desastres	0.112	0.069	0.067	0.091	0.085

Cuadro 77: Índice (IC) y Relación de Consistencia (RC) obtenido del Proceso de Análisis Jerárquico para el Parámetro Resiliencia Social.

IC	0.017
RC	0.02

Arg. Fabiola Hingjosa Figueroa EVALUADOR DE RIESGO R.J. Nº 688-2020-CENEPREDIJ

ARNOLD DAVID GARCIA ZAVALETA INGENIERO GEOLOGO EVALUADOR DE RIESGO R.D. N°011-2024 CENEPRED/DIFAT



a) Parámetro: Nivel Educativo

Cuadro 78: Matriz de comparación de pares del parámetro nivel educativo

Nivel Educativo	Ningûn nivel, inicial	Primaria	Secundaria	Instituto	Universidad
Ningún nivel, inicial	1.00	3.00	5.00	7.00	9.00
Primaria	0.33	1.00	3.00	5.00	7.00
Secundaria	0.20	0.33	1.00	3.00	5.00
Instituto	0.14	0.20	0.33	1.00	3.00
Universidad	0.11	0.14	0.20	0.33	1.00
SUMA	1.79	4.68	9.53	16.33	25.00
1/SUMA	0.56	0.21	0.10	0.06	0.04

Fuente: Equipo Técnico

Cuadro 79: Matriz de normalización de pares del parámetro nivel educativo

Ningún nivel, inicial	Primaria	Secundaria	Instituto	Universidad	Vector Priorización
0.560	0.642	0.524	0.429	0.360	0.503
0.187	0.214	0.315	0.306	0.280	0.260
0.112	0.071	0.105	0.184	0.200	0.134
0.080	0.043	0.035	0.061	0.120	0.068
0.062	0.031	0.021	0.020	0.040	0.035
	0.560 0.187 0.112 0.080	nivel, inicial Primaria 0.560 0.642 0.187 0.214 0.112 0.071 0.080 0.043	nivel, Inicial Primaria Secundaria 0.560 0.642 0.524 0.187 0.214 0.315 0.112 0.071 0.105 0.080 0.043 0.035	nivel, inicial Primaria inicial Secundaria instituto 0.560 0.642 0.524 0.429 0.187 0.214 0.315 0.306 0.112 0.071 0.105 0.184 0.080 0.043 0.035 0.061	nivel, inicial Primaria inicial Secundaria instituto Universidad Universidad 0.560 0.642 0.524 0.429 0.360 0.187 0.214 0.315 0.306 0.280 0.112 0.071 0.105 0.184 0.200 0.080 0.043 0.035 0.061 0.120

Fuente: Equipo Técnico

Cuadro 80: Índice (IC) y relación de consistencia (RC) obtenido del proceso de análisis jerárquico para el parámetro nivel educativo.

IC	0.061
RC	0.05

Arq. Fabiola Minojosa Figueroa EVALUADOR DE RIESGO R.J. Nº 008-2020-CENEPREDIJ ;

ARNOLD DAVID GARCIA ZAVALETA INGENIERO GEOLOGO EVALUADOR DE RIESGO R.D. N°011-2024-CENEPREDYONAT



b) Parámetro: Tipo de Seguro

Cuadro 81: Matriz de comparación de pares del parámetro tipo de seguro

Tipo de seguro	No tiene	Seguro Integral de Salud SIS	Seguro social de Salud ESSALUD	FFAA - PNP	Seguro privado
No tiene	1.00	2.00	4.00	5.00	8.00
Seguro Integral de Salud SIS	0.50	1:00	2.00	4.00	6.00
Seguro social de Salud ESSALUD	0.25	0.50	1.00	2.00	4.00
FFAA – PNP	0.20	0.25	0.50	1.00	2.00
Seguro privado	0.13	0.17	0.25	0.50	1.00
SUMA	2.08	3.92	7.75	12.50	21.00
1/SUMA	0.48	0.26	0.13	0.08	0.05

Fuente: Equipo Técnico

Cuadro 82: Matriz de normalización de pares del parámetro tipo de seguro

Tipo de Seguro	No tiene	SIS	EsSalud	FFAA/ PNP	Seguro Privado	Vector Priorización
No tiene	0.482	0.511	0.516	0.400	0.381	0.458
SIS	0.241	0.255	0.258	0.320	0.286	0.272
EsSalud	0.120	0.128	0.129	0.160	0.190	0.146
FFAA / PNP	0.096	0.064	0.065	0.080	0.095	0.080
Seguro Privado	0.060	0.043	0.032	0.040	0.048	0.045

Fuente: Equipo Técnico

Cuadro 83: Índice (IC) y relación de consistencia (RC) obtenido del proceso de análisis jerárquico para el parámetro tipo de seguro

IC	0.013
RC	0.01

Arg. Fabiola Hinojosa Figueroa EVALUADOR DE RESGO R.J. N°008-2020-CENEPREDIJ

ARMOLD DAVID GARCIA ZAVALETA INGENIERO GEOLOGO EVALUADOR DE RIESGO R.D. N°011-2024-CENEPRED/DIFAT



c) Parámetro: Actitud frente al riesgo

Cuadro 84: Matriz de comparación de pares del parámetro actitud frente al riesgo

Actitud frente al riesgo	Fatalist a	Escasamen te previsora	Parcialmente previsora sin implementaci ón de medidas para prevenir el riesgo	Parcialmente previsora e implementan do escasas medidas para prevenir el riesgo	Previsora , implementan do diversas medidas para prevenir el riesgo
Fatalista	1,00	2.00	4.00	5.00	6.00
Escasamente previsora	0.50	1.00	2.00	4.00	5.00
Parcialmente previsora sin implementaci on de medidas para prevenir el riesgo	0.25	0.50	1.00	3.00	5.00
Parcialmente previsora e implementan do escasas medidas para prevenir el riesgo	0.20	0.25	0.33	1.00	2.00
Previsora , implementan do diversas medidas para prevenir el riesgo	0.17	0.20	0.20	0.50	1,00
SUMA	2.12	3.95	7.53	13.50	19.00
1/SUMA	0.47	0.25	0.13	0.07	0.05

Fuente: Equipo Técnico

Arg. Fabiola Hinojosa Figueroa EVALUADOR DE RIESGO R.J. N° 008-2020-CENEPRED J



Cuadro 85: Matriz de normalización de pares del parámetro actitud frente al riesgo

Actitud frente al riesgo	Fatalista	Escasamente previsora	Parcialmente previsora sin implementación de medidas para prevenir el riesgo	Parcialmente previsora e implementando escasas medidas para prevenir el riesgo	Previsora , implementando diversas medidas para prevenir el riesgo	Vector Priorización
Fatalista	0.460	0.496	0.439	0.435	0.389	0.444
Escasamente previsora	0.230	0.248	0.293	0.261	0.278	0.262
Parcialmente previsora sin implementación de medidas para prevenir el riesgo	0.153	0.124	0.146	0.174	0.167	0.153
Parcialmente previsora e implementando escasas medidas para prevenir el riesgo	0.092	0.083	0.073	0.087	0.111	0.089
Previsora , implementando diversas medidas para prevenir el riesgo	0.066	0.050	0.049	0.043	0.056	0.053

Cuadro 86: Îndice (IC) y relación de consistencia (RC) obtenido del proceso de análisis jerárquico para el parámetro actitud frente al riesgo

IC	0.007
RC	0.01

Arq. Fabiola Hinojosa Figueroa EVALUADOR DE RESGO R.J. Nº 088-2020-CENEPREDIJ ;

ARNOLD DAVID GARCIA ZAVALETA INGENIERO GEÓLOGO EVALUADOR DE MESGO R.D. N°011-2024 CENEPRED/DIFAT



d) Parámetro: Capacitación en temas de riesgo de desastres

Cuadro 87: Matriz de comparación de pares del parámetro capacitación en temas de riesgo de desastres

Capacitación en temas de riesgo de desastres	No tiene	Con algunos conocimientos	Auto preparación	1 capacitación al año	2 capacitaciones al año
No tiene	1.00	2.00	3.00	4.00	6.00
Con algunos conocimientos	0.50	1.00	2.00	3.00	5.00
Auto preparación	0.33	0.50	1.00	2.00	4.00
1 capacitación al año	0.25	0.33	0.50	1.00	3.00
2 capacitaciones al año	0.17	0.20	0.25	0.33	1.00
SUMA	2.25	4.03	6.75	10.33	19.00
1/SUMA	0.44	0.25	0.15	0.10	0.05

Fuente: Equipo Técnico

Cuadro 88: Matriz de normalización de pares del parámetro capacitación en temas de riesgo de desastres

Capacitación en temas de riesgo de desastres	No tiene	Con algunos conocimientos	Auto preparación	1 capacitación al año	2 capacitaciones al año	Vector Priorización
No tiene	0.444	0.496	0.444	0.387	0.316	0.418
Con algunos conocimientos	0.222	0.248	0.296	0.290	0.263	0.264
Auto preparación	0.148	0.124	0.148	0.194	0.211	0.165
1 capacitación al año	0.111	0.083	0.074	0.097	0.158	0.104
2 capacitaciones al año	0.074	0.050	0.037	0.032	0.053	0.049

Fuente: Equipo Técnico

Cuadro 89: Índice (IC) y relación de consistencia (RC) obtenido del proceso de análisis jerárquico para el parámetro capacitación en temas de riesgo de desastres

IC	0.025
RC	0.02

Arq. Fabiola Hinojosa Figueroa EVALUADOR DE RIESGÓ R.J. Nº 908-2020-CENEPREDIJ

ARNOLD DAVID GARCIA ZAVALETA INGENIERO GFOLOGO EVALUADOR DE RIESGO R.D. N°011 2024-CENEPRED/DIFAT



4.2.2. ANÁLISIS DE LA DIMENSIÓN ECONÓMICA

Para el análisis de la vulnerabilidad en su dimensión económica, se evaluaron los siguientes parámetros:

Cuadro 90: Parámetros de la Dimensión Económica

	DIMENSIÓN ECONÓMICA		
EXPOSICIÓN	FRAGILIDAD	RESILIENCIA	
Propiedad expuesta	Material de construcción de la vivienda	Nivel de Asistencia	
	Cimientos de la edificación	Técnica Constructivo	
	Número de pisos de la vivienda	Nivel de Asistencia	
	Estado de conservación de la vivienda	Técnica Constructivo	

Fuente: Equipo Técnico

4.2.2.1. Análisis de la Exposición en la Dimensión Económica

Cuadro 91: Parámetros utilizados en la Exposición de la Dimensión Económica

PARAMETRO	Peso Ponderado		
Propiedad expuesta	1.000		

Fuente: Equipo Técnico

Arq. Fabiola Hinojosa Figueroa EMLUNDOR DE RESGO R.J. N° 008-2026-CENEPREDU

ARNOLD DAVID GARCIA ZAVALETA INGENIERO GEOLOGO EVALUACIOR DE RIESGO R.D. N°011-2024-CENEPRED/DIFAT



a) Parámetro: Propiedad expuesta

Cuadro 92: Matriz de comparación de pares del parámetro propiedad expuesta

Propiedad expuesta	En zona de peligro muy alto	En zona de peligro alto	En zona de peligro medio	En zona de peligro bajo	En zona no peligrosa
En zona de peligro muy alto	1.00	2.00	3.00	5,00	7.00
En zona de peligro alto	0.50	1.00	2.00	3.00	5.00
En zona de peligro medio	0.33	0.50	1.00	2.00	3.00
En zona de peligro bajo	0.20	0.33	0.50	1.00	2.00
En zona no peligrosa	0.14	0.20	0.33	0.50	1.00
SUMA	2.18	4.03	6.83	11.50	18.00
1/SUMA	0.46	0.25	0.15	0.09	0.06

Fuente: Equipo Técnico

Cuadro 93: Matriz de normalización del parámetro propiedad expuesta

Propiedad expuesta	En zona de peligro muy alto	En zona de peligro alto	En zona de peligro medio	En zona de peligro bajo	En zona no peligrosa	Vector Priorización
En zona de peligro muy alto	0.460	0.496	0.439	0.435	0.389	0.444
En zona de peligro alto	0.230	0.248	0.293	0.261	0.278	0.262
En zona de peligro medio	0.153	0.124	0.146	0.174	0,167	0.153
En zona de peligro bajo	0.092	0.083	0.073	0.087	0.111	0.089
En zona no peligrosa	0.066	0.050	0.049	0.043	0.056	0.053

Fuente: Equipo Técnico

Cuadro 94: Índice (IC) y relación de consistencia (RC) obtenido del proceso de análisis jerárquico para el parámetro propiedad expuesta.

IC	0.007
RC	0.01

Arq. Fabiola Himelosa Figueroa EVALUADOR DE RESGO R.J. Nº 048-2020-CENEPREDIJ

ARNOLD DAVID GARCIA ZAVALETA INGENIERO GEOLOGO EVALUADOR DE RIESGO A.D. N°OL1-207A-CENEPRED/DIFAT



4.2.2.2. Análisis de la Fragilidad en la Dimensión Económica

Cuadro 95: Parámetros utilizados en la Exposición de la Dimensión Económica

PARÁMETRO	Peso Ponderado
Material de construcción de la vivienda	0.534
Cimientos de la edificación	0.264
Número de pisos de la vivienda	0.137
Estado de conservación de la vivienda	0.065

Fuente: Equipo Técnico

Cuadro 96: Matriz de comparación de pares Fragilidad Económica

FRAGILIDAD	Material de construcción de la vivienda	Cimientos de la edificación	Número de pisos de la vivienda	Estado de conservación de la vivienda
Material de construcción de la vivienda	1.00	3.00	4.00	6.00
Cimientos de la edificación	0.33	1.00	3.00	4.00
Número de pisos de la vivienda	0.25	0.33	1.00	3.00
Estado de conservación de la vivienda	0.17	0.25	0.33	1.00
SUMA	1.75	4.58	8.33	14.00
1/SUMA	0.57	0.22	0.12	0.07

Fuente: Equipo Técnico

Arq. Fabiola Hinojosa Figueroa EVALUADOR DE RIESGO R.J. Nº 008/2021-CEMEPREDIJ

ARNOLD CAVID GARCIA ZAVALETA INGENIERO GEÓLOGO EVALUADOR DE RIESGO R.D. N°011-2024-CENEPRED/OIFAT



Cuadro 97: Matriz de normalización de pares Fragilidad Económica

FRAGILIDAD	Material de construcción de la edificación	Número de pisos de la vivienda	Estado de conservación	Antigüedad de la construcción	Vector Priorización
Material de construcción de la edificación	0.571	0.655	0.480	0.429	0.534
Número de pisos de la vivienda	0.190	0.218	0.360	0.286	0.264
Estado de conservación	0.143	0.073	0.120	0.214	0.137
Antigüedad de la construcción	0.095	0.055	0.040	0.071	0.065

Cuadro 98: Índice (IC) y relación de consistencia (RC) obtenido del proceso de análisis jerárquico para el parámetro Fragilidad Económica.

IC	0.049
RC	0.06

Arq. Fabiole Hinojosa Figueroa EVALUNDOR DE RIESGO R.J. Nº 008-2023-CENEPREDU

ARNOLD DAVID GARCIA ZAVALETA INGENIERO GEOLOGO EVALUADOR DE RIESGO R.D. N'011-2026-CENEPRED/DIFAT



a) Parámetro: Material de Construcción de la edificación

Cuadro 99: Matriz de comparación de pares del parámetro material de construcción de la edificación

Material de construcción de la edificación	Estera u otro material	Madera/triplay	Quincha	Adobe/Tapial	Ladrillo/concreto
Estera u otro material	1.00	2.00	4.00	7.00	9.00
Madera/triplay	0.50	1.00	3.00	5.00	7.00
Quincha	0.25	0.33	1.00	3.00	5.00
Adobe/Tapial	0.14	0.20	0.33	1.00	3.00
Ladrillo/concreto	0.11	0.14	0.20	0.33	1.00
SUMA	2.00	3.68	8.53	16.33	25.00
1/SUMA	0.50	0.27	0.12	0.06	0.04

Fuente: Equipo Técnico

Cuadro 100: Matriz de normalización del parámetro material de construcción de la edificación

Material de construcción de la edificación	Estera u otro material	Madera /triplay	Quincha	Adobe /Tapial	Ladrillo /concreto	Vector Priorizació n
Estera u otro material	0.499	0.544	0.469	0.429	0.360	0.460
Madera/tripla V	0.250	0.272	0.352	0.306	0.280	0.292
Quincha	0.125	0.091	0.117	0.184	0.200	0.143
Adobe/Tapial	0.071	0.054	0.039	0.061	0.120	0.069
Ladrillo/conc reto	0.055	0.039	0.023	0.020	0.040	0.036

Fuente: Equipo Técnico

Cuadro 101: Índice (IC) y relación de consistencia (RC) obtenido del proceso de análisis jerárquico para el parámetro material de construcción de la edificación.

IC	0.041
RC	0.04

Arq. Fabiole Hinojosa Figueroa EVALUADOR DE RESSÓ R.J. Nº 008-2020-CENEPREDIJ |

ARNOLD DAVID GARCIA ZAVALETA INGENIERO GEOLOGO EVALLIADOR DE RIESGO R.D. N°011-7024-CENEPRED/DIFAT



b) Parámetro: Cimientos de la edificación

Cuadro 102: Matriz de comparación de pares del parámetro cimientos de la edificación

Cimientos de la edificación	Sin cimientos	Losa superficial	Cimientos y columnas	Placas y columnas	Losa de cimentación
Sin cimientos	1.00	2.00	4.00	6.00	8.00
Losa superficial	0.50	1.00	2.00	4.00	6.00
Cimientos y columnas	0.25	0.50	1.00	2.00	4.00
Placas y columnas	0.17	0.25	0.50	1.00	2.00
Losa de cimentación	0.13	0.17	0.25	0.50	1.00
SUMA	2.04	3.92	7.75	13.50	21.00
1/SUMA	0.49	0.26	0.13	0.07	0.05

Fuente: Equipo Técnico

Cuadro 103: Matriz de normalización del parámetro cimientos de la edificación

Cimientos de la edificación	Sin cimientos	Losa superficial	Cimientos y columnas	Placas y columnas	Losa de cimentación	Vector Priorización
Sin cimientos	0.490	0.511	0.516	0.444	0.381	0.468
Losa superficial	0.245	0.255	0.258	0.296	0.286	0.268
Cimientos y columnas	0.122	0.128	0.129	0.148	0.190	0.144
Placas y columnas	0.082	0.064	0.065	0.074	0.095	0.076
Losa de cimentación	0.061	0.043	0.032	0.037	0.048	0.044

Fuente: Equipo Técnico

Cuadro 104: Índice (IC) y relación de consistencia (RC) obtenido del proceso de análisis jerárquico para el parámetro cimientos de la edificación

IC	0.012
RC	0.01

Arq. Fabiola Hinojosa Figueroa ENLUADOR DE RESGO R.J. Nº 008-2020-CENEPRED: J ARNOLD DAVID GARCIA ZAVALETA INGENIERO GEOLOGO EVALUADOR DE RIESGO R.D. N°011-2024-CENEPRED/DIFAT



c) Parámetro: Número de pisos de la vivienda

Cuadro 105: Matriz de comparación de pares del parámetro número de pisos de la vivienda

Número de pisos de la vivienda	Mayor a 5 pisos	4 pisos	3 pisos	2 pisos	1 piso
Mayor a 5 pisos	1.00	2.00	3.00	5.00	7.00
4 pisos	0.50	1.00	2.00	3.00	5.00
3 pisos	0.33	0.50	1.00	2.00	3.00
2 pisos	0.20	0.33	0.50	1.00	2.00
1 piso	0.14	0.20	0.33	0.50	1.00
SUMA	2.18	4.03	6.83	11.50	18.00
1/SUMA	0.46	0.25	0.15	0.09	0.06

Fuente: Equipo Técnico

Cuadro 106: Matriz de normalización del parámetro número de pisos de la vivienda

Número de pisos de la vivienda	Mayor a 5 pisos	4 pisos	3 pisos	2 pisos	1 piso	Vector Priorización
Mayor a 5 pisos	0.460	0.496	0.439	0.435	0.389	0.444
4 pisos	0.230	0.248	0.293	0.261	0.278	0.262
3 pisos	0.153	0.124	0.146	0.174	0.167	0.153
2 pisos	0.092	0.083	0.073	0.087	0.111	0.089
1 piso	0.066	0.050	0.049	0.043	0.056	0.053

Fuente: Equipo Técnico

Cuadro 107: Índice (IC) y relación de consistencia (RC) obtenido del proceso de análisis jerárquico para el parámetro número de pisos de la vivienda

IC	0.007
RC	0.01

Arq. Fabiola Hinojosa Figueroa ENALUADOR DE RIESGO R.J. Nº 888-2020-CENEPREDIJ

ANNOLD DAVID GARCIA ZAVALETA INGENIERO GEOLOGO EVALMADOR DE RIESGO R.D. N°D11-2024-CENEPRED/DIFAT



d) Parámetro: Estado de Conservación

Cuadro 108: Matriz de comparación de pares del parámetro estado de conservación predominante

Estado de conservación predominante	Muy mala	Mala	Regular	Buena	Muy buena
Muy mala	1.00	2.00	3.00	5.00	7.00
Mala	0.50	1.00	2.00	3.00	5.00
Regular	0.33	0.50	1.00	2.00	3.00
Buena	0.20	0.33	0.50	1.00	2.00
Muy buena	0.14	0.20	0.33	0.50	1.00
SUMA	2.18	4.03	6.83	11.50	18.00
1/SUMA	0.46	0.25	0.15	0.09	0.06
1/SUMA	0.46	0.25	0.15	0.09	

Fuente: Equipo Técnico

Cuadro 109: Matriz de normalización de pares del parámetro estado de conservación predominante

Muy mala	Mala	Regular	Buena	Muy buena	Vector Priorización
0.460	0.496	0.439	0.435	0.389	0.444
0.230	0,248	0.293	0.261	0.278	0.262
0.153	0.124	0.146	0.174	0.167	0.153
0.092	0.083	0.073	0.087	0.111	0.089
0.066	0.050	0.049	0.043	0.056	0.053
	0.460 0.230 0.153 0.092	0.460 0.496 0.230 0.248 0.153 0.124 0.092 0.083	0.460 0.496 0.439 0.230 0.248 0.293 0.153 0.124 0.146 0.092 0.083 0.073	0.460 0.496 0.439 0.435 0.230 0.248 0.293 0.261 0.153 0.124 0.146 0.174 0.092 0.083 0.073 0.087	Muy mala Mala Regular Buena buena 0.460 0.496 0.439 0.435 0.389 0.230 0.248 0.293 0.261 0.278 0.153 0.124 0.146 0.174 0.167 0.092 0.083 0.073 0.087 0.111

Fuente: Equipo Técnico

Cuadro 110: Índice (IC) y relación de consistencia (RC) obtenido del proceso de análisis jerárquico para el parámetro estado de conservación predominante.

IC	0.007
RC	0.01

Arq. Fabiola Hinojosa Figueroa EVALUADOR DE RESGO R.J. Nº 808-2020-CENEPRED/J ARNOLD DAVID GARCIA ZAVALETA INGENIERO GEOLOGO EVALUADOR DE RIESGO R.D. N°011-2024-CENEPRED/DIFAT



4.2.2.3. Análisis de la Resiliencia en la Dimensión Económica

Cuadro 111: Parámetros utilizados en la Resiliencia de la Dimensión Económica

PARÁMETRO	Peso Ponderado
Nivel de Asistencia Técnica Constructivo	0.600
Ingreso familiar promedio mensual	0.400

Fuente: Equipo Técnico

a) Parámetro: Nivel de Asistencia Técnica en el Proceso Constructivo

Cuadro 112: Matriz de comparación de pares del parámetro nivel de asistencia técnica en el proceso constructivo

Nível de Asistencia Técnica en el Proceso Constructivo	Autoconstrucción	Mediana orientación técnica (maestro de obra)	Con orientación técnica (SENCICO)	Con orientación profesional	Sin construir
Autoconstrucción	1.00	2.00	4.00	5.00	7.00
Mediana orientación técnica (maestro de obra)	0.50	1,00	2.00	4.00	5,00
Con orientación técnica (SENCICO)	0.25	0.50	1.00	2.00	4.00
Con orientación profesional	0.20	0.25	0.50	1.00	2.00
Sin construir	0.14	0.20	0.25	0.50	1.00
SUMA	2.09	3.95	7.75	12.50	19.00
1/SUMA	0.48	0.25	0.13	0.08	0.05

Fuente: Equipo Técnico

Arq. Fabiola Hinojosa Figueroa EVALUNDOR DE RESGO R.J. N° 908-2026-CENEPRED: J

ARNOLD DAVID GARCIA ZAVALETA INGENIERO GEDLOGO EVALUADOR DE RIESGO R.D. N°011-2024 CENEPRED/DIFAT



Cuadro 113: Matriz de normalización del parámetro nivel de asistencia técnica en el proceso constructivo

Nivel de Asistencia Técnica en el Proceso Constructivo	Autoconstrucción	Mediana orientación técnica (maestro de obra)	Con orientación técnica (SENCICO)	Con orientación profesional	Sin construir	Vector Priorización
Autoconstrucción	0.478	0.506	0.516	0.400	0.368	0.454
Mediana orientación técnica (maestro de obra)	0.239	0.253	0.258	0.320	0.263	0.267
Con orientación técnica (SENCICO)	0.119	0.127	0.129	0.160	0.211	0.149
Con orientación profesional	0.096	0.063	0.065	0.080	0.105	0.082
Sin construir	0.068	0.051	0.032	0.040	0.053	0.049

Fuente: Equipo Técnico

Cuadro 114: Índice (IC) y relación de consistencia (RC) obtenido del proceso de análisis jerárquico para el parámetro nivel de asistencia técnica en el proceso constructivo

IC	0.018
RC	0.02

Arq. Fabiola Hinojosa Figueroa EVALUADOR DE RESGO R.J. Nº 808-2020-CENEPREDU ARNOLD DAVID GARCIA ZAVALETA INGENIERO GEOLOGO EVALUADOR DE MESGO R.O. Nº011-2074-CENEPRED/DIFAT



b) Parámetro: Ingreso familiar promedio mensual

Cuadro 115: Matriz de comparación de pares del parámetro ingreso familiar promedio mensual

Ingreso familiar promedio mensual	Menor a 500 soles	De 500 a 930 soles	De 930 a 1200 soles	De 1200 a 1500 soles	Más de 1500 soles
Menor a 500 soles	1.00	3.00	5.00	7.00	9.00
De 500 a 930 soles	0.33	1.00	3.00	5.00	7.00
De 930 a 1200 soles	0.20	0.33	1.00	3.00	5.00
De 1200 a 1500 soles	0.14	0.20	0.33	1,00	3.00
Más de 1500 soles	0.11	0.14	0.20	0.33	1.00
SUMA	1.79	4.68	9.53	16.33	25.00
1/SUMA	0.56	0.21	0,10	0.06	0.04

Fuente: Equipo Técnico

Cuadro 116: Matriz de normalización de pares del parámetro ingreso familiar promedio mensual

Ingreso familiar promedio mensual	Menor a 500 soles	De 500 a 930 soles	De 930 a 1200 soles	De 1200 a 1500 soles	Mas de 1500 soles	Vector Priorización
Menor a 500 soles	0.560	0.642	0.524	0.429	0.360	0.503
De 500 a 930 soles	0.187	0.214	0.315	0.306	0.280	0.260
De 930 a 1200 soles	0.112	0.071	0.105	0.184	0.200	0.134
De 1200 a 1500 soles	0.080	0.043	0.035	0.061	0.120	0.068
Más de 1500 soles	0.062	0.031	0.021	0.020	0.040	0.035

Fuente: Equipo Técnico

Cuadro 117: Índice (IC) y relación de consistencia (RC) obtenido del proceso de análisis jerárquico para el parámetro ingreso familiar promedio mensual

IC	0.061		
RC	0.05		

Arq. Fabiola Hinojosa Figueroa EVALUADOR DE RESGO R.J. Nº 008-2020-CENEPREDIJ ARNOLD DAVID GARCIA ZAVALETA INGENIERO GEOLOGO EVALUADOR DE RIESGO R.D. N'011-2024-CENEPREO/DIFAT



4.2.3. ANÁLISIS DE LA DIMENSIÓN AMBIENTAL

Para el análisis de la vulnerabilidad en su dimensión ambiental, se evaluaron los siguientes parámetros:

Cuadro 118: Parámetros de la Dimensión Ambiental

	DIMENSIÓN AMBIENTAL	
EXPOSICIÓN	FRAGILIDAD	RESILIENCIA
Distancia al punto de acopio de RR.SS.		
	Disposición final de los residuos solidos	capacitación en temática ambiental

Fuente: Equipo Técnico

4.2.3.1. Análisis de la Exposición en la Dimensión Ambiental

Cuadro 119: Parámetros utilizados en la Exposición de la Dimensión Ambiental

PARÁMETRO	Peso Ponderado
Distancia al punto de acopio de residuos sólidos	1.000

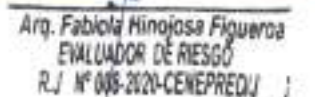
Fuente: Equipo Técnico

a) Parámetro: Distancia al punto de acopio de residuos sólidos

Cuadro 120: Matriz de comparación de pares del parámetro distancia al punto de acopio de residuos sólidos

Distancia del lote al punto de acopio de RR.SS.	A más de 300 metros	De 250 a 300 metros	De 200 a 250 metros	De 150 a 200 metros	Menor a 150 metros
A más de 300 metros	1.00	2.00	3.00	5.00	6.00
De 250 a 300 metros	0.50	1.00	2.00	3.00	4.00
De 200 a 250 metros	0.33	0.50	1.00	2.00	3.00
De 150 a 200 metros	0.20	0.33	0.50	1.00	2.00
Menor a 150 metros	0.17	0.25	0.33	0.50	1.00
SUMA //	2.20	4.08	6.83	11.50	16.00
1/SUMA	0.45	0.24	0.15	0.09	0.06

Fuente: Equipo Técnico





Cuadro 121: Matriz de normalización de pares del parâmetro distancia al punto de acopio de residuos sólidos

A más de 300 metros	De 250 a 300 metros	De 200 a 250 metros	De 150 a 200 metros	Menor a 150 metros	Vector Priorización
0.455	0.490	0.439	0.435	0.375	
0.227	0.245	0.293	1.000000	716.13.4	0.439
0.152	0.122	0.146		S1225050	0.255
0.091	0.082	1 2000000	Texas	1000000	0.156
7807570	2004.52			333,355	0.092
	300 metros 0.455 0.227 0.152	300 De 250 a 300 metros 0.455 0.490 0.227 0.245 0.152 0.122 0.091 0.082	300 metros De 250 a 250 metros De 200 a 250 metros 0.455 0.490 0.439 0.227 0.245 0.293 0.152 0.122 0.146 0.091 0.082 0.073	300 metros De 250 a 300 metros De 200 a 250 metros De 150 a 200 metros 0.455 0.490 0.439 0.435 0.227 0.245 0.293 0.261 0.152 0.122 0.146 0.174 0.091 0.082 0.073 0.087	300 metros De 250 a 300 metros De 200 a 250 metros De 150 a 200 metros Menor a 150 metros 0.455 0.490 0.439 0.435 0.375 0.227 0.245 0.293 0.261 0.250 0.152 0.122 0.146 0.174 0.188 0.091 0.082 0.073 0.087 0.125

Fuente: Equipo Técnico

Cuadro 122: Índice (IC) y relación de consistencia (RC) obtenido del proceso de análisis jerárquico para el parâmetro distancia al punto de acopio de residuos sólidos.

IC	0.012
RC	0.01

4.2.3.2. Análisis de la Fragilidad en la Dimensión Ambiental

Cuadro 123: Parámetros utilizados en la Fragilidad de la Dimensión Ambiental

PARAMETRO	Peso Ponderado
Manejo de los desperdicios	0.600
Disposición final de los residuos solidos	0.400

Fuente: Equipo Técnico

Arq. Fabiqla Hinojosa Figueroa EVALUADOR DE RIESGO R.J Nº 008-2020-CENEPREDIJ

ARMOLD DAVID GARCIA ZAVALETA INGENIERO GEÓLOGO EVALUADOR DE RIESGO R.D. N°011-2024-CENEPRED/DIFAT



a) Parámetro: Manejo de los desperdicios

Cuadro 124: Matriz de comparación de pares del parámetro manejo de los desperdicios

Manejo de los desperdicios	Sin manejo	Deposita en un solo tacho	Selecciona orgánico e inorgánico	Reusó y/o hacer abono	Clasificación por material
Sin manejo	1.00	2.00	3.00	4.00	7.00
Deposita en un solo tacho	0.50	1,00	2.00	3.00	6.00
Selecciona orgánico e inorgánico	0.33	0.50	1.00	2.00	5.00
Reusó y/o hacer abono	0,25	0.33	0.50	1.00	2.00
Clasificación por material	0.14	0.17	0.20	0.50	1.00
SUMA	2.23	4.00	6.70	10.50	21.00
1/SUMA	0.45	0.25	0.15	0.10	0.05

Fuente: Equipo Técnico

Cuadro 125: Matriz de normalización del parámetro manejo de los desperdicios

Manejo de los desperdicios	Sin manejo	Deposita en un solo tacho	Selecciona orgánico e inorgánico	Reusó y/o hacer abono	Clasificación por material	Vector Priorización
Sin manejo	0.449	0.500	0.448	0.381	0.333	0.422
Deposita en un solo tacho	0.225	0.250	0.299	0.286	0.286	0.269
Selecciona orgánico e inorgánico	0.150	0.125	0.149	0.190	0.238	0.171
Reusó y/o hacer abono	0.112	0.083	0.075	0.095	0.095	0.092
Clasificación por material	0.064	0.042	0.030	0.048	0.048	0.046

Fuente: Equipo Técnico

Cuadro 126: Îndice (IC) y relación de consistencia (RC) obtenido del proceso de análisis jerárquico para el parámetro manejo de los desperdicios.

IC	0.017
RC	0.02

Arq. Fabiola Himpjosa Figueroa EVALUADOR DE RESCO R.J. Nº 008-2029-CENEPREDIJ

ARNOLD DAVID GARCIA ZAVALETA INGENIERO GEÓLOGO EVALUADOR DE RIESGO R.D. Nº011-2024-CENEPRED/DIFAT



b) Parámetro: Disposición final de los residuos sólidos

Cuadro 127: Matriz de comparación de pares del parámetro residuos sólidos

Disposición final de los RR. SS.	Desechan en quebrada y cauces	Quema de residuos solidos	Desechan en vias o calles	Desechan en botaderos	Camión recolector
Desechan en quebrada y cauces	1.00	2.00	4.00	6.00	8.00
Quema de residuos solidos	0.50	1.00	2.00	4.00	6.00
Desechan en vias o calles	0.25	0.50	1.00	2.00	4.00
Desechan en botaderos	0.17	0.25	0.50	1.00	2.00
Camión recolector	0.13	0.17	0.25	0.50	1.00
SUMA	2.04	3.92	7.75	13.50	21.00
1/SUMA	0.49	0.26	0.13	0.07	0.05

Fuente: Equipo Técnico

Cuadro 128: Matriz de normalización del parámetro residuos sólidos

Disposición final de los RR. SS.	Desechan en quebrada y cauces	Quema de residuos solidos	Desechan en vias o calles	Desechan en botaderos	Camión recolector	Vector Priorización
Desechan en quebrada y cauces	0.490	0.511	0.516	0.444	0.381	0.468
Quema de residuos solidos	0.245	0.255	0.258	0.296	0.286	0.268
Desechan en vias o calles	0.122	0.128	0,129	0.148	0,190	0.144
Desechan en botaderos	0.082	0.064	0.065	0.074	0.095	0.076
Camión recolector	0.061	0.043	0.032	0.037	0.048	0.044

Fuente: Equipo Técnico

Cuadro 129: Índice (IC) y relación de consistencia (RC) obtenido del proceso de análisis jerárquico para el parámetro residuos sólidos.

IC	0.012
RC	0.01

Arq. Fabiola Hinojosa Figueroa EVALUADOR DE RIESGO R.J. Nº 008-2020-CENEPREDIJ

ARNOLD DAVID GARCIA ZAVALETA INGENIERO GEOLOGO EVALUADOR DE RIESGO R.D. N°051-2024-CENEPRED/DIFAT



4.2.3.3. Análisis de la Resiliencia en la Dimensión Ambiental

Cuadro 130: Parámetros utilizados en la Resiliencia de la Dimensión Ambiental

PARÁMETRO	Peso Ponderado
Charlas de capacitación en temática ambiental	1.000

Fuente: Equipo Técnico

a) Parámetro: Charlas de capacitación en temática ambiental

Cuadro 131: Matriz de comparación de pares del parámetro charles de capacitación en temática ambiental

Charlas de capacitación en temática ambiental	No tiene	Auto preparación	1 capacitación al año	2 capacitaciones al año	Más de 2 capacitaciones al año
No tiene	1.00	2.00	3.00	4.00	5.00
Auto preparación	0.50	1.00	2.00	3.00	4.00
1 capacitación al año	0.33	0.50	1:00	2.00	3.00
2 capacitaciones al año	0.25	0.33	0.50	1,00	2.00
Más de 2 capacitaciones al año	0.20	0.25	0.33	0.50	1.00
SUMA	2.28	4.08	6.83	10.50	15.00
1/SUMA	0.44	0.24	0.15	0.10	0.07

Fuente: Equipo Técnico

Arq. Fabiola Hinojosa Figueraa EVALUADOR DE RESCO R.J. N° 908-2020-CENEPRED: J

ARNOLD DAVID GARCIA ZAVALETA INGENIERO GEOLOGO EVALUADOR DE RIESGO R.D. N°011 2024-CENEPRED/DIFAT



Cuadro 132: Matriz de normalización del parámetro Charlas de capacitación en temática ambiental

Charlas de capacitación en temática ambiental	No tiene	Auto preparación	1 capacitación al año	2 capacitaciones al año	Más de 2 capacitacio nes al año	Vector Priorizaci on
No tiene	0.438	0.490	0.439	0.381	0.333	0.416
Auto preparación	0.219	0.245	0.293	0.286	0.267	0.262
1 capacitación al año	0.146	0.122	0.146	0.190	0.200	0.161
2 capacitaciones al año	0.109	0.082	0.073	0.095	0.133	0.099
Más de 2 capacitaciones al año	0.088	0.061	0.049	0.048	0.067	0.062

Fuente: Equipo Técnico

Cuadro 133: Índice (IC) y relación de consistencia (RC) obtenido del proceso de análisis jerárquico para el parámetro charlas de capacitación en temática ambiental.

IC	0.017		
RC	0.02		

Arg. Fabiola Hinolosa Figueroa EVALUADOR DE RIESGO R.J. N° 008/2020-CENEFREDIJ

ARMOLD DAVID GARCIA ZAVALETA INGENIERO GEÓLOGO EVALUADOR DE RIESGO R.D. N°013-2024-CENEPREO/OIFAT



Cuadro 134: Resumen de Dimensiones, Factores y Parâmetros de la Vulnerabilidad

DIMENSIÓN		FACT	OR	PARAMETRO		DESCRIPTOR	
NOMBRE	PESO	NOMBRE	PESO	NOMBRE	PESO	CLASIFICACIÓN	PESC
		2400				Más de 11 personas	0.444
		, NO		Total de		De 09 a 10 personas	0.262
		Sic	0.539	personas por	1.000	De 07 a 08 personas	0.153
		EXPOSICIÓN		vivienda		De 05 a 06 personas	0.089
		ш				Menos a 04 personas	0.053
-1	1					De 0 a 5 años y mayor a 65 años	0.481
					0.574	De 6 a 12 años y de 60 a 64 años	0.269
				Grupo etario	0.571	De 13 a 15 años y de 50 a 59 años	0.139
						De 16 a 25 años	0.07
		*888 FRAGILIDAD	0.297			De 26 a 49 años	0.04
				Acceso a los Servicios Públicos	0.286	Inadecuado (no cuenta con servicios básicos)	0.49
						Insuficiente (Cuenta con un solo servicio básico)	0.26
SOCIAL	58%					Adecuado (Cuenta con dos servicios básicos)	0.14
						Suficiente (Cuenta con 3 servicios básicos)	0.06
						Optimo (Cuenta con más de 3 servicios)	0.04
						Motriz	0.43
						Mental	0.26
				Discapacidad	0.143	Visual	0.17
				374		Auditiva y/o del habla	0.07
	1					Ninguna	0.04
						Ningún nivel, inicial	0.50
		ICIA		NO. 1		Primaria	0.26
		RESILENCIA	0.164	Nivel educativo	0.542	Secundaria	0.13
	1	RES				Instituto	0.06
	11					Universidad	0.03



						No tiene	0.458				
				Tipo de		Seguro Integral de Salud SIS	0.272				
				Tipo de seguro	0.233	Seguro social de Salud ESSALUD	0.146				
						FFAA - PNP	0.080				
						Seguro privado	0.045				
						Fatalista	0.444				
						Escasamente previsora	0.262				
				Actitud frente al riesgo	A 200 C C C C C C C C C C C C C C C C C C	ACC 2010/00/00/00 11	A 200 (C. 200	ASS 5 (ASS 5 (AS	Actitud frente al riesgo 0.140	Parcialmente previsora sin implementación de medidas para prevenir el riesgo	0.153
										0,140	Parcialmente previsora e implementando escasas medidas para prevenir el riesgo
						Previsora , implementando diversas medidas para prevenir el riesgo	0.053				
						No tiene	0.41				
				Capacitación		Con algunos conocimientos	0.26				
				en temas de riesgo de	0.085	Autopreparación	0.16				
				desastres		1 capacitación al año	0.10				
						2 capacitaciones al año	0.04				
						En zona de peligro muy alto	0.44				
4		z				En zona de peligro alto	0.26				
ECONÓMICA	31%	31% EXPOSICIÓN 0.238	0.539	Propiedad	1,000	En zona de peligro medio	0.15				
ECON	33.5		08/0/5.2	expuesta		En zona de peligro bajo	0.08				
						En zona no peligrosa	0.05				



					Estera u otro material	0.460
			Material de		Madera/triplay	0.292
			construcción	0.534	Quincha	0.143
			de la vivienda		Adobe/Tapial	0.069
					Ladrillo/concreto	0.036
					Sin cimientos	0.458
					Losa superficial	0.268
			Cimientos de la edificación	0.264	Cimientos y columnas	0.144
					Placas y columnas	0.076
	LIDAC	0.000			Losa de cimentación	0.044
	FRAGILIDAD	0.297	Número de pisos de la vivienda Estado de conservación	0.137	mayor a 5 pisos	0.444
	E				4 pisos	0.262
					3 pisos	0.153
					2 pisos	0.089
					1 pisos	0.053
					Muy mala	0.444
					Mala	0.262
				0.065	Regular	0.153
			de la vivienda		Buena	0.089
					Muy buena	0.053
Occurrency					Autoconstrucción	0.454
	A		Nivel de		Mediana orientación técnica (maestro de obra)	0.267
	LENC	0.164	Asistencia Técnica	0.600	Con orientación técnica (SENCICO)	0.149
	RESIL		Constructivo		Con orientación profesional	0.082
//					Sin construir	0.049
1				0.400	Menor a 500 soles	0.503



						De 500 a 930 soles	0.260
				Ingreso familiar		De 930 a 1200 soles	0.134
				promedio mensual		De 1200 a 1500 soles	0.068
				mensual		Más de 1500 soles	0.038
						A más de 300 metros	0.439
		Ņ		Distancia de		De 250 a 300 metros	0.25
		EXPOSICIÓN	0.539	la manzana al punto de	1.000	De 200 a 250 metros	0.156
		X.		acopio de RR.SS.		De 150 a 200 metros	0.09
						Menor a 150 metros	0.05
						Sin manejo	0.42
				Manejo de los desperdicios		Deposita en un solo tacho	0.26
					0.600	Selecciona orgánico e inorgánico	0.17
		FRAGILIDAD	0.297			Reusó y/o hacer abono	0.09
ITAL						Clasificación por material	0.04
AMBIENTAL	11%	RAGII		Disposición final de los residuos	0.400	Desechan en quebrada y cauces	0.46
A						Quema de residuos solidos	0.26
						Desechan en vias o calles	0.14
				solidos		Desechan en botaderos	0.07
						Camión recolector	0.04
						No tiene	0.41
		M		Charlas de		Auto preparación	0.26
		ENCI	0.164	capacitación	1.000	1 capacitación al año	0.16
		RESILENCIA	500570	en temática ambiental		2 capacitaciones al año	0.09
						Más de 2 capacitaciones al año	0.06

Fuente: Equipo Técnico



4.3. NIVELES DE VULNERABILIDAD

En el siguiente cuadro, se muestran los niveles de vulnerabilidad y sus respectivos rangos obtenidos a través de utilizar el Proceso de Análisis Jerárquico.

Cuadro 135: Niveles de vulnerabilidad.

NIVEL		RANGOS	
MUY ALTA	0.264	≤ V <	0.455
ALTA	0.150	≤ V <	0.264
MEDIA	0.083	≤ V <	0.150
BAJA	0.048	≤ V <	0.083

Fuente: Equipo Técnico

4.4. ESTRATIFICACIÓN DE LA VULNERABILIDAD

En el siguiente cuadro, se muestra la matriz de vulnerabilidad obtenido:

Cuadro 136: Matriz de vulnerabilidad.

Nivel de Vulnerabilidad	Descripción	Rango
Vuinerabilidad Muy Alfa	Más de 11 personas por vivienda, grupo etario predominante de () a 5 años y mayores de 65 años, sin ningún servicio básico, personas con discapacidad motriz, con ningún nivel educativo o inicial, sin ningún tipo de seguro, su actidud frente al riesgo es fatalista, no tiene capacitación ni conocimientos en temas de riesgo de desastre, ubicado en zona de peligro muy alto, el material de construcción predominante de la vivienda es de estera u otro material precario, sin cimientos, con construcción de más de 5 pisos, estado de conservación muy mala, vivienda autoconstruida, el ingreso familiar es menor a 500 soles, la distancia al punto de acopio es a más de 300 metros, no hacen manejo de los desperdicios, la disposición final de sus residuos sólidos son en quebradas y causes y no tienen charlas de capacitación en temática ambiental.	0.264 ≤ V < 0.455
Vulnerabilidad Alta	De 09 a 10 personas por vivienda, grupo etario predominante de 06 a 12 años y de 60 a 64 años, cuentan con un solo servicio básico, personas con discapacidad mental, con nivel educativo primario, cuenta con Seguro Integral de Saiud SiS, su actitud frente al riesgo es escasamente provisoria, cuenta con algunos conocimientos en temas de riesgo de desastre, ubicado en zona de peligro alto, el material de construcción predominante de la vivienda es de Madera y/o triplay, como cimentación cuenta con una losa superficial, edificación de 4	0.150 ≤ V < 0.264

Arg. Fabiold Himojosa Figueroa EVALUADOR DE RESGÓ R.J. Nº 008-2020-CENEPREDU ARNOLD DAVID GARCIA ZAVALETA INGENIERO GEOLOGO EVALUADOR DE RIESGO R.D. Nº011-2024-CENEPRED/DIFAT



	pisos, estado de conservación mala, para la construcción de su vivienda conto con medina orientación técnica, el ingreso familiar es de 500 a 930 soles, la distancia al punto de copio de residuos sólidos es de 250 a 300 metros, los desperdicios lo depositan en un solo tacho, queman los residuos sólidos, no hacen manejo de los desperdicios y no tienen charlas de capacitación en temática ambiental.	
Vulnerabilidad Media	De 07 a 08 personas por vivienda, grupo etario predominante de 13 a 15 años y de 50 a 59 años, cuenta con dos servicios básicos, personas con discapacidad visual, con nivel educativo alcanzado secundaria, cuenta con Seguro Social de salud ESSALUD, su actitud frente al riesgo es parcialmente previsora sin implementación para prevenir el riesgo, realizan autopreparación en temas de riesgo de desastres, ubicado en zona de peligro medio, el material de construcción predominante de la vivienda es de quincha, con cimiento y columnas, de 3 pisos, en regular estado de conservación, para la construcción de su vivienda conto con orientación técnica, el ingreso familiar promedio es de 930 a 1200 soles, la distancia al punto de copio de residuos sólidos es de 200 a 350 metros, los desperdicios seleccionan entre orgánico e inorgánico, los residuos sólidos lo desechan en vias o calles, y tiene 1 capacitación en temática ambiental.	0.083 ≤ V < 0.150
Vulnerabilidad Baja	Hasta 06 personas por vivienda, grupo etario predominante de 16 a 49 años, cuentan con más de tres servicios básicos, personas con discapacidad Auditiva y del habla o con ninguna discapacidad, con nivel educativo con estudios superiores, cuenta con Seguro privado o de tas FF.AA o de la PNP, con actitud frente al riesgo provisoria o parcialmente provisoria, tiene más 1 capacitaciones en temas de riesgo de desastres, ubicado en zona de peligro bajo, el material predominate de la construcción es de adobe/ tapial o Ladrillo con concreto, la edificación tiene menos de 2 pisos, en buen estado de conservación, la vivienda fue contruida con orientación profesional, el ingreso familiar promedio se encuentra por encima de los 1200, la distancia al punto de acopio de residuos sólidos es menos de 200m, hacen reusó o abono de los desperdicio o los clasifican por material, la disposición final de los residuos sólidos son en botaderos o camión recolector.	0.048 ≤ V < 0.083

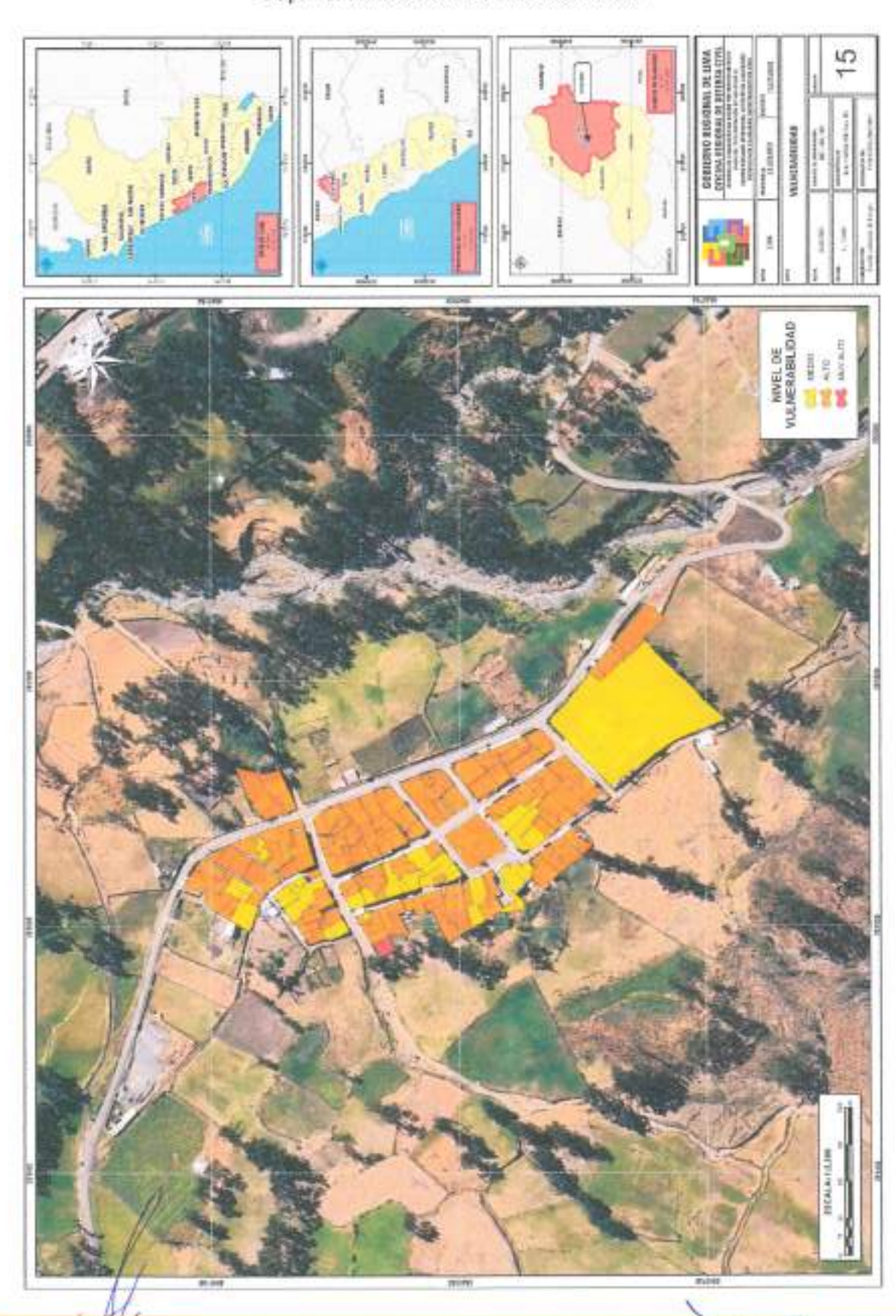
Fuente: Equipo Técnico

Arg. Fabiolo Hinojosa Figueroa EVALUADOR DE RIESGO R.J. N° 088-2020-CENEPREDIJ

INGLO DAVID GARCIA ZAVALETA INGLENERO GEÓLOGO EVALUADOR DE RIESGO D MOST 1014 CENEPRED/DIFAT



Mapa 15: Vulnerabilidad del ámbito de estudio





CAPITULO V - CÁLCULO DE RIESGO

5.1. METODOLOGÍA

Para determinar el cálculo de riesgo de la zona de influenciase utiliza el siguiente procedimiento:

MAPA DE PELIGRO

NIVEL DE RIESGO

MAPA DE RIESGO

MAPA DE VULNERABILIDAD

Gráfico 21: Flujograma para estimar los niveles de riesgo

Fuente: Equipo Técnico en base al Manual para la Evaluación de Riesgos originados por Fenómenos Naturales del CENEPRED (2da versión)

Arq. Fabiola Hinojosa Figueroa EVALUADOR DE RESGÓ R.J. Nº 008-2020-CENEPREDIJ | j

ARNOLD DAVID GARCIA ZAVALETA INGÉNIERO GEOLOGO EVALUADOR DE RIESGO R.D. Nº011-2024-CENEPRED/DIFAT



5.2. DETERMINACIÓN DE LOS NIVELES DE RIESGO

5.2.1.NIVELES DEL RIESGO

En el siguiente cuadro, se muestran los niveles de riesgo y sus respectivos rangos obtenidos a través de utilizar el Proceso de Análisis Jerárquico.

Cuadro 137: Niveles de Riesgo

NIVEL		RANGO	
MUY ALTO	0.067	< R ≤	0.216
ALTO	0.022	< R ≤	0.067
MEDIO	0.007	< R ≤	0.022
BAJO	0.002	≤R≤	0.007

Fuente: Equipo Técnico

5.2.2. MATRIZ DEL RIESGO

De los valores obtenidos en los análisis de peligro y vulnerabilidad se ha obtenido la siguiente matriz de riesgo originado por movimiento en masa del tipo reptación de suelo.

Cuadro 138: Determinación de Riesgo

PB	0.079	0.007	0.012	0.021	0.036
PM	0.145	0.012	0.022	0.038	0.06
PA	0.255	0.021	0.038	0.067	0.116
PMA	0.474	0.039	0.071	0.125	0.21

Fuente: Equipo Técnico

Arg. Fabiola Hinojosa Figueroa EVALUADOR DE RESGO R.J. Nº 008-2020-CENEPREDIJ

ARNOLD DAVID GARCIA ZAVALETA INGENIERO GEOLOGO EVALUADOR DE RIESGO R.D. N°011-2024-CENEPRED/DIFAT



5.2.3. ESTRATIFICACIÓN DEL RIESGO

En el siguiente cuadro, se muestra la matriz de riesgo obtenido:

Cuadro 139: Matriz del Riesgo

Nivel de Riesgo	Descripción	Rango
Riesgo Muy Alto	Terreno con una pendiente mayor a 45°, ubicados en lanura o planicie aluvial, sobre depósito Aluvial 2 y uso actual del suelo agricola. El ámbito de estudio presenta una muy alta susceptibilidad a ser afectado por movimientos de masa tipo reptación, el cual está desencadenado por una precipitación de categoria extremadamente lluviosa mayor a 170 mm. El volumen de suelo reptado es mayor a 300,000,000 m3. Más de 11 personas por vivienda, grupo etario predominante de 0 a 5 años y mayores de 65 años, sin ningún servicio básico, personas con discapacidad motriz, con ningún nivel educativo o inicial, sin ningún tipo de seguro, su actidud frente al riesgo es tatalista, no tiene capacitación ni conoctmientos en temas de riesgo de desastre, ubicado en zona de peligro muy alto, el material de construcción predominante de la vivienda es de estera u otro material precano, sin cimientos, con construcción de más de 5 pisos, estado de conservación muy mala, vivienda autoconstruida, el ingreso familiar es menor a 500 soles, la distancia al punto de acopio es a más de 300 metros, no hacen manejo de los desperdicios, la disposición final de sus residuos sólidos son en quebradas y causes y no tienen charlas de capacitación en tematica ambiental.	0.067 < R ≤ 0.216
Riesgo Alto	Terreno con pendientes entre 25° y 45°, ubicado en una terraza aluvial, conformado por depósitos coluviales y con uso actual del suelo destinado al pastoreo. El âmbito de estudio presenta una alta susceptibilidad a ser afectado por movimientos de masa tipo reptación, el cual está desencadenado por una precipitación de categoría extremadamente lluviosa mayor a 170 mm. El volumen de suelo reptado se encuentra en el rango de 150,000,000,000 - 300,000,000 m3.	0.022 < R ≤ 0.067

Arq. Fabiola Hinojosa Figueroa EVALUADOR DE RESGO R.J. Nº 908-2020-CENEPREDIJ

ARNOLD DAVID GARCIA ZAVALETA INGENIERO GEOLOGO EVALUADOR DE RIESGO R.D. N°011-2024-CENEPRED/DIFAT



	De 09 a 10 personas por vivienda, grupo etario predominante de 06 a 12 años y de 60 a 64 años, cuentan con un solo servicio básico, personas con discapacidad mental, con nivel educativo primario, cuenta con Seguro Integral de Salud SIS, su actitud frente al riesgo es escasamente provisoria, cuenta con algunos conocimientos en temas de riesgo de desastre, ubicado en zona de peligro alto, el material de construcción predominante de la vivienda es de Madera y/o triplay, como cimentación cuenta con una losa superficial, edificación de 4 pisos, estado de conservación mala, para la construcción de su vivienda conto con medina orientación técnica, el ingreso familiar es de 500 a 930 soles, la distancia al punto de copio de residuos sólidos es de 250 a 300 metros, los desperdicios lo depositan en un solo tacho, queman los residuos sólidos, no hacen manejo de los desperdicios y no tienen charlas de capacitación en temática ambiental.	
	Terreno con pendientes entre 15º a 25º, ubicado en una Vertiente Coluvial de Detritos – Vertiente o Piedemonte aluvio-torrencial, conformado por depósito Aluvial. El ámbito de estudio presenta una media susceptibilidad a ser afectado por movimientos de masa tipo reptación, el cual está desencadenado por una precipitación de categoría extremadamente Iluviosa mayor a 170 mm, el volumen de suelo reptado de 50,000,000 - 150,000,000 m3.	
Riesgo Medio	predominante de 13 a 15 años y de 50 a 59 años, cuenta con dos servicios básicos, personas con discapacidad visual, con nivel educativo alcanzado secundaria, cuenta con Seguro Social de salud ESSALUD, su actitud frente al riesgo es parcialmente previsora sin implementación para prevenir el riesgo, realizan autopreparación en temas de riesgo de desastres, ubicado en zona de peligro medio, el material de construcción predominante de la vivienda es de quincha, con cimiento y columnas, de 3 pisos, en regular estado de conservación, para la construcción de su vivienda conto con orientación técnica, el ingreso familiar promedio es de 930 a 1200 soles, la distancia al punto de copio de residuos sólidos es.	0.007 < R ≤ 0.022



	de 200 a 350 metros, los desperdicios seleccionan entre orgánico e inorgánico, los residuos sólidos lo desechan en vias o calles, y tiene 1 capacitación en temática ambiental.	
	Terreno con pendientes menores a 15°, ubicado en Colina en roca volcano-sedimentaria y Montaña en roca volcano-sedimentaria – Meseta Volcánica, conformado por depósito Fluvial o Grupo Calipuy. El ámbito de estudio presenta una baja susceptibilidad a ser afectado por movimientos de masa tipo reptación, el cual está desencadenado por una precipitación de categoría extremadamente lluviosa mayor a 170 mm, el volumen de suelo reptado es menor a 140,000,000 m3.	
Riesgo Bajo	Hasta 06 personas por vivienda, grupo etario predominante de 16 a 49 años, cuentan con más de tres servicios básicos, personas con discapacidad Auditiva y del habla o con ninguna discapacidad, con nivel educativo con estudios superiores, cuenta con Seguro privado o de las FF.AA. o de la PNP, con actitud frente al riesgo provisoria o parcialmente provisoria, tiene más 1 capacitaciones en temas de riesgo de desastres, ubicado en zona de peligro bajo, el material predominate de la construcción es de adobe/ tapial o Ladrillo con concreto, la edificación tiene menos de 2 pisos, en buen estado de conservación, la vivienda fue contruida con orientación profesional, el ingreso familiar promedio se encuentra por encima de los 1200, la distancia al punto de acopio de residuos sólidos es menos de 200m, hacen reusó o abono de los desperdicio o los clasifican por material, la disposición final de los residuos sólidos son en botaderos o camión recolector.	0.002 ≤ R ≤ 0.007

Fuente: Equipo Técnico

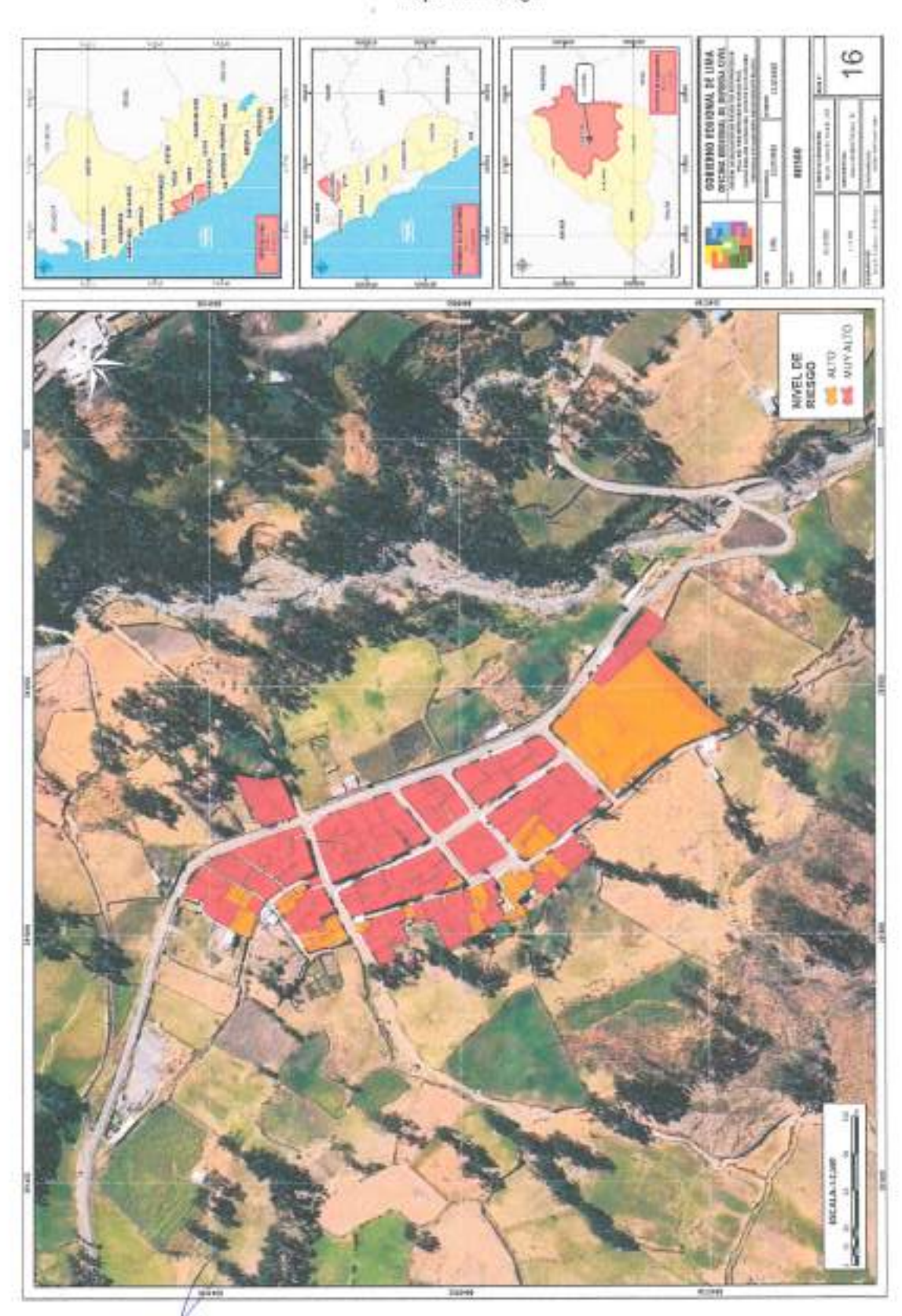
Arg. Fabiolá Hinojosa Figueroa EVALUADOR DE RIESGO R.J. Nº 088-3026-CENEPREDIJ

ARNOLD DAVID GARCIA ZAVALETA INGENERO GEOLOGO EVALUADOR DE RIESGO R.D. N°011-2024-CENEPRED/DIFAT

132



Mapa 16: Riesgo





5.3. CALCULO DE POSIBLES PERDIDAS

En el siguiente cuadro se estima los efectos probables que se podrían generar en el ámbito de estudio, a consecuencia del impacto del peligro:

Cuadro 140: cálculo de posibles pérdidas

	EFECTOS PROBABLES	UNIDAD	DESCRIPCION DEL DAÑO	COSTO REFERENCIAL	TOTAL (Sc)
T	DAÑO	S PROBABLI	ES		
RIES	GO MUY ALTO (13 Viviendas)				
12	Viviendas construidas de adobe/ madem/ triplay o quíncha	Und	Afectación Parcial	8/20,000.00	\$/240,000.00
1	Viviendas con material precario (Esteras u otro material)	Und	Afectación Parcial	\$/10,000.00	\$/10,000.00
RIES	GO ALTO (111 Viviendas)	-7 2			
7	Viviendas construídas de material noble (Ladrillo o Bloque)	Und	Afectación Parcial	\$/40,000.00	\$/280,000.00
102	Viviendas construidas de adobe/ madera/triplay o quincha	Und	Afectación Parcial	S/10,000.00	\$/1,020,000.00
2	Viviendas con material precario (Esteras u otro material)	Und	Afectación Parcial	\$/5,000.00	\$/10,000.00
ELEN	MENTOS EXPUESTOS				
2	Iglesia:	Global	Afectación Pardal	\$/50,000.00	\$/100,000.00
1	Local Comunal	Global	Afectación Parcial	\$/30,000.00	\$/30,000.00
1	Centro educativo	Global	Afectación Parcial	\$/100,000.00	\$/100,000.00
1	Parque	Global	Afectación Parcial	\$/40,000.00	\$/40,000.00
1	Comedor Popular	Global	Afectación Parcial	\$/30,000.00	\$/30,000.00
77.6	Cultivos Agricolas	Has	Afectación Parcial	5/30,000.00	\$/2,328,600.00
0.78	Canales de regadio	Km	Afectación Parcial	\$/100,000.00	\$/78,200.00
1.4	Carreteras Asfaltadas	km	Afectación Total	\$4,000,000.00	\$/1,400,000.00
50	Postes eléctricos	Und	Afectación Total	\$/2,500.00	S/125,000.00
Total	dallos probables				\$/5,791,800.00
	PERDIC	AS PROBAB	LES		
130	Costos de Adquisición de carpes	Cerps	Adquisición	8/120.00	\$/15,600.00
130	Costos de Adquisición de módulos de vivienda	Módula	Adquisición	8/15,000.00	8/1,950,000.00
130	Alimentos	Kits	Adquisición	\$/200.00	5/26,000.00
130	Abrigo	Kits	Adquisición	\$/40.00	8/5,200.00
1	Gastos de atención de emergencias	Global	Adquisición	\$/50,000.00	5/50,000,00
fotal	pérdidas probables				\$12,045,800.00
ГОТА	L EN SOLES EFECTOS PROBABLES				\$17,838,600.00

Arq. Fabiola Hihojosa Figueroa EVALUADORI DE RIESGO R.J. N° 008-2020-CENEPRED: J

ARNOLD DAVID GARCIA ZAVALETA INGENIERO GEOLOGO EVALUADOR DE NICSCO R.D. N°011-2024 CEMEPRED/DIFAT



5.4. MEDIDAS DE PREVENCIÓN Y REDUCCIÓN DE RIESGOS DE DESASTRES

Las condiciones geomorfológicas, geológicas y del sitio analizadas en el presente informe evidencian una muy alta susceptibilidad a la ocurrencia de peligros geodinámicos en el centro poblado de Astobamba.

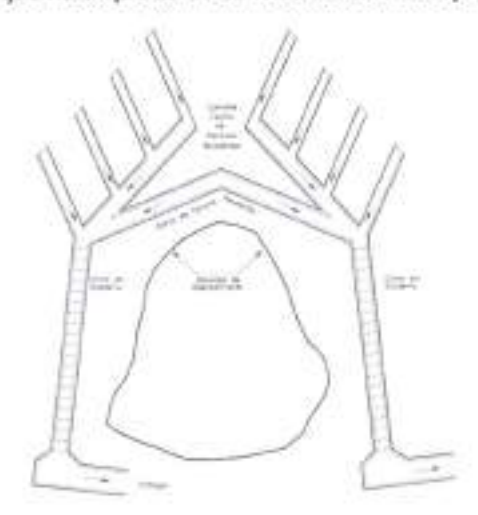
Con base en la información recopilada, se recomienda a la Municipalidad Provincial de Cajatambo a través de sus áreas técnicas competentes, evaluar las siguientes medidas estructurales y no estructurales:

5.4.1. DE ORDEN ESTRUCTURAL

Se recomienda:

- Revestimiento estructural del canal existente con concreto armado, incorporando
 juntas de dilatación y un sistema de drenaje longitudinal adecuado. Esta intervención
 permitirá minimizar las pérdidas por infiltración, reducir la saturación del suelo y
 mitigar los procesos de reptación. Adicionalmente, se recomienda realizar un estudio
 geotécnico detallado para evaluar la estabilidad de los taludes adyacentes.
- Construcción de drenaje tipo espina de pescado en la corona del deslizamiento. impermeabilizados y diseñados para canalizar el agua hacia zonas de menor riesgo. Estos sistemas requieren un mantenimiento periódico para asegurar su funcionalidad.

Figura 19: Esquema en planta de canales colectores espina de pescado



 Sustitución del reservorio actual por una infraestructura moderna y funcional que permita el almacenamiento temporal del agua de escorrentía superficial y subterránea, con fines de riego, y actividades agropecuarias, fomentando el aprovechamiento sostenible del recurso hídrico.

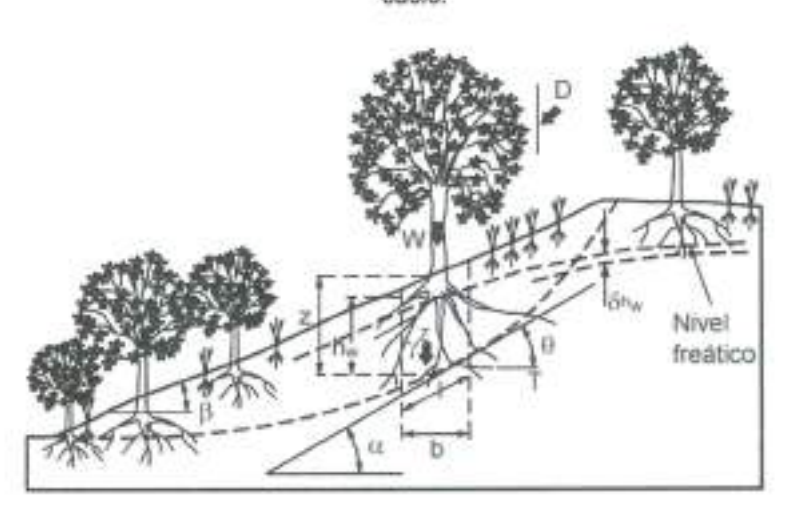
Arg. Fabiola Hinojosa Figueroa EVALUADOR DE RIESGO R.J. N° 008-2020-CENEPREDIJ

ASSIGNATION OF THE PROPERTY OF



 Reforestación con especies típicas de la zona que presenten follaje bajo y raíces densas y profundas. Estas ayudarán a reducir la energía del movimiento de los bloques desprendidos, contribuyendo a la estabilidad del terreno. La selección de especies debe considerar las condiciones del suelo y del sitio (agua, nutrientes, pH, clima, etc.), por lo que se recomienda el uso de plantas nativas.

Figura 20: Efecto de la vegetación sobre la estabilidad de un talud. Las raíces refuerzan el suelo.



- Construcción de canales pluviales adyacentes a las vías de comunicación, con el fin de encauzar adecuadamente el agua de lluvia y evitar la erosión y saturación del ámbito de estudio.
- Cambio de sistemas de riego ineficientes, como el riego por inundación, por métodos tecnificados como riego por goteo, aspersión o microaspersión, que permiten una mejor distribución del agua y reducen la infiltración que podría desestabilizar el suelo.
- Promoción de cultivos con bajo requerimiento hidrico, para mejorar la eficiencia del uso del agua. La implementación de este método debe realizarse en coordinación con especialistas del Ministerio de Agricultura.
- Relleno y sellado de grietas abiertas en el terreno (en carreteras, sobre la corona del deslizamiento, entre otros) utilizando arcilla compactada u otros materiales apropiados. Esta acción evitará la infiltración de agua en la temporada de lluvias, reduciendo la saturación del suelo y el riesgo de activación de movimientos en masa.

Nota: Todas las medidas estructurales planteadas deben ser diseñadas, supervisadas y ejecutadas por profesionales especializados en geotecnia, hidrología y estructuras civiles.

Arq. Fabiola Hinojosa Figueroa ENALUADOR DE RIESGO R.J. Nº 008-1020-CENEPRED/J

ARNOLO DAVID GARCIA ZAVALETA INGENIERO GEÓLOGO EVALUADOR DE RIESGO EVALUADOR DE RIESGO



5.4.2. DE ORDEN NO ESTRUCTURAL

Dado el alto grado de saturación del suelo en el centro poblado de Astobamba, la practica continua de riego por inundación y los daños estructurales registrados tras el sismo de 2007, se recomienda las siguientes acciones preventivas:

- Realizar el reasentamiento poblacional con el fin de salvaguardar la vida e integridad de la población expuesta, en concordancia con la normativa vigente en gestión del riesgo de desastres, ordenamiento territorial y derechos humanos.
- Emisión de una ordenanza municipal prohibitiva, por parte del gobierno local de Cajatambo, que impida nuevas edificaciones en zonas de alto riesgo.
- Implementación de sistemas de monitoreo por parte de la Municipalidad Provincial de Cajatambo con el apoyo de la población. Estos sistemas permitirán detectar movimientos en la masa deslizante. Se pueden instalar fácilmente mediante estacas de madera o varillas de fierro colocadas dentro del área afectada y en una zona estable. La distancia entre estacas debe medirse periódicamente, aumentando la frecuencia de las mediciones durante los periodos de lluvia. Si se detectan movimientos rápidos, se debe alertar a la población para proceder con la evacuación de las zonas en riesgo.
- Colocación de señalización en las áreas afectadas, con el propósito de prohibir el acceso de personas a las zonas de deslizamiento y minimizar riesgos.
- Organización de charlas y capacitaciones urgentes sobre gestión del riesgo de desastres y temas ambientales, promoviendo la participación activa de la comunidad. Estas actividades fortalecerán las capacidades locales en las dimensiones prospectiva (prevención), correctiva (reducción de riesgos existentes) y reactiva (respuesta ante emergencias), así como en prácticas ambientales sostenibles.
- Elaboración y aprobación de una ordenanza municipal que prohíba el uso de sistemas de riego por inundación, promoviendo alternativas sostenibles y eficientes de gestión del agua para reducir la infiltración y sus efectos negativos sobre la estabilidad del terreno.

Arq. Fabiola Hinojosa Figueroa EVILUADOR DE RIESGO R.J. Nº 008-1020-CENEPREDUJ

ARNOLD DAVID GARCIA ZAVALETA INGENIERO GEOLOGO EVALUADOR DE RIESGO R.D. N°011-2024-CENEPRED/DIFAT



CAPITULO VI - CONTROL DEL RIESGO

6.1. DE LA EVALUACIÓN DE LAS MEDIDAS

Evaluar pérdidas futuras es algo incierto, razón por la cual usualmente se recurre a alguna medida probabilística para la realización de un estudio de esta naturaleza. Los riesgos pueden expresarse en pérdidas promedio de dinero o de vidas por año. Sin embargo, debido a que eventos de gran intensidad son hechos muy raros, las pérdidas promedio para este tipo de eventos, tan poco frecuentes, pueden no dar una imagen representativa de las grandes pérdidas que podrían estar asociadas a los mismos (CENEPRED 2014).

Esta dificultad puede resolverse determinando para un limite de pérdida la probabilidad de que éste sea igualado o sobrepasado. Este limite también puede expresarse en términos de victimas humanas o de fallas en las edificaciones.

6.1.1. ACEPTABILIDAD / TOLERABILIDAD

a) Valoración de consecuencias

Cuadro 141: Valoración de consecuencias

VALOR	NIVEL	DESCRIPCIÓN
4	Muy alta	Las consecuencias debido al impacto de un fenómeno natural son catastróficas.
3	Alta	Las consecuencias debido al impacto de un fenómeno natural pueden ser gestionadas con apoyo externo.
2	Medio	Las consecuencias debido al impacto de un fenómeno natural son gestionadas con los recursos disponibles.
1	Baja	Las consecuencias debido al impacto de un fenómeno natural pueden ser gestionadas sin dificultad.

Fuente: CENEPRED

Del cuadro anterior obtenemos que las consecuencias debido al impacto de un fenómeno pueden ser gestionadas con apoyo externo, es decir, posee el nivel 4 – MUY ALTA.

Arq. Fabidia Hinojosa Figueroa ENALDADOR DE RESGO R.J. N° 108-2020-CENEPREDIJ

ARNOLD DAVID GARCIA ZAVALETA INGENIERO GEÓLOGO EVALUADOR DE RIESGO 9 D. N°OL1-2024-CENEPRED/CHEAT



b) Valoración de frecuencias

Cuadro 142: Niveles de Frecuencia de ocurrencia

VALOR	NIVEL	DESCRIPCION		
4	Muy alta	Puede ocurrir en la mayoría de las circunstancias.		
3	Alta	Puede ocurrir en periodos de tiempo medianamente largos según las circunstancias.		
2	Medio	Puede ocumir en periodos de tiempo largos según las circunstancias.		
1	Baja	Puede ocurrir en circunstancias excepcionales.		

Del cuadro anterior, se obtiene que el evento de movimientos de masa del tipo reptación puede ocurrir en periodos de tiempo medianamente largos según las circunstancias, es decir, posee el nível 3 – ALTA.

b) Nivel de consecuencia y daños

Cuadro 143: Matriz de consecuencias y daños

CONSECUENCIAS	NIVEL	ZONA	DE CONSE	ECUENCIAS Y DAÑOS		
Muy Alta	4	Alta	Alta	Muy Aita	Muy Alta	
Alta	3	Medio	Alta	Alta	Muy Alta	
Media	2	Medio	Medio	Alta	Alta	
Bajo	1	Medio	Medio	Medio	Alta	
	Nivel	1	2	3	4	
	Frecuencia	Bajo	Media	Alta	Muy Alta	

Fuente: CENEPRED.

De lo anterior se obtiene que el nivel de consecuencia y daño es de nivel 4 - MUY ALTA.

Arq. Fabiolá Hinojasa Figueroa EVALUADOR DE RIESGO R.J. Nº 088-3026-CENEPRED: J

 NOLD DAVID GARCIA ZAVALETA INGENIERO GEOLOGO EVALUADOR DE RIESGO
 MALLADOR DE RIESGO



d) Aceptabilidad y/o Tolerancia

Cuadro 144: Nivel de aceptabilidad y/o tolerancia.

VALOR	DESCRIPTOR	DESCRIPCIÓN		
4	Inadmisible	Se debe aplicar inmediatamente medidas de control físico y de ser posible transferir inmediatamente recursos económicos para reducir los riesgos.		
3	Inaceptable	Se deben desarrollar actividades INMEDIATAS y PRIORITARIAS para el manejo de riesgos.		
2	Tolerable	Se deben desarrollar actividades para el manejo de riesgos.		
1		El riesgo no presenta un peligro significativo		

Fuente: CENEPRED

De lo anterior se obtiene que la aceptabilidad y/o tolerancia del riesgo del área de influencia en la zona de estudio es de nivel MUY ALTO – Inadmisible

La Matriz de Aceptabilidad y/o Tolerancia del riesgo se indica a continuación:

Cuadro 145: Matriz de aceptabilidad y/o tolerancie de riesgo

Riesgo Inaceptable	Riesgo Inaceptable	Riesgo Inadmisible	Riesgo Inadmisible
Riesgo Tolerabie	Riesgo Inaceptable	Riesgo Inaceptable	Riesgo Inadmisible
Riesgo Tolerable	Riesgo Tolerable	Riesgo inaceptable	Riesgo Inaceptable
Riesgo aceptable	Riesgo Tolerable	Riesgo Tolerable	Riesgo Inaceptable

Fuente: CENEPRED

De la matriz de aceptabilidad y/o tolerancia del riesgo se precisa que el Riesgo es INADMISIBLE.

e) Prioridad de intervención

Cuadro 146: Prioridad de intervención.

VALOR	DESCRIPTOR	NIVEL DE PRIORIZACIÓN
4	Inadmisible	1
3	Inaceptable	II.
2	Tolerable	III
1	Aceptable	IV

Fuente: CENEPRED

Del cuadro anterior se obtiene que el nivel de priorización es de l, en el cual se debe aplicar inmediatamente medidas de control físico y de ser posible transferir inmediatamente recursos económicos para reducir los riesgos.



CONCLUSIONES

- La población de Astobamba se encuentra expuesta a niveles de riesgo ALTO y MUY
 ALTO frente a eventos de movimientos en masa, especialmente en escenarios de lluvias
 intensas superiores a los 300 mm, de las cuales 26 viviendas se encuentran en nivel de
 riesgo alto y 105 viviendas se encuentran en nivel de riesgo muy alto, En total, 131
 viviendas están expuestas: 26 en riesgo alto y 105 en riesgo muy alto
- Se identificó el nivel de peligro MUY ALTO en el centro poblado, lo cual requiere atención inmediata mediante intervenciones estructurales y no estructurales.
- Se identificaron los níveles de vulnerabilidad MEDIO, ALTO y MUY ALTO, lo que demuestra la heterogeneidad de condiciones socioeconômicas, infraestructura, entorno físico y nível de preparación comunitaria frente al riesgo.
- Según los criterios establecidos por CENEPRED, el nivel de aceptabilidad y tolerancia del riesgo identificado es de INANADMISIBLE, se debe aplicar inmediatamente medidas de control físico y de ser posible transferir inmediatamente recursos económicos para reducir los riesgos.
- El nivel de priorización de intervención es I (Inadmisible), lo que implica que deben desarrollarse medidas urgentes para el control del riesgo, especialmente antes del inicio de la siguiente temporada de lluvias.
- Los efectos económicos estimados que podrían generarse en el área de influencia del evento analizado ascienden a 7' 838, 600.00 soles.
- Dado el alto grado de saturación del suelo en el centro poblado de Astobamba, la practica continua de riego por inundación y los daños estructurales registrados tras el sismo de 2007, se ha recomendado realizar el reasentamiento poblacional con el fin de salvaguardar la vida e integridad de la población expuesta, en concordancia con la normativa vigente en gestión del riesgo de desastres, ordenamiento territorial y derechos humanos.
- Las medidas estructurales propuestas (drenajes, reforestación, reservorio, mejora de sistemas de riego, relleno de grietas) están orientadas a reducir el riesgo físico y deben ser diseñadas y ejecutadas por profesionales especializados en geotecnia, hidráulica y estructuras civiles.
- Las medidas no estructurales (sistemas de alerta temprana, monitoreo comunitario, capacitación, ordenanzas, estudios técnicos) fortalecen las capacidades locales y permiten una gestión integral del riesgo.
- Las medidas recomendadas se alinean con las propuestas del INGEMMET y la normativa nacional vigente (CENEPRED, PCM), garantizando su pertinencia técnica y legal. //

Arq. Fabidia Himojosa Figueroa EVALUADOR DE RESGO R.J. N° 008-2020-CENEPRED/J ARNOLD DAVID GARCIA ZAVALETA INGENIERO GEOLOGO EVALUADOR DE RIESGO R.D. N°011-2024-CENEPRED/DIFAT



BIBLIOGRAFIA

- Centro Nacional de Estimación, Prevención y Reducción del Riesgo de Desastres (CENEPRED) 2014. Manual para la Evaluación de riesgos originados por Fenómenos Naturales, 2da versión.
- Instituto Geológico, Minero y Metalúrgico (INGEMMET). 2008. Informe Técnico: Evaluación de peligros geológicos en el anexo de Astobamba.
- Instituto Geológico, Minero y Metalúrgico (INGEMMET). 2012. Informe Técnico N° A6589: Deslizamiento – Flujo de tierra en la Comunidad Campesina Astobamba.
- Instituto Geológico, Minero y Metalúrgico (INGEMMET). 2021. Informe Técnico N° A7210: Evaluación de peligros geológicos en el anexo de Astobamba y zonas propuestas para reubicación.
- Cobbing, J. (1973). Geología de los cuadrángulos de Barranca, Ámbar, Oyón, Huacho, Huaral y Canta (hojas 22-h, 22-i, 22-j, 23-h, 23-i, 23-j) - [Boletín A 26].
 Instituto Geológico, Minero y Metalúrgico - INGEMMET. https://repositorio.ingemmet.gob.pe/handle/20.500.12544/144
- Cobbing, J., Sánchez, A., Martínez, W., & Zárate, H. (1996). Geología de los cuadrángulos de Huaraz, Recuay, La Unión, Chiquián y Yanahuanca. Hojas: 20-h, 20-i, 20-j, 21-i, 21-j – [Boletin A 76]. Instituto Geológico, Minero y Metalúrgico – INGEMMET. https://repositorio.ingemmet.gob.pe/handle/20.500.12544/199
- Suárez Díaz, Jaime. 1998. Deslizamientos: Análisis Geotécnico. Capítulo I y capítulo V.
- Suárez Diaz Jaime. 2007. Deslizamientos. Tomo II: Técnicas de Remediación. (Primera Edición)
- Instituto Geológico, Minero y Metalúrgico (INGEMMET) Mapa de Susceptibilidad a los Movimientos en Masa https://portal.ingernmet.gob.pe/web/guest/mapa-de-susceptibilidad-a-los-movimientos-en-masa
- Servicio Nacional de Meteorología e Hidrología del Perú (SENAMHI) Mapa Climático del Perú

https://www.senamhi.gob.pe/?&p=mapa-climatico-del-peru

Arq. Fabioli Minejosa Figueroa EVALUADOR DE RESGO R.J. N° 008-2020-CENEPREDU

ARNOLD DAVID GARCIA ZAVALETA INGENIERO GEOLOGO EVALISADOR DE RIESGO R.D. N°011-2074-CENEPRED/DIFAT



- Servicio Nacional de Meteorología e Hidrología del Perú (SENAMHI) Datos de las Estaciones Meteorológicas del Perú https://www.senamhi.gob.pe/?&p=estaciones
- Servicio Nacional de Meteorología e Hidrología del Perú (SENAMHI) Eventos de El Niños Precipitaciones 2017
 https://idesep.senamhi.gob.pe/geovisoridesep/go?accion=INICIO
- Sistema de Información para la Gestión del Riesgo de Desastre (SIGRID) https://sigrid.cenepred.gob.pe/sigridv3/

Arq. Fabiola Hinojosa Figueroa EVALUADOR DE RESGO R.J. N° 008-2020-CENEPREDIJ

ARNOLD DAVID GARCIA ZAVALETA INGENIERO GEÓLOGO EVALUADOR DE RIESGO TO MODA 2024-CENEPRED/DIFAT



LISTA DE CUADROS

Cuadro 1: Coordenadas UTM del C.P. Astobamba	11
Cuadro 2: Vias de acceso al centro poblado Astobamba	14
Cuadro 3: Total de personas por vivienda	17
Cuadro 4: Grupo etario	18
Cuadro 5: Nivel educativo	19
Cuadro 6: Tipo de seguro	20
Cuadro 7: Discapacidad	21
Cuadro 8: Ingreso familiar promedio mensual	
Cuadro 9: Capacitación en temas de riesgo de desastres	23
Cuadro 10: Charlas de capacitación en temática ambiental	24
Cuadro 11: Manejo de desperdicios	25
Cuadro 12: Disposición final de los residuos sólidos	26
Cuadro 13: Acceso a servicios públicos	
Cuadro 14: Régimen de tenencia	28
Cuadro 15: Cimentación	29
Cuadro 16: Material de construcción	30
Cuadro 17: Número de pisos	32
Cuadro 18: Estado de conservación	34
Cuadro 19: Propiedad expuesta	35
Cuadro 20: Descripción de la pendiente	44
Cuadro 21: Factores de la Susceptibilidad	67
Cuadro 22: Factor desencadenante	
Cuadro 23: Matriz de comparación de pares del parámetro precipitación	
Cuadro 24: Matriz de normalización del parâmetro precipitación	68
Cuadro 25: Índice (IC) y relación de consistencia (RC) obtenido del proceso de análisis jerárquio	para el
parámetro precipitación	68
Cuadro 26: Factores condicionantes	
Cuadro 27: Matriz de comparación de pares de factores condicionantes	
Cuadro 28: Matriz de normalización de factores condicionantes	
Cuadro 29: Índice (IC) y relación de consistencia (RC) obtenido del proceso de análisis jerárquio	ACC 10 - 10 - 10 - 10 - 10 - 10 - 10 - 10
factores condicionantes	
Cuadro 30: Matriz de comparación de pares del parámetro unidades geológicas	
Cuadro 31: Matriz de normalización del parámetro unidades geológicas	
Cuadro 32: Índice (IC) y relación de consistencia (RC) obtenido del proceso de análisis jerárquio	
parámetro unidades geológicas	
Cuadro 33: Matriz de comparación de pares del parámetro unidades geomorfológicas	
Cuadro 34: Matriz de normalización del parámetro unidades geomorfológicas	
Cuadro 35: Índice (IC) y releción de consistencia (RC) obtenido del proceso de análisis jerárquio	
parámetro unidades geomorfológicas	
Cuadro 36: Matriz de comparación de pares del parámetro pendiente	
Cuadro 37: Matriz de normalización del parámetro pendiente	75
Cuadro 38: Indice (IC) y relación de consistencia (RC) obtenido del proceso de análisis jerárquic	o para el
paràmetro pendiente.	
Cuadro 39: Matriz de comparación de pares del parámetro uso actual del suelo	76



Cuadro 40: Matriz de normalización del parámetro uso actual del suelo	
Cuadro 41: Índice (IC) y relación de consistencia (RC) obtenido del proceso de análisis jerárquico po	ara el
parámetro uso actual del suelo	76
Cuadro 42: Matriz de peligro	
Cuadro 43: Metriz de susceptibilidad	
Cuadro 44: Susceptibilidad	
Cuadro 45: Matriz de comparación de pares del parámetro volumen de deslizamiento	80
Cuadro 46; Matriz de normalización del parámetro volumen de deslizamiento	80
Cuadro 47: Índice (IC) y relación de consistencia (RC) obtenido del proceso de análisis jerárquico p	ara el
parâmetro volumen de deslizamiento	
Cuadro 48: Población expuesta según sexo	
Cuadro 49: Tipo de vivienda	
Cuadro 50: Niveles de peligro	
Cuadro 51; Matriz de peligro	
Cuadro 52: Dimensiones de la vulnerabilidad	
Cuadro 53: Matriz de comparación de la Dimensión Social, Económica y Ambiental	
Cuadro 54: Matriz de normalización de las Dimensiones Social, Económica y Ambiental	89
Cuadro 55: Índice (IC) y Relación de Consistencia (RC) obtenido del Proceso de Análisis Jerárquico	
las Dimensiones Social, Económica y Ambiental	
Cuadro 56: Parámetros de la Dimensión Social	
Cuadro 57: Parámetros utilizados en la Exposición de la Dimensión Social	90
Cuadro 58: Matriz de comparación de pares del parámetro total de personas por vivienda	91
Cuadro 59: Matriz de normalización del parámetro total de personas por vivienda	
Cuadro 60: Índice (IC) y relación de consistencia (RC) obtenido del proceso de análisis jerárquico p	ara el
parámetro total de personas por vivienda	
Cuadro 61: Parámetros utilizados en la Fragilidad de la Dimensión Social	
Cuadro 62: Matriz de Comparación de Pares Fragilidad Social	92
Cuadro 63: Matriz de Normalización de Pares Fragilidad Social	93
Cuadro 64: Índice (IC) y Relación de Consistencia (RC) obtenido del Proceso de Análisis Jerárquio	
el Parámetro Fragilidad Social	
Cuadro 65: Matriz de comparación de pares del parámetro grupo etario	
Cuadro 66: Matriz de normalización del parámetro grupo etario	
Cuadro 67: Índice (IC) y relación de consistencia (RC) obtenido del proceso de análisis jerárquico p	ara el
parámetro grupo etario	
Cuadro 68: Matriz de comparación de pares del parámetro acceso a los servicios públicos	
Cuadro 69: Matriz de normalización del paràmetro acceso a los servicios públicos	
Cuadro 70: Índice (IC) y relación de consistencia (RC) obtenido del proceso de análisis jerárquico p	
parámetro acceso a los servicios públicos	
Cuadro 71: Matriz de comparación de pares del parámetro servicios hígiénicos	
Cuadro 72: Matriz de normalización del parámetro servicios higiénicos	
Cuadro 73: Índice (IC) y relación de consistencia (RC) obtenido del proceso de análisis jerárquico p	
parametro servicios higiánicos	
Cuadro 74: Parámetros utilizados en la Resiliencia de la Dimensión Social	
Cuadro 75: Matriz de Comparación de Pares Resiliencia Social	
Cuadro 76: Matriz de Normalización de Pares Resiliencia Social	98



Cuadro 77: Índice (IC) y Releción de Consistencia (RC) obtenido del Proceso de Análisis Jerárque	rico para
el Parámetro Resiliencia Social	
Cuadro 78: Matriz de comparación de pares del parámetro nivel educativo	99
Cuadro 79: Matriz de normalización de pares del parámetro nivel educativo	99
Cuadro 80: Índice (IC) y relación de consistencia (RC) obtenido del proceso de análisis jerárquica parámetro nivel educativo.	
Cuadro 81: Matriz de comparación de pares del parámetro tipo de seguro	
Cuadro 82: Matriz de normalización de pares del parámetro tipo de seguro	
Cuadro 83: Îndice (IC) y relación de consistencia (RC) obtenido del proceso de análisis jerárquici	
parámetro tipo de seguro	
Cuadro 84: Matriz de comparación de pares del parámetro actitud frente al riesgo	
Cuadro 85: Metriz de normalización de peres del parémetro actitud frente al riesgo	
Cuadro 86: Índice (IC) y relación de consistencia (RC) obtenido del proceso de análisis jerárquic	
parametro actitud frente al riesgo	
Cuadro 87: Matriz de comparación de pares del parámetro capacitación en temas de riesgo de d	
Cuadro 88: Matriz de normalización de pares del parámetro capacitación en temas de riesgo de	3300000
desastres	103
Cuadro 89: Índice (IC) y relación de consistencia (RC) obtenido del proceso de análisis jerárquio	
parámetro capacitación en temas de riesgo de desastres	
Cuadro 90: Parámetros de la Dimensión Económica	
Cuadro 91: Parámetros utilizados en la Exposición de la Dimensión Económica	104
Cuadro 92: Matriz de comparación de pares del parámetro propiedad expuesta	105
Cuadro 93: Matriz de normalización del parámetro propiedad expuesta	
Cuadro 94: Índice (IC) y relación de consistencia (RC) obtenido del proceso de análisis jerárquic	
parâmetro propiedad expuesta.	
Cuadro 95: Parâmetros utilizados en la Exposición de la Dimensión Económica	106
Cuadro 96: Metriz de comperación de pares Fragilidad Económica	106
Cuadro 97: Matriz de normalización de pares Fragilidad Económica	107
Cuadro 98: Índice (IC) y relación de consistencia (RC) obtenido del proceso de análisis jerárquic	o para el
parámetro Fragilidad Económica	
Cuadro 99: Matriz de comparación de pares del parâmetro material de construcción de la edifica	ción 108
Cuadro 100: Matriz de normalización del parámetro material de construcción de la edificación	108
Cuadro 101: Índice (IC) y relación de consistencia (RC) obtenido del proceso de análisis jerárqui	ico para
el parámetro material de construcción de la edificación	
Cuadro 102: Matriz de comparación de pares del parámetro cimientos de la edificación	
Cuadro 103: Matriz de normalización del parámetro cimientos de la edificación	
Cuadro 104: Índice (IC) y relación de consistencia (RC) obtenido del proceso de análisis jerárqui	ico para
el parámetro cimientos de la edificación	
Cuadro 105: Matriz de comparación de pares del parámetro número de pisos de la vivienda	
Cuadro 106: Matriz de normalización del parâmetro número de pisos de la vivienda	
Cuadro 107: Índice (IC) y relación de consistencia (RC) obtenido del proceso de análisis jerárqui	
el parámetro número de pisos de la vivienda	110
Cuadro 108: Matriz de comparación de pares del parámetro estado de conservación predominar	
Cuadro 109: Matriz de normalización de pares del parámetro estado de conservación predomina	ante . 111



Cuadro 110: Índice (IC) y relación de consistencia (RC) obtenido del proceso de análisis jerárquica) para
el parámetro estado de conservación predominante	
Cuadro 111: Parámetros utilizados en la Resiliencia de la Dimensión Económica	112
Cuadro 112: Matriz de comparación de pares del parámetro nivel de asistencia técnica en el proce constructivo	
Cuadro 113: Matriz de normalización del parámetro nivel de asistencia técnica en el proceso cons	tructivo
Outdoor 110, mainte de normaliteation des parametes involues de solutions de la production	
Cuadro 114: Índice (IC) y relación de consistencia (RC) obtenido del proceso de análisis jerárquio	
el parámetro nivel de asistencia técnica en el proceso constructivo	
Cuadro 115: Matriz de comparación de pares del parámetro ingreso familiar promedio mensual	114
Cuadro 116: Matriz de normalización de pares del parámetro ingreso familiar promedio mensual	
Cuadro 117: Indice (IC) y relación de consistencia (RC) obtenido del proceso de análisis jerárquici	
el parámetro ingreso familiar promedio mensual	
Cuadro 118: Parámetros de la Dimensión Ambiental	
Cuadro 119: Parámetros utilizados en la Exposición de la Dimensión Ambiental	
Cuadro 120: Matriz de comparación de pares del parámetro distancia al punto de acopio de residu	
sólidos	
Cuadro 121: Matriz de normalización de pares del parámetro distancia al punto de acopio de resid	
sólidos	116
Cuadro 122: Índice (IC) y relación de consistencia (RC) obtenido del proceso de análisis jerárquio	o para
el parámetro distancia al punto de acopio de residuos sólidos	
Cuadro 123: Parâmetros utilizados en la Fragilidad de la Dimensión Ambiental	116
Cuadro 124: Matriz de comparación de pares del parámetro manejo de los desperdicios	117
Cuadro 125: Matriz de normalización del parámetro manejo de los desperdicios	117
Cuadro 126: Índice (IC) y relación de consistencia (RC) obtenido del proceso de análisis jerárquio	
el parámetro manejo de los desperdicios	
Cuadro 127: Matriz de comparación de pares del parámetro residuos sólidos	118
Cuadro 128: Matriz de normalización del parámetro residuos sólidos	
Cuadro 129: Índice (IC) y relación de consistencia (RC) obtenido del proceso de análisis jerárquic	
el parámetro residuos sólidos	
Cuadro 130: Parametros utilizados en la Resiliencia de la Dimensión Ambiental	119
Cuadro 131: Matriz de comparación de pares del parámetro charlas de capacitación en temática	
ambiental	
Cuadro 132: Matriz de normalización del parámetro Charlas de capacitación en ternática ambiente	
Cuadro 133: Índice (IC) y relación de consistencia (RC) obtenido del proceso de análisis jerárquic	
el parámetro charlas de capacitación en temática ambiental	
Cuadro 134: Resumen de Dimensiones, Factores y Parámetros de la Vulnerabilidad	
Cuadro 135: Niveles de vulnerabilidad	
Cuadro 136: Matriz de vulnerabilidad	
Cuadro 137: Niveles de Riesgo	
Cuadro 138: Determinación de Riesgo	
Cuadro 139: Matriz del Riesgo	
Cuadro 140: cálculo de posibles pérdidas	
Cuadro 141: Valoración de ponsecuencias	
Cuadro 142: Niveles de Frecuencia de ocurrencia	
Cuadro 143: Matriz de consecuencias y daños.	139



Cuadro 144: Nivel de aceptabilidad y/o tolerancia	140
Cuadro 145: Matriz de aceptabilidad y/o tolerancia de riesgo	140
Cuadro 146: Prioridad de intervención	
LISTA DE GRAFÍCOS	
Gráfico 1: Total de personas por vivienda	
Gráfico 2: Grupo etario	18
Gráfico 3; Nivel educativo	19
Gráfico 4: Tipo de seguro	20
Gráfico 5: Discapacidad	21
Gráfico 6: Ingreso familiar promedio mensual	
Gráfico 7: Capacitación en temas de riesgo de desastres	23
Gráfico 8: Charlas de capacitación en temática ambiental	24
Gráfico 9: Manejo de desperdicios	25
Gráfico 10: Disposición final de los residuos sólidos	26
Gráfico 11: Acceso a servicios públicos	
Gráfico 12: Régimen de tenencia	28
Gráfico 13: Cimentación	29
Gráfico 14: Material de construcción.	30
Gráfico 15: Número de pisos	
Gráfico 16: Estado de conservación	34
Gráfico 17: Propiedad expuesta	35
Gráfico 18: Metodología para determinar el Nivel de Peligrosidad	56
Gráfico 19: Flujograma general de procesos de análisis de información	57
Gráfico 20: Metodología del Análisis de Vulnerabilidad	
Gráfico 21; Flujograma para estimar los niveles de riesgo	

Arq. Fabiola Himolosa Figueroa EVALUADOR DE RESGO R.J. Nº 068-2020-CENEPRED/J



LISTA DE FIGURAS

Figura 1: Módulo EVO 2 RTK	11
Figura 2: Vista Satelital de la pendiente de la comunidad Astobamba	
Figura 3: Columna estratigráfica generalizada de los cuadrángulos de Chiquián y Yanahuanca,	
modificado de Cobbing et al. (1996)	
Figura 4: Las corrientes de agua subterránea y la infiltración, son parámetros hidrogeológicos muy	
importantes en el proceso de activación de deslizamientos.	
Figura 5: Formación de niveles freáticos colgados relacionados con la infiltración de las lluvias	
Figura 6: Promedio de Precipitación normal en la Quebrada Sigaan	
Figura 7: Anomalias de precipitación (mm) según Fenómeno El Niño	
Figura 8: Acumulados de precipitaciones de febrero, marzo y abril en 1983	
Figura 9: Acumulados de precipitaciones de enero, febrero y marzo en 1998	
Figura 10: Acumulados de precipitaciones de enero, febrero y marzo en 2017	
Figura 11: Acumulados de precipitaciones de enero, febrero y marzo en 2023	
Figura 12: Acumulados de precipitaciones de enero, febrero y marzo en 2024	54
Figura 13: Perfil del centro poblado de Astobamba, en líneas moradas se muestran los sistemas de grietas, en línea roja continua el plano de debilidad activado por la reptación (representada en color verde), en línea roja entrecortada se aprecia un posible plano de debilidad activado por la infiltración o	de .
agua del riego por inundación en los terrenos de cultivo.	
Figura 14: Reptación de suelos evidenciado en los troncos de los arboles	
Figura 15: Reptación de suelos evidenciado en los troncos de los arboles	
Figura 16: Esquema de un proceso de reptación	
Figura 17: Factores que propician los movimientos en masa	
Figura 18: Dimensiones de los movimientos en masa	
Figura 19: Esquema en planta de canales colectores espina de pescado	
Figura 20: Efecto de la vegetación sobre la estabilidad de un talud. Las raíces refuerzan el suelo	
LISTA DE FOTOS	
Foto 1: Reunión llevada a cabo con los pobladores del centro poblado de Astobamba para coordinar	el.
trabajo del llenado de fichas para la Vulnerabilidad	
Foto 2: Equipo Técnico EVAR con los con los pobladores de Astobamba	
Foto 3: Viviendas de adobe, con presencia de fisuras	
Foto 4: Vivienda de adobe en malas condiciones y abandonada.	
Foto 5: Viviendas construidas con adobe, de uno y dos niveles.	
Foto 6: Vista de la zona baja y media del área de estudio	
Foto 7: Vista panorâmica donde se observa las viviendas y los terrenos agricolas del centro poblado	
Astobamba	
Asionarina Foto 8: Identificación del área de estudio, evidenciando el pozo de agua y canales con revestimiento	
revestimiento.	
Foto 9: La laguna Milpoj	
controledo	62

Arq. Fabiola Hinojosa Figueroa EMLUADOR DE RESGO R.J. N° 006/026-CENEPRED'J

INFORME DE EVALUACIÓN DE RIESGO POR MOVIMIENTOS EN MASA DEL TIPO REPTACIÓN DE SUELOS EN EL CENTRO POBLADO ASTOBAMBA, DISTRITO DE CAJATAMBO, PROVINCIA DE CAJATAMBO, DEPARTAMENTO DE LIMA



LISTA DE MAPAS:

Mapa 1: Ubicación del C.P. Astobamba	12
Mapa 2: Modelo Digital de Elevación	13
Mapa 3: Accesibilidad al centro poblado Astobamba	15
Mapa 4: Unidades Geológicas	40
Mapa 5: Unidades Geomorfológicas	43
Mapa 6: Pendiente	45
Mapa 7: Uso actual de suelos	47
Mapa 8: Clasificación climática	49
Mapa 9: Susceptibilidad por movimientos de masas	63
Mapa 9: Precipitaciones	69
Mapa 11: Susceptibilidad	78
Mapa 11: Volumen de desplazamiento	81
Mapa 12: Elementos expuestos	83
Mapa 13: Peligro correspondiente al âmbito de estudio	87
Mapa 15: Vulnerabilidad del ámbito de estudio	127
Mapa 16: Riesgo	133

Arq. Fabiqla Himojosa Figueroa EWLYADOR DE RIESGO R.J. N° 1006-2020-CENEPREDIJ



ANEXOS

Arq. Fabiola Hinojosa Figueroa EVALUADOR DE RIESGO R.J. Nº 088-2020-CENEPRED J



ABREVIATURAS

 ACOTACIÓN DE ABREVIATURAS DE LAS DIMENSIONES SOCIAL, ECONOMICA Y AMBIENTAL EN EL GIS

ABREVIATURA	DESCRIPCIÓN	
DS_FE	dimensión social - Factor exposición.	
DS_FF	dimensión social - Factor fragilidad.	
DS_FR	dimensión social - Factor resiliencia.	
DE_FE	dimensión económica - Factor exposición.	
DE_FF	dimensión económica - Factor fragilidad,	
DE_FR	dimensión económica - Factor resiliencia.	
DA_FE	dimensión ambiental - Factor exposición	
DA_FF	dimensión ambiental - Factor fragilidad	
DA_FR	dimensión ambiental - Factor resillencia	

- II. ACOTACIÓN DE ABREVIATURAS DE LOS DESCRIPTORES PARA EL ANÁLISIS DE LA VULNERABILIDAD EN EL GIS
- 1) DIMENSIÓN SOCIAL
 - a) EXPOSICIÓN

	DESCRIPTOR	DESCRIPCIÓN	N.º DE DESCRIPTORES
TOTAL DE PERSONAS POR VIVIENDA	TPV_1	Mas de 11 personas	
	TPV_2	De 09 a 10 personas	5
	TPV_3	De 07 a 08 personas	
	TPV_4	De 05 a 06 personas	
	TPV_5	Menos a 04 personas	

Arq. Fabiola Hinojosa Figueroa EVALUADOR DE RIESGO R.J. Nº 088-2020-CENEPREDIJ



b) FRAGILIDAD

	DESCRIPTOR	DESCRIPCIÓN	N.º DE DESCRIPTORES
	GET_1	De 0 a 5 años y mayor a 65 años	
GRUPO ETARIO	GET_2	De 6 a 12 años y de 60 a 64 años	5
	GET_3	De 13 a 15 años y de 50 a 59 años	
	GET_4	De 16 a 25 años	
	GET_5	De 26 a 49 años	

ACCESO A LOS SERVICIOS PUBLICOS	DESCRIPTOR	DESCRIPCIÓN	N.º DE DESCRIPTORES	
	ASP_1	Inadecuado (no cuenta con servicios básicos)		
	SERVICIOS	ASP_2	Insuficiente (Cuenta con un solo servicio básico)	5
		ASP_3	Adecuado (Cuenta con dos servicios básicos)	
		ASP_4	Suficiente (Cuenta con 3 servicios básicos)	
	ASP_5	Optimo (Cuenta con más de 3 servicios)		

	DESCRIPTOR	DESCRIPCIÓN	N.º DE DESCRIPTORES
DISCAPACIDAD	DIS_1	Mental	
	DIS_2	Motora	5
	DIS_3	Visual	
	DIS_4	Sordomudo	
	DIS_5	Ninguno	

Arg. Fabiola Hinojosa Figueroa ENALUADOR DE RESGO R.J. Nº 008-2020-CENEPRED.J.



c) RESILIENCIA

	DESCRIPTOR	DESCRIPCIÓN	N.º DE DESCRIPTORES
NED_1 NED_2 EDUCATIVO NED_3 NED_4 NED_5	NED_1	Ningún nivel, inicial	
	NED_2	Primaria	5
	NED_3	Secundaria	
	NED_4	Instituto	
		NED_5	Universidad

TIPO DE SEGURO	DESCRIPTOR	DESCRIPCION	N,* DE DESCRIPTORES
	TDS_1	No tiene	
	TDS_2	Seguro Integral de Salud SIS	5
	TDS_3	Seguro social de Salud ESSALUD	
	TDS_4	FF.AA PNP	
	TDS_5	Seguro privado	

	DESCRIPTOR	DESCRIPCIÓN	N.º DE DESCRIPTORES
	AFR_1	Fatalista	
	AFR_2	Escasamente previsora	
AL RIESGO DE DESASTRES	AFR_3	Parcialmente previsora sin implementación de medidas para prevenir el riesgo	5
	AFR_4	Parcialmente previsora e implementando escasas medidas para prevenir el riesgo	
	AFR_5	Previsora , implementando diversas medidas para prevenir el riesgo	

Arq. Fabiola Hinejosa Figueroa EVALUADOR DE RESGO R.J. Nº 008-2020-CENEPRED.J.



CAPACITACION EN TEMAS DE RIESGO DE DESASTRES	DESCRIPTOR	DESCRIPCIÓN	N.º DE DESCRIPTORES
	CTR_1	No tiene	
	CTR_2	Con algunos conocimientos	
	CTR_3	Auto preparación	5
	CTR_4	1 capacitación al año	
	CTR_5	2 capacitaciones al año	7

2) DIMENSIÓN ECONÓMICA

a) EXPOSICIÓN

	DESCRIPTOR	DESCRIPCIÓN	N.* DE DESCRIPTORES
	PEX_1	En zona de peligro muy alto	
PROPIEDAD EXPUESTA	PEX_2	En zona de peligro alto	5
	PEX_3	En zona de peligro medio	
	PEX_4	En zona de peligro bajo	
	PEX_5	En zona no peligrosa	

b) FRAGILIDAD

	DESCRIPTOR	DESCRIPCION	N.* DE DESCRIPTORES
	MCV_1	Estera u otro material	
MATERIAL DE CONSTRUCCION DE LA VIVIENDA	MCV_2	Madera/triplay	5
	MCV_3	Quincha	
	MCV_4	Adobe/Tapial	
	MCV_5	Ladrillo/concreto	

Arq. Fabidia Hinojosa Figueroa EVALUADOR DE RESGO R.J. Nº 108-2020-CENEPREDU J



	DESCRIPTOR	DESCRIPCIÓN	N.º DE DESCRIPTORES
CIMIENTOS DE LA EDIFICACION	CDE_1	Sin cimientos	
	CDE_2	Losa superficial	5
	CDE_3	Cimientos y columnas	
	CDE_4	Placas y columnas	
	CDE_5	Losa de cimentación	

	DESCRIPTOR	DESCRIPCIÓN	N." DE DESCRIPTORES
NUMERO DE PISOS DE LA VIVIENDA	NPV_1	Mayor a 5 pisos	
	NPV_2	4 pisos	5
	NPV_3	3 pisos	
	NPV_4	2 pisos	
	NPV_5	1 piso	

	DESCRIPTOR	DESCRIPCIÓN	N.º DE DESCRIPTORES
ESTADO DE CONSERVACION	EDC_1	Muy mala	
	EDC_2	Mala	5
	EDC_3	Regular	
	EDC_4	Buena	
	EDC_5	Muy buena	

Arq. Fabiola Hinejosa Figueroa ENALUADOR DE RESGO R.J. Nº 088-2020-CENEPREDU |



c) RESILIENCIA

	DESCRIPTOR	DESCRIPCIÓN	N.º DE DESCRIPTORES
	NAT_1	Autoconstrucción	
NIVEL DE ASISTENCIA TECNICA EN EL PROCESO CONSTRUCTIVO	NAT_2	Mediana orientación técnica (maestro de obra)	5
	NAT_3	Con orientación técnica (SENCICO)	
	NAT_4	Con orientación profesional	
	NAT_5	Sin construir	

	DESCRIPTOR	DESCRIPCIÓN	N.º DE DESCRIPTORES
	IFP_1	Menor a 500 soles	
INGRESO FAMILIAR PROMEDIO MENSUAL	IFP_2	De 500 a 930 soles	
	IFP_3	De 930 a 1200 soles	5
	IFP_4	De 1200 a 1500 soles	
	IFP_5	Mas de 1500 soles	

3) DIMENSIÓN AMBIENTAL

a) EXPOSICIÓN

	DESCRIPTOR	DESCRIPCIÓN	N.º DE DESCRIPTORES
DISTANCIA DE LA MANZANA AL PUNTO DE ACOPIO DE RR.SS.	DMA_1	A mas de 300 metros	
	DMA_2	De 250 a 300 metros	.5
	DMA_3	De 200 a 250 metros	
	DMA_4	De 150 a 200 metros	
	DMA_5	Menor a 150 metros	

Arq. Fabible Hinojose Figueroa EVALUADOR DE RESGO R.J. Nº 1001-2020-CENEPRED.J.



b) FRAGILIDAD

MANEJO DE LOS DESPERDICIOS	DESCRIPTOR	DESCRIPCIÓN	N.* DE DESCRIPTORES
	MDD_1	Sin manejo	
	MDD_2	Deposita en un solo tacho	5
	MDD_3	Selecciona orgánico e inorgánico	
	MDD_4	Reusó y/o hacer abono	
	MDD_5	Clasificación por material	

DISPOSICION FINAL DE LOS RESIDUOS SOLIDOS	DESCRIPTOR	DESCRIPCIÓN	N.º DE DESCRIPTORES
	DFR_1	Desechan en quebrada y cauces	5
	DFR_2	Quema de residuos solidos	
	DFR_3	Desechan en vías o calles	
	DFR_4	Desechan en botaderos	
	DFR_5	Camión recolector	

c) RESILIENCIA

CHARLAS DE CAPACITACION EN TEMATICA AMBIENTAL	DESCRIPTOR	DESCRIPCIÓN	N.º DE DESCRIPTORES
	CTA_1	No tiene	5
	CTA_2	Auto preparación	
	CTA_3	1 capacitación al año	
	CTA_4	2 capacitaciones al año	
	CTA_5	Mas de 2 capacitaciones al año	

Arg. Fabigla Hinojosa Figueroa EWALDADOR DE RESGO R.J. Nº 1008-2020-CENEPRED J. J.



MAPAS

Arq. Fabiola Hinojosa Figueroa EVALUADOR DE RESGO R.J. N° 008-2020-CENEPRED.J. ;

